

Computational Fluid Dynamics

Računska dinamika fluida

Dr. Nenad Filipović, vanr. prof.



*Mašinski fakultet
Univerzitet u Kragujevcu*



*Research associate
Harvard University, USA*

Januar 2008

**NUMERIČKE METODE
REŠAVANJA STRUJANJA
VIZKOZNOG NESTIŠLJIVOG
FLUIDA
SA PRENOSOM TOPLOTE**

2.1 OSNOVNE JEDNAČINE U MEHANICI FLUIDA

Navije-Stoksova jednačina

$$\rho \left(\frac{\partial v_i}{\partial t} + v_j v_{i,j} \right) = \sigma_{ij,j} + f_i^B$$

**Konstitutivna
relacija za napon**

$$\sigma_{ij} = -p \delta_{ij} + 2\mu e_{ij}$$

**Tenzor brzine
deformacije**

$$e_{ij} = \frac{1}{2} (v_{i,j} + v_{j,i})$$

Za nestišljivi fluid

$$\rho \left(\frac{\partial v_i}{\partial t} + v_j v_{i,j} \right) = -p_{,i} + \mu v_{i,jj} + f_i^B$$

Jednačina kontinuiteta

$$\frac{D\rho}{Dt} + \rho \frac{\partial v_i}{\partial x_i} = 0$$

Za nestišljivi fluid

$$v_{i,i} = 0$$

Jednačina provođenja toplote

$$\rho c_p \left(\frac{\partial \theta}{\partial t} + v_i \theta_{,i} \right) = (k \theta_{,i})_{,i} + q^B$$

2.2 IMPLICITNE METODE REŠAVANJA STRUJANJA LAMINARNOG VISKOZNOG NESTIŠLJIVOG FLUIDA SA PRENOSOM TOPLOTE

2.2.1 Mešovita (brzine-pritisci) v-p formulacija

$$\rho \left(\frac{\partial v_i}{\partial t} + v_j y_{i,j} \right) = -p_{,i} + \mu v_{i,jj} + f_i^B \quad (2.2.8) \quad v_{i,i} = 0 \quad (2.2.2)$$

Primena Galerkinovog postupka

$$\rho \int_V H_\alpha \frac{\partial v_i}{\partial t} dV + \rho \int_V H_\alpha v_j y_{i,j} dV = - \int_V H_\alpha p_{,i} dV + \int_V \mu H_\alpha v_{i,jj} dV + \int_V H_\alpha f_i^B dV \quad (2.2.9)$$

$$\int_V G_\delta v_{i,i} dV = 0 \quad (2.2.10)$$

Parcijalna integracija i prevođenje zapreminskog u površinski integral

$$\rho \int_V H_\alpha \frac{\partial v_i}{\partial t} dV + \rho \int_V H_\alpha v_j y_{i,j} dV - \int_V H_{\alpha,i} p dV + \int_V \mu H_{\alpha,j} y_{i,j} dV = \int_V H_\alpha f_i^B dV + \int_S H_\alpha (-pn_i + \mu v_{i,j} n_j) dS \quad (2.2.11)$$

Korišćenjem interpolacijskih funkcija za brzinu i pritisak fluida

$$v_i = H_\alpha v_{i\alpha} \quad p = G_\delta p_\delta$$

(2.2.11)

Prikaz tipa elementa i broja nepoznatih veličina po elementu

Tip elementa	Broj ~vorova po elementu	Broj nepoznatih veličina po elementu	
		Brzina	Pritisaka
2-D	4	4	1
	9	9	4
3-D	8	8	1
	21	21	8
	27	27	8

Matrični oblik jednačina

$$\begin{bmatrix} \mathbf{M}_v & \mathbf{0} \\ \mathbf{0} & \mathbf{0} \end{bmatrix} \begin{Bmatrix} \dot{\mathbf{v}} \\ \dot{\mathbf{p}} \end{Bmatrix} + \begin{bmatrix} \mathbf{K}_{vv} + \mathbf{K}_{\mu v} & \mathbf{K}_{vp} \\ \mathbf{K}_{vp}^T & \mathbf{0} \end{bmatrix} \begin{Bmatrix} \mathbf{v} \\ \mathbf{p} \end{Bmatrix} = \begin{Bmatrix} \mathbf{R}_B + \mathbf{R}_S \\ \mathbf{0} \end{Bmatrix} \quad (2.2.15)$$

Brzina i pritisak na kraju koraka

$${}^{t+\Delta t}v_{i\alpha} = {}^{t+\Delta t}v_{i\alpha}^{(m-1)} + \Delta v_{i\alpha}^{(m)} \quad {}^{t+\Delta t}p_\delta = {}^{t+\Delta t}p_\delta^{(m-1)} + \Delta p_\delta^{(m)}$$

Inkrementalno-iterativne jednačine

$$\begin{aligned}
 & \left[\rho \frac{1}{\Delta t} \int_V H_\alpha H_\beta dV \right] \left(\Delta v_{\beta i}^{(m)} \right) + \left[\rho \int_V H_\alpha H_\gamma \overset{t+\Delta t}{v}_{\gamma j}^{(m-1)} H_{\beta j} dV \right] \left(\Delta v_{\beta i}^{(m)} \right) + \left[\rho \int_V H_\alpha H_{\gamma j} \overset{t+\Delta t}{v}_{\gamma i}^{(m-1)} H_{\beta j} dV \right] \left(\Delta v_{\beta i}^{(m)} \right) \\
 & \left[\int_V \mu H_{\alpha j} H_{\beta j} dV \right] \left(\Delta v_{\beta i}^{(m)} \right) - \left[\int_V H_{\alpha i} G_\delta dV \right] \left(\Delta p_\delta^{(m)} \right) = \int_V H_\alpha f_i^B dV + \int_S H_\alpha (-pn_i + v_{ij} n_j) dS - \\
 & \left[\rho \frac{1}{\Delta t} \int_V H_\alpha H_\beta dV \right] \left(\overset{t+\Delta t}{v}_{\beta i}^{(m-1)} - \overset{t}{v}_{\beta i} \right) - \left[\rho \int_V H_\alpha H_\gamma \overset{t+\Delta t}{v}_{\gamma j}^{(m-1)} H_{\beta j} dV \right] \left(\overset{t+\Delta t}{v}_{\beta i}^{(m-1)} \right) - \left[\int_V \mu H_{\alpha j} H_{\beta j} dV \right] \left(\overset{t+\Delta t}{v}_{\beta i}^{(m-1)} \right) - \\
 & \left[\int_V H_{\alpha i} G_\delta dV \right] \left(\overset{t+\Delta t}{p}_\delta^{(m-1)} \right) \quad \mathbf{(2.2.26)}
 \end{aligned}$$

$$\left[\int_V G_\delta H_{\alpha i} dV \right] \left(\Delta v_{\alpha i}^{(m)} \right) = - \left[\int_V G_\delta H_{\alpha i} dV \right] \left(\overset{t+\Delta t}{v}_{\alpha i}^{(m-1)} \right) \quad \mathbf{(2.2.27)}$$

Matrični oblik jednačina

$$\begin{bmatrix} \frac{1}{\Delta t} \mathbf{M}_v + \overset{t+\Delta t}{\mathbf{K}}_{vv}^{(m-1)} + \overset{t+\Delta t}{\mathbf{K}}_{\mu v}^{(m-1)} + \overset{t+\Delta t}{\mathbf{J}}_{vv}^{(m-1)} & \mathbf{K}_{vp} \\ \mathbf{K}_{vp}^T & \mathbf{0} \end{bmatrix} \begin{Bmatrix} \Delta \mathbf{v}^{(m)} \\ \Delta \mathbf{p}^{(m)} \end{Bmatrix} = \begin{Bmatrix} \overset{t+\Delta t}{\mathbf{F}}_v^{(m-1)} \\ \overset{t+\Delta t}{\mathbf{F}}_p^{(m-1)} \end{Bmatrix} \quad \mathbf{(2.2.28)}$$

2.2.2 PENALTI formulacija za strujanje fluida

Uslov nestišljivosti $v_{i,i} + \frac{p}{\lambda} = 0$ (2.2.38)

Navije-Stoksova jednačina $\rho \left(\frac{\partial v_i}{\partial t} + v_j v_{i,j} \right) = \lambda v_{jij} + \mu (v_{i,j} + v_{ji})_{,j} + f_i^B$ (2.2.40)

Matrični oblik jednačine

$$\left(\frac{1}{\Delta t} \mathbf{M}_v + {}^{t+\Delta t} \mathbf{K}_{vv}^{(m-1)} + {}^{t+\Delta t} \mathbf{K}_{\mu v}^{(m-1)} + {}^{t+\Delta t} \hat{\mathbf{K}}_{\mu v}^{(m-1)} + {}^{t+\Delta t} \mathbf{J}_{vv}^{(m-1)} + \mathbf{K}_{\lambda v} \right) \Delta \mathbf{v}^{(m)} = {}^{t+\Delta t} \hat{\mathbf{F}}_v^{(m-1)} \quad (2.2.41)$$

2.2.3 Mešovita (brzine-pritis-ci-temperature, v-p- θ) formulacija

$$\begin{bmatrix} \frac{1}{\Delta t} \mathbf{M}_v + {}^{t+\Delta t} \mathbf{K}_{vv}^{(m-1)} + {}^{t+\Delta t} \mathbf{K}_{\mu v}^{(m-1)} + {}^{t+\Delta t} \mathbf{J}_{vv}^{(m-1)} & \mathbf{K}_{vp} & \mathbf{0} \\ \mathbf{K}_{vp}^T & \mathbf{0} & \mathbf{0} \\ {}^{t+\Delta t} \mathbf{K}_{\theta v}^{(m-1)} & \mathbf{0} & \frac{1}{\Delta t} \mathbf{M}_\theta + {}^{t+\Delta t} \mathbf{K}_{\theta\theta}^{(m-1)} + {}^{t+\Delta t} \mathbf{J}_{\theta\theta}^{(m-1)} \end{bmatrix} \begin{Bmatrix} \Delta \mathbf{v}^{(m)} \\ \Delta \mathbf{p}^{(m)} \\ \Delta \theta^{(m)} \end{Bmatrix} = \begin{Bmatrix} {}^{t+\Delta t} \mathbf{F}_v^{(m-1)} \\ {}^{t+\Delta t} \mathbf{F}_p^{(m-1)} \\ {}^{t+\Delta t} \mathbf{F}_\theta^{(m-1)} \end{Bmatrix} \quad (2.2.64)$$

2.2.4 PENALTI formulacija za strujanje fluida sa prenosom toplote

$$\left[\begin{array}{ccc}
 \frac{1}{\Delta t} \mathbf{M}_v + {}^{t+\Delta t} \mathbf{K}_{vv}^{(m-1)} + {}^{t+\Delta t} \mathbf{K}_{\mu v}^{(m-1)} + & & \\
 {}^{t+\Delta t} \hat{\mathbf{K}}_{\mu v}^{(m-1)} + {}^{t+\Delta t} \mathbf{J}_{vv}^{(m-1)} + \mathbf{K}_{\lambda v} & \mathbf{0} & \\
 & & \frac{1}{\Delta t} \mathbf{M}_\theta + {}^{t+\Delta t} \mathbf{K}_{\theta\theta}^{(m-1)} + {}^{t+\Delta t} \mathbf{J}_{\theta\theta}^{(m-1)}
 \end{array} \right] \left\{ \begin{array}{l} \Delta \mathbf{v}^{(m)} \\ \Delta \theta^{(m)} \end{array} \right\} = \left\{ \begin{array}{l} {}^{t+\Delta t} \hat{\mathbf{F}}_v^{(m-1)} \\ {}^{t+\Delta t} \mathbf{F}_\theta^{(m-1)} \end{array} \right\}$$

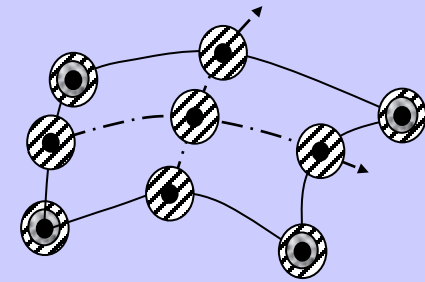
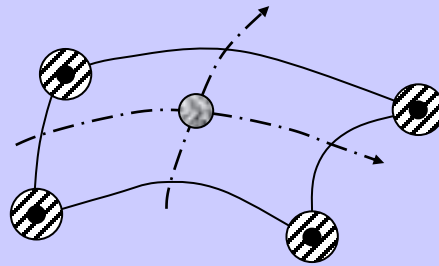
(2.2.65)

Tipovi elemenata za 2D i 3D analizu

2D/4, v-4, p-1, θ -4

2D/9, v-9, p-4, θ -9

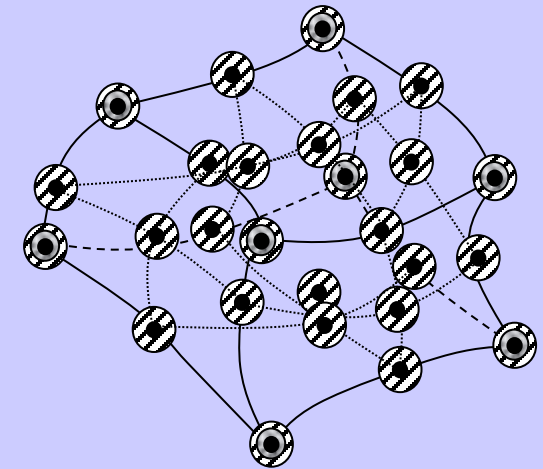
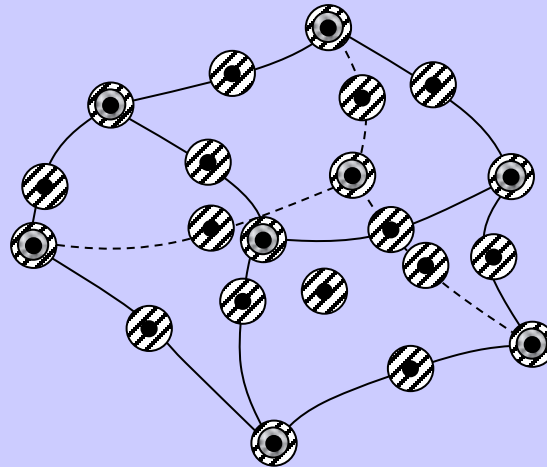
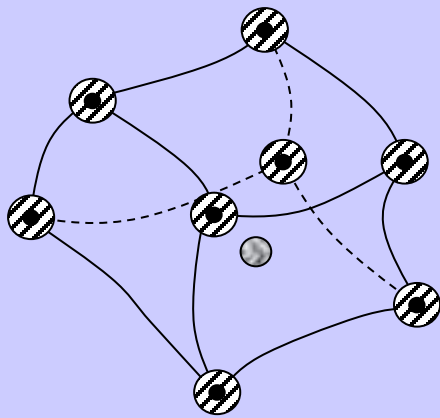
Brzina fluida
Pritiak fluida
Temper. fluida



3D/8, v-8, p-1, θ -8

3D/21, v-21, p-8, θ -21

3D/27, v-27, p-8, θ -27



2.3 EKSPLICITNA METODA IZ DVA KORAKA

Jednačina kontinuiteta $\frac{\partial \rho}{\partial t} + (\rho v_i)_{,i} = 0$ (2.3.1)

Navije-Stoksova jednačina $\rho \left(\frac{\partial v_i}{\partial t} + v_j v_{i,j} \right) + p_{,i} - \mu (v_{i,j} + v_{j,i})_{,j} - \rho f_i^B = 0$ (2.3.2)

Jednačina stanja $p = p(\rho)$ (2.3.3)

Brzina zvuka $c^2 = \frac{\partial p}{\partial \rho}$ (2.3.4)

Jednačina kontinuiteta $\frac{\partial p}{\partial t} + v_i p_{,i} + \rho c^2 v_{i,i} = 0$ (2.3.6)

Navije-Stoksova jednačina u matičnom obliku

$$\mathbf{M}_v \dot{\mathbf{v}} + \mathbf{K}_{vv} \mathbf{v} + \mathbf{K}_{vp} \mathbf{p} - \mathbf{F}_B - \mathbf{F}_S = \mathbf{0} \quad (2.3.8)$$

Jednačina kontinuiteta u matičnom obliku

$$\mathbf{M}_p \dot{\mathbf{p}} + \mathbf{K}_{pv} \mathbf{v} + \mathbf{K}_{pp} \mathbf{p} = \mathbf{0} \quad (2.3.9)$$

Selektivna 'lumping' dvo-kora~na eksplicitna šema

$$\bar{\mathbf{M}}_v \mathbf{v}^{n+1/2} = \bar{\mathbf{M}}_v \mathbf{v}^n - \frac{\Delta t}{2} (\mathbf{K}_{vv}^n \mathbf{v}^n + \mathbf{K}_{vp} \mathbf{p}^n - \mathbf{F}_B^n - \mathbf{F}_S^n) \quad (2.3.11)$$

Prvi korak

$$\bar{\mathbf{M}}_p \mathbf{p}^{n+1/2} = \tilde{\mathbf{M}}_p \mathbf{p}^n - \frac{\Delta t}{2} (\mathbf{K}_{pv} \mathbf{v}^n + \mathbf{K}_{pp} \mathbf{p}^n) = \mathbf{0} \quad (2.3.12)$$

Drugi korak

$$\bar{\mathbf{M}}_v \mathbf{v}^{n+1} = \bar{\mathbf{M}}_v \mathbf{v}^n - \Delta t (\mathbf{K}_{vv}^{n+1/2} \mathbf{v}^{n+1/2} + \mathbf{K}_{vp} \mathbf{p}^{n+1/2} - \mathbf{F}_B^n - \mathbf{F}_S^{n+1/2}) \quad (2.3.13)$$

$$\bar{\mathbf{M}}_p \mathbf{p}^{n+1} = \tilde{\mathbf{M}}_p \mathbf{p}^n - \Delta t (\mathbf{K}_{pv} \mathbf{v}^{n+1/2} + \mathbf{K}_{pp}^{n+1/2} \mathbf{p}^{n+1/2}) = \mathbf{0} \quad (2.3.14)$$

Selektivni 'lumping' parametar e

$$\tilde{\mathbf{M}}_p = e \bar{\mathbf{M}}_p + (1 - e) \mathbf{M}_p \quad (2.3.15)$$

2.4 EKSPPLICITNO-IMPLICITNA TRO-STEPENA METODA ZA REŠAVANJE STRUJANJA FLUIDA

Trostepena šema

$$\frac{v_i^{n+1/3} - v_i^n}{\Delta t / 3} = -v_j^n v_{i,j}^n - \frac{P_{,i}^n}{\rho} + \nu (v_{i,j}^n + v_{j,i}^n)_{,j} + f_i^n \quad (2.4.3)$$

$$\frac{v_i^{n+1/2} - v_i^n}{\Delta t / 2} = -v_j^{n+1/3} v_{i,j}^{n+1/3} - \frac{P_{,i}^n}{\rho} + \nu (v_{i,j}^{n+1/3} + v_{j,i}^{n+1/3})_{,j} + f_i^{n+1/3} \quad (2.4.4)$$

$$\frac{v_i^{n+1} - v_i^n}{\Delta t} = -v_j^{n+1/2} v_{i,j}^{n+1/2} - \frac{P_{,i}^{n+1}}{\rho} + \nu (v_{i,j}^{n+1/2} + v_{j,i}^{n+1/2})_{,j} + f_i^{n+1/2} \quad (2.4.5)$$

Primena Galerkina

$$\frac{1}{\rho} \int_V H_{\alpha,i} p_{,i}^{n+1} dV = -\frac{1}{\Delta t} \int_V H_{\alpha} v_{i,i}^n dV - \int_V H_{\alpha,i} v_j^{n+1/2} v_{i,j}^{n+1/2} dV + \int_V H_{\alpha,i} f_i^{n+1/2} dV - \int_S H_{\alpha} \left(\frac{v_i^{n+1} - v_i^n}{\Delta t} \right) n_i dS \quad (2.4.10)$$

Algoritam rešavanja

$$\{\overline{\mathbf{M}}\}\{\mathbf{v}^{n+1/3}\} = \left\{ \{\overline{\mathbf{M}}\}\{\mathbf{v}^n\} + \frac{\Delta t}{3} (\mathbf{F}_p^n + \mathbf{F}_v^n + \mathbf{F}_B^n + \mathbf{F}_S^n) \right\} \quad (2.4.13)$$

$$\{\overline{\mathbf{M}}\}\{\mathbf{v}^{n+1/2}\} = \left\{ \{\overline{\mathbf{M}}\}\{\mathbf{v}^n\} + \frac{\Delta t}{2} (\mathbf{F}_p^n + \mathbf{F}_v^{n+1/3} + \mathbf{F}_B^{n+1/3} + \mathbf{F}_S^{n+1/3}) \right\} \quad (2.4.13)$$

$$[\mathbf{K}_{pp}]\{\mathbf{p}^{n+1}\} = \{\mathbf{F}_p^n + \mathbf{F}_p^{n+1/2}\} \quad (2.4.11)$$

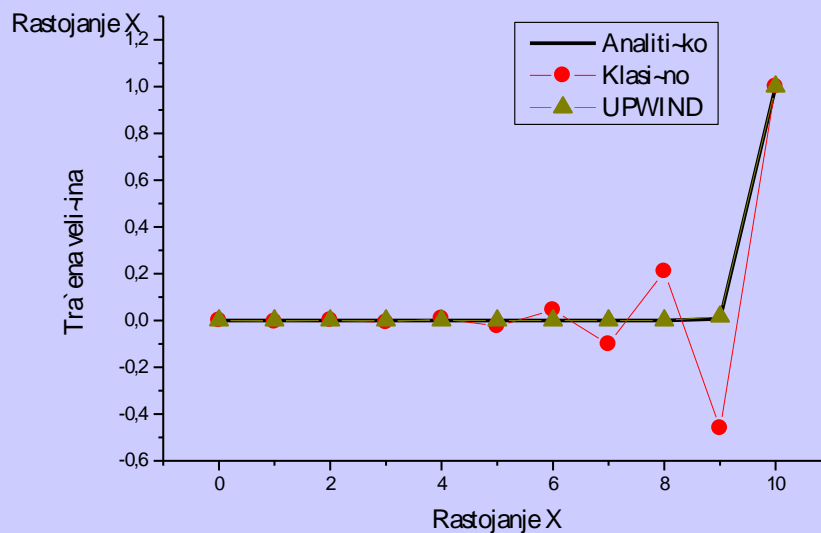
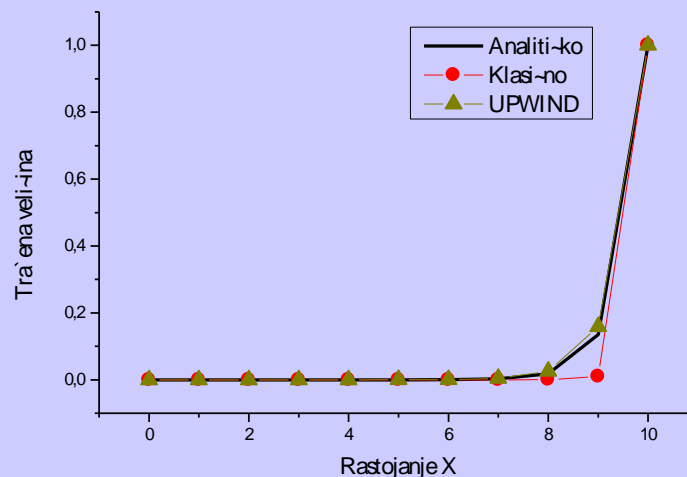
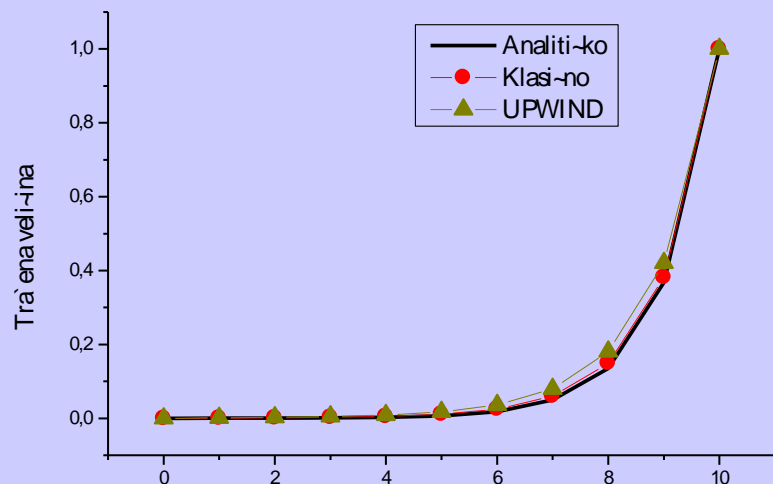
$$\{\overline{\mathbf{M}}\}\{\mathbf{v}^{n+1}\} = \left\{ \{\overline{\mathbf{M}}\}\{\mathbf{v}^n\} + \frac{\Delta t}{3} (\mathbf{F}_p^{n+1} + \mathbf{F}_v^{n+1/2} + \mathbf{F}_B^{n+1/2} + \mathbf{F}_S^{n+1/2}) \right\} \quad (2.4.16)$$

2.5 PRIMENA "UPWIND" TEHNIKE NA KONVEKTIVNO DOMINANTNA STRUJANJA FLUIDA

Jednodimenziona advektivno-difuzna jednačina

$$u \frac{\partial \varphi}{\partial x} = k \frac{\partial^2 \varphi}{\partial x^2} \quad (2.5.1)$$

Pekleov broj mreže $\alpha = uh/(2k)$

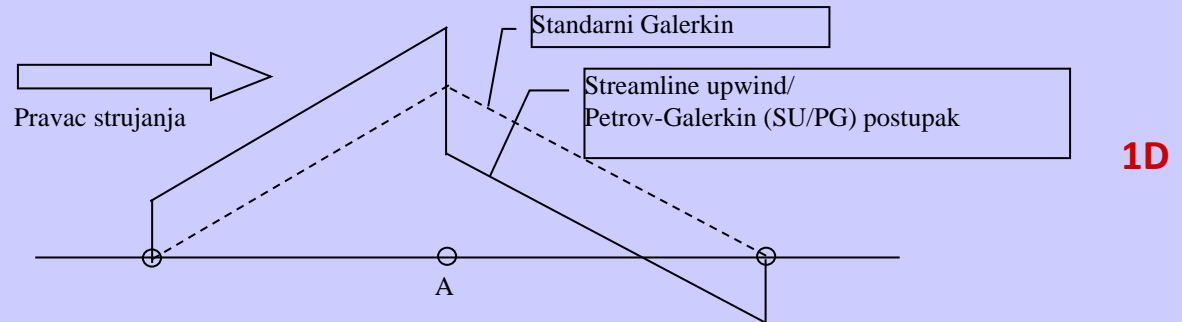


2.5.3 Streamline UPWIND Petrov-Galerkin metoda

Tenzor veštačke diuzivnosti $\bar{k}_{ij} = \bar{k} \hat{u}_i \hat{u}_j$ (2.5.12) gde je $\hat{u}_i = \frac{u_i}{\|\mathbf{u}\|}$

Korigovane interpolacijske funkcije $\bar{h} = h + \bar{k} \hat{u}_j \frac{1}{\|\mathbf{u}\|}$ (2.5.18)

Grafička interpretacija

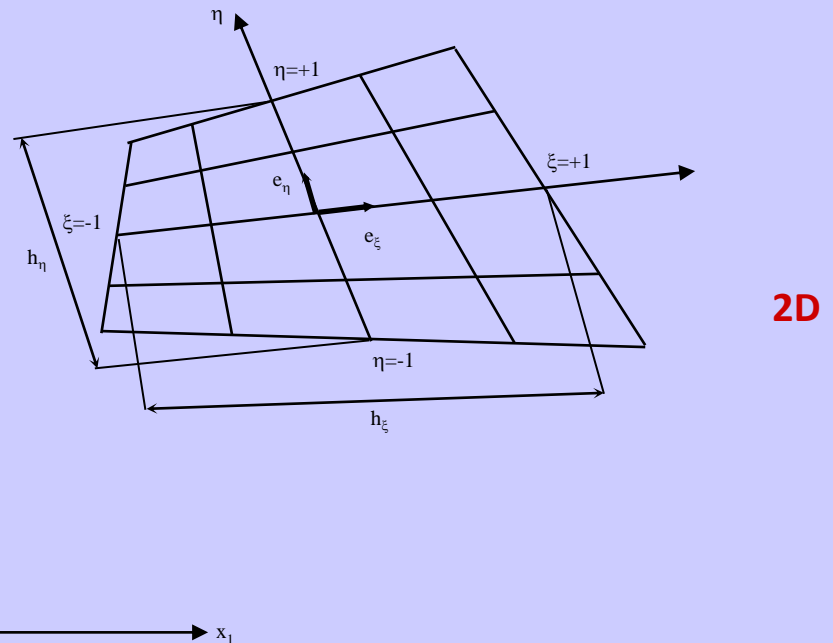


$$\bar{k} = (\xi u_\xi h_\xi + \eta u_\eta h_\eta) / 2 \quad (2.5.19)$$

$$\xi = (\coth \alpha_\xi) - 1 / \alpha_\xi \quad \eta = (\coth \alpha_\eta) - 1 / \alpha_\eta$$

$$\alpha_\xi = u_\xi h_\xi / (2k) \quad \alpha_\eta = u_\eta h_\eta / (2k) \quad (2.5.20)$$

$$u_\xi = \mathbf{e}_\xi \cdot \mathbf{u} \quad u_\eta = \mathbf{e}_\eta \cdot \mathbf{u}$$



2.6 TEJLOR-GALERKINOVA METODA

ZA NESTACIONARNE KONVEKTIVNO-DIFUZNE PROBLEME

Burgerova viskozna 1D jednačina

$$\rho \left(\frac{\partial u}{\partial t} + u \frac{\partial u}{\partial x} \right) = \mu \frac{\partial^2 u}{\partial x^2} \quad (2.6.1)$$

Tejlorov red

$$u^{n+1} = u^n + \frac{\partial u^n}{\partial t} \Delta t + \frac{1}{2!} \frac{\partial^2 u^n}{\partial t^2} (\Delta t)^2 + O(\Delta t)^3 \quad (2.6.2)$$

Inkrementalna jednačina sa stabilizacionim delom

$$\frac{u^{n+1} - u^n}{\Delta t} = \left(-u^n \frac{\partial u^n}{\partial x} + \frac{\mu}{\rho} \frac{\partial^2 u^n}{\partial x^2} \right) + \frac{\Delta t}{2} \left[-u^n \frac{\partial}{\partial x} \left(-u^n \frac{\partial u^n}{\partial x} + \frac{\mu}{\rho} \frac{\partial^2 u^n}{\partial x^2} \right) + \frac{\mu}{\rho} \frac{\partial^2}{\partial x^2} \left(\frac{u^{n+1} - u^n}{\Delta t} \right) \right] \quad (2.6.7)$$

2.7 STABILNOST DVOSTEPENE LAX-WENDROFF I TROSTEPENE METODE

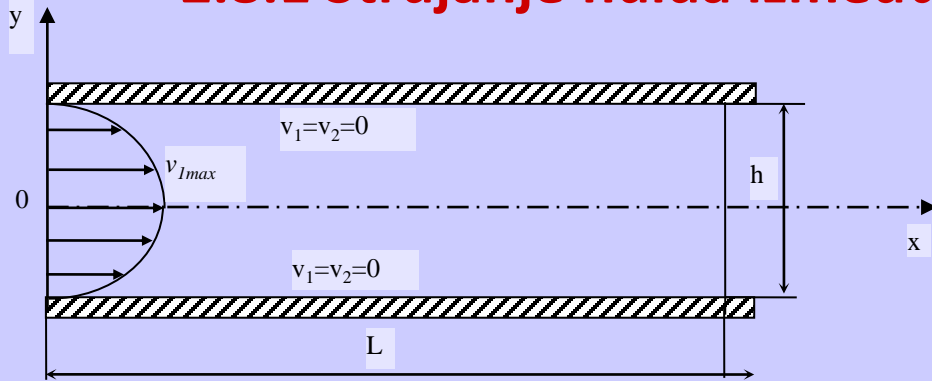
Dvostepena Lax-Wendrof-ova metoda

$$f(t + \Delta t / 2) = f(t) + \frac{\Delta t}{2} \frac{\partial f(t)}{\partial t} \quad (2.7.4)$$
$$f(t + \Delta t) = f(t) + \Delta t \frac{\partial f(t + \Delta t / 2)}{\partial t}$$

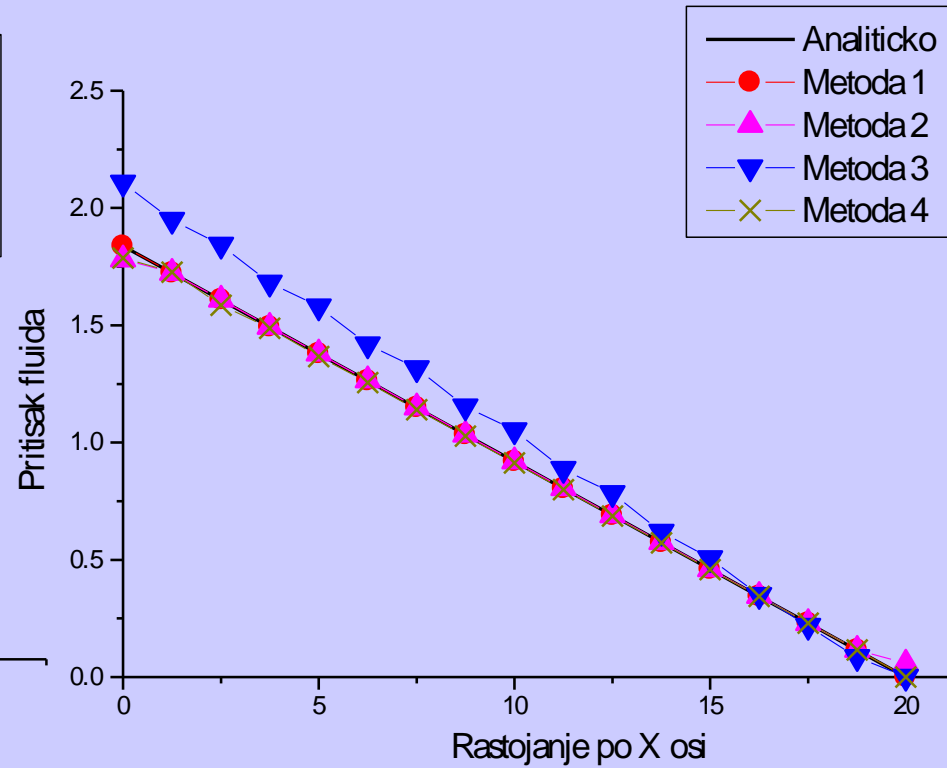
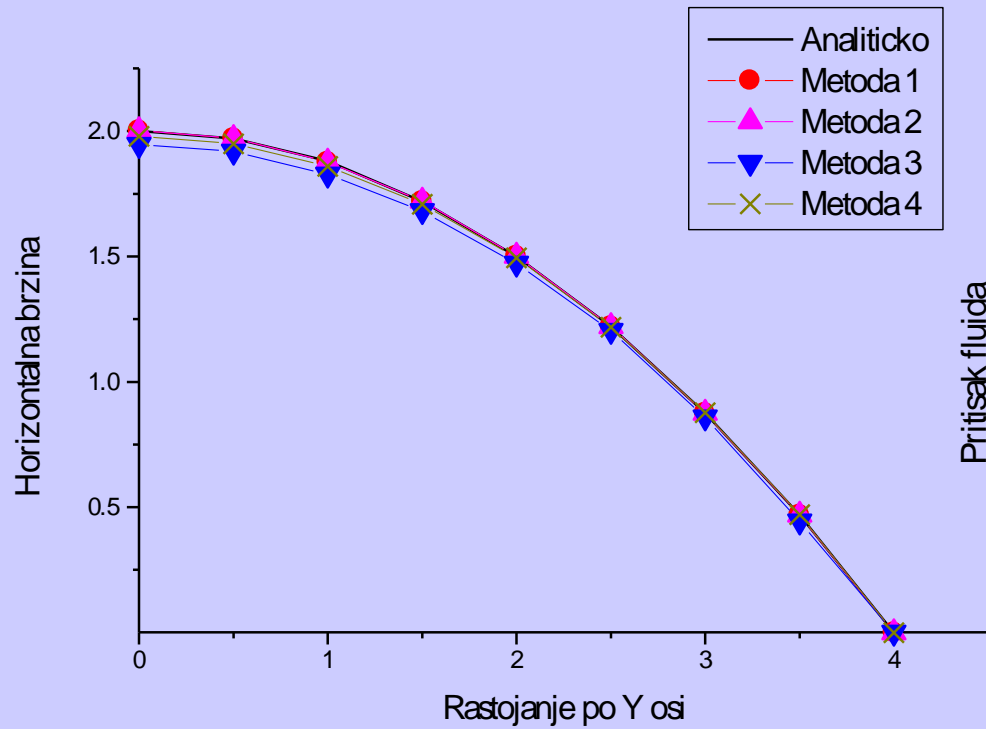
Trostepena stabilizaciona metoda

$$f(t + \Delta t / 3) = f(t) + \frac{\Delta t}{3} \frac{\partial f(t)}{\partial t}$$
$$f(t + \Delta t / 2) = f(t) + \frac{\Delta t}{2} \frac{\partial f(t + \Delta t / 3)}{\partial t} \quad (2.7.5)$$
$$f(t + \Delta t) = f(t) + \Delta t \frac{\partial f(t + \Delta t / 2)}{\partial t}$$

2.8.1 Strujanje fluida između dve nepokretne ploče



$L=20$ m
 $h=8$ m
 $\mu=0.3675$ kg/m/s
 $v_{1max}=2.0$ m/s



Uporedni prikaz zauzetosti memorije i trajanja proračuna

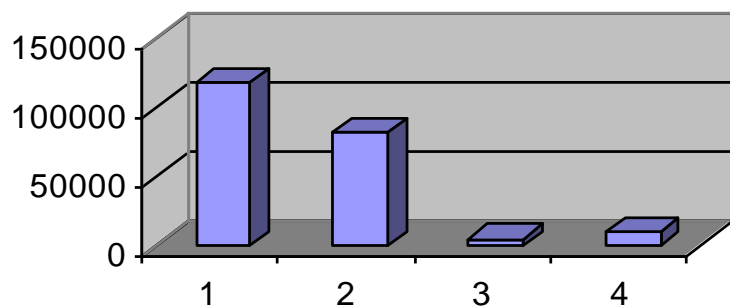
Metoda 1 : Mešovita formulacija (9/4 element), implicitna metoda

Metoda 2 : Penalti formulacija (4/1 element), implicitna metoda

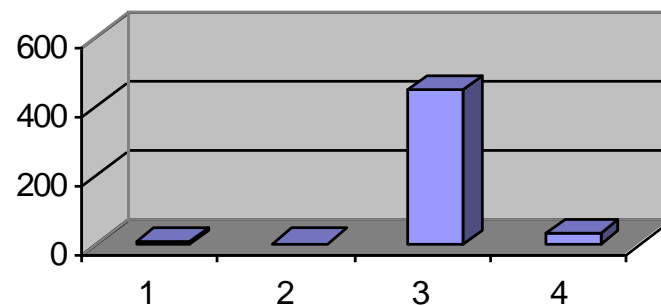
Metoda 3 : Čisto eksplicitna metoda (4/4 element)

Metoda 4 : Eksplicitno-implicitna metoda (4/4 element)

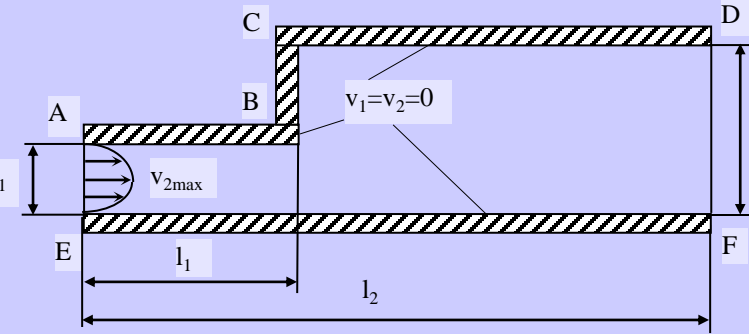
Zauzetost memorije



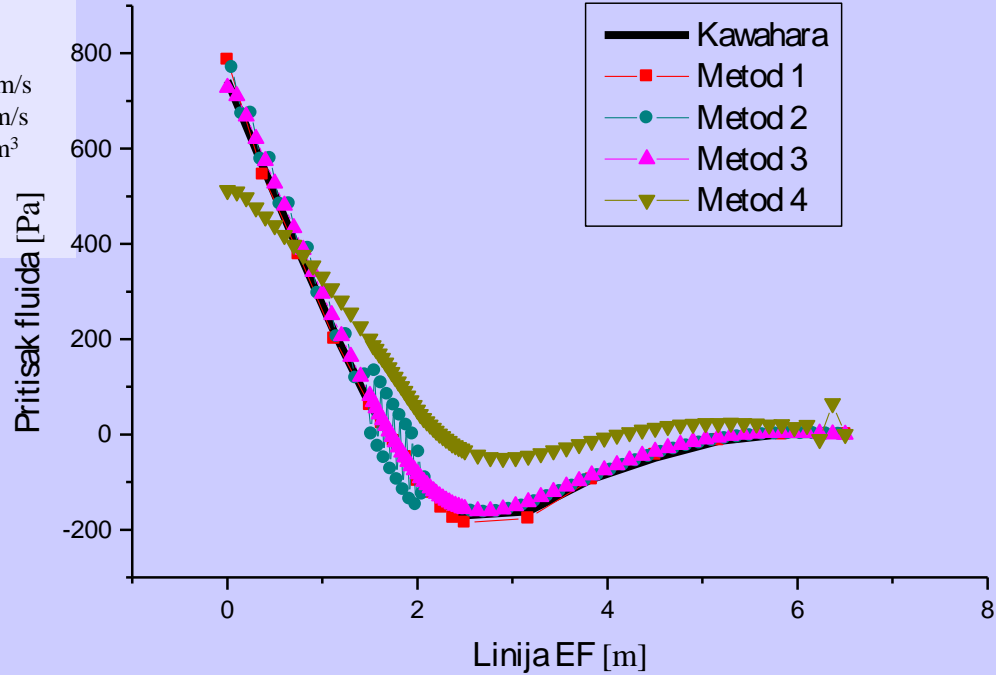
Trajanje proračuna



2.8.2 Stacionarno ravansko strujanje fluida kroz kanal sa proširenjem



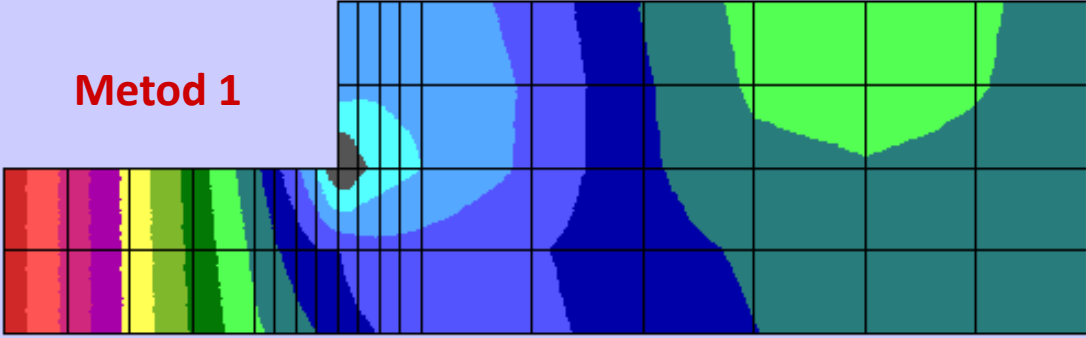
$d_1 = 1 \text{ m}$
 $d_2 = 2 \text{ m}$
 $l_1 = 2 \text{ m}$
 $l_2 = 6.5 \text{ m}$
 $v_{2\max} = 2 \text{ m/s}$
 $\mu = 1 \text{ kg/m}\cdot\text{s}$
 $\rho = 1 \text{ kg/m}^3$
 $Re_c = 60$



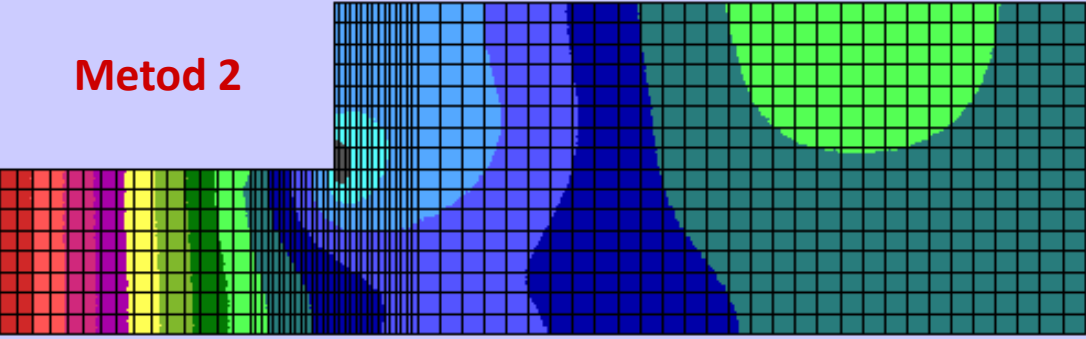
Legenda	Broj koraka	Zauzetost memorije	Trajanje prora~una
Metoda1	1	2.4M ba	40 sekundi
Metoda2	1	1.05M ba	5 sekundi
Metoda3	7000, $\Delta t = 4 \times 10^{-5}$	0.04M ba	7654 sekundi
Metoda4	500, $\Delta t = 6 \times 10^{-4}$	0.5M ba	1000 sekudni

Polja pritiska fluida

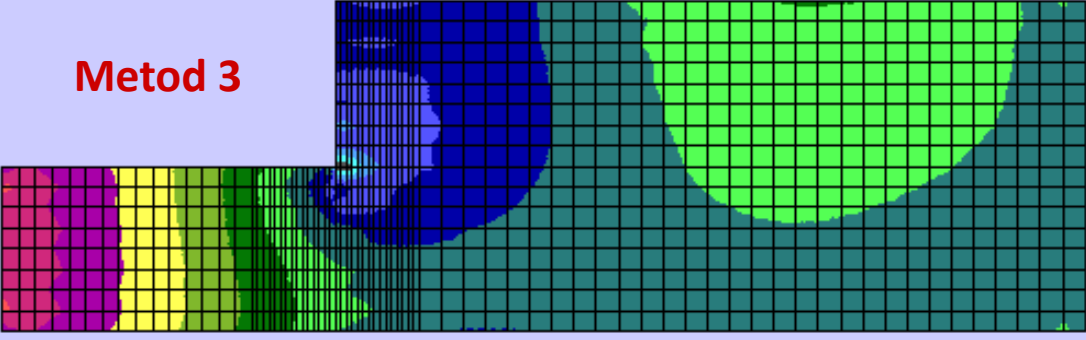
Metod 1



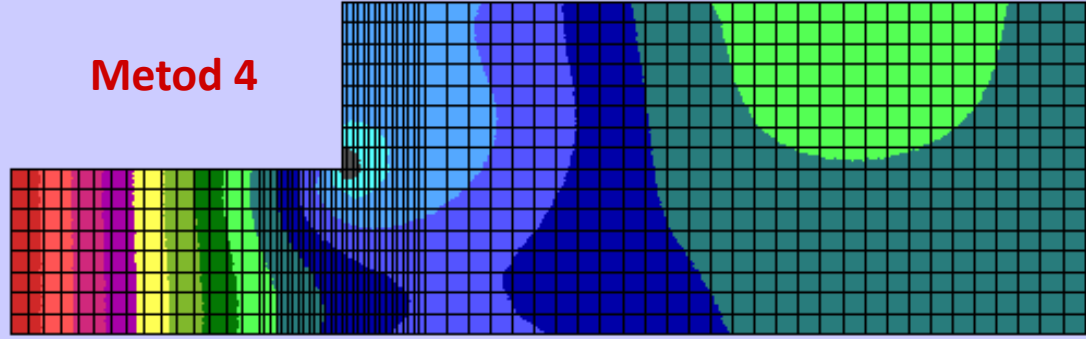
Metod 2



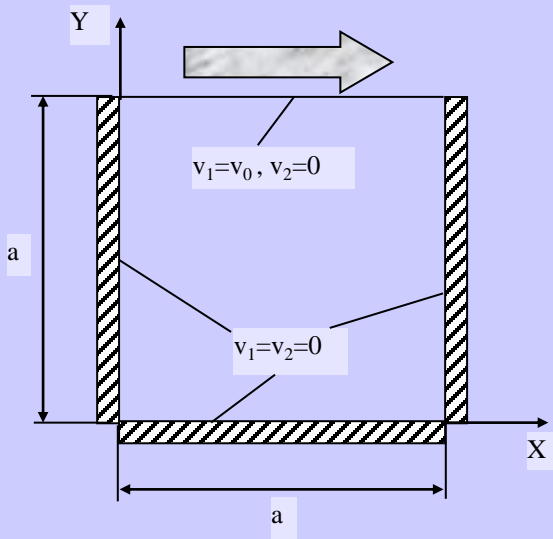
Metod 3



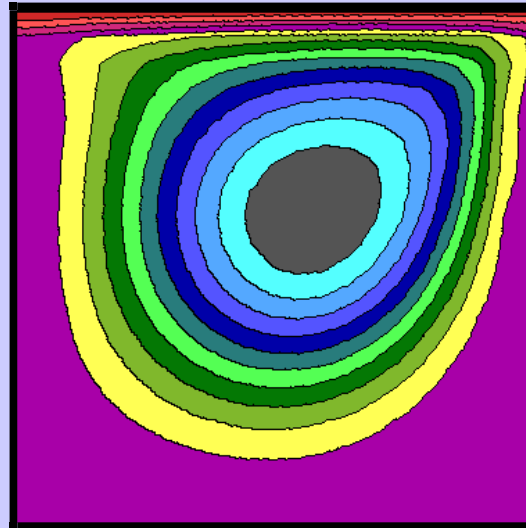
Metod 4



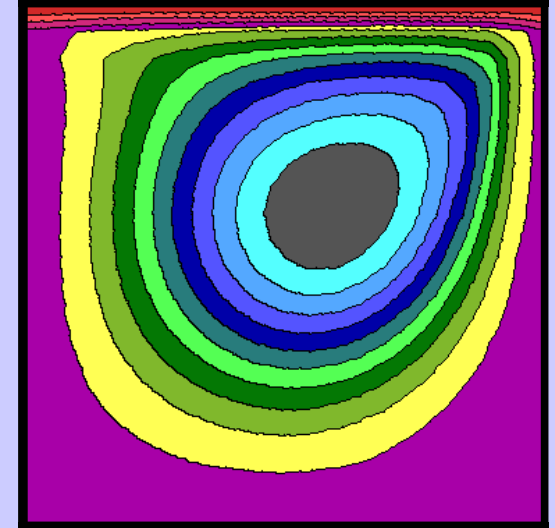
2.8.3 Strujanje fluida u šupljini pri zadatoj brzini na jednoj stranici



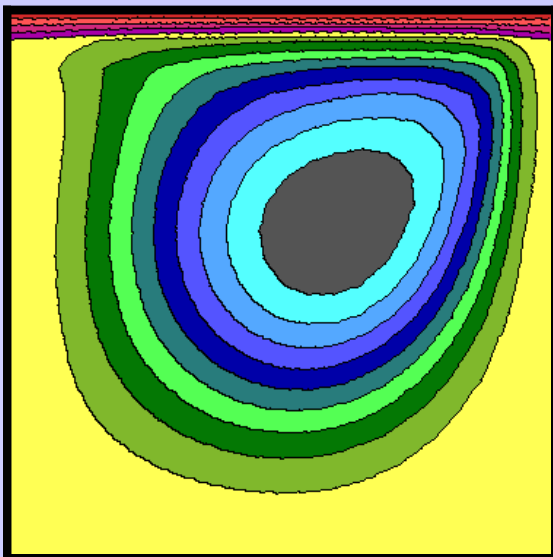
Metoda 1



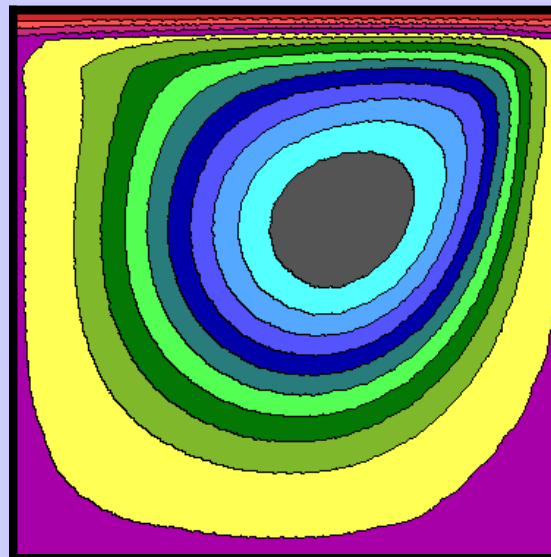
Metoda 2



Metoda 3

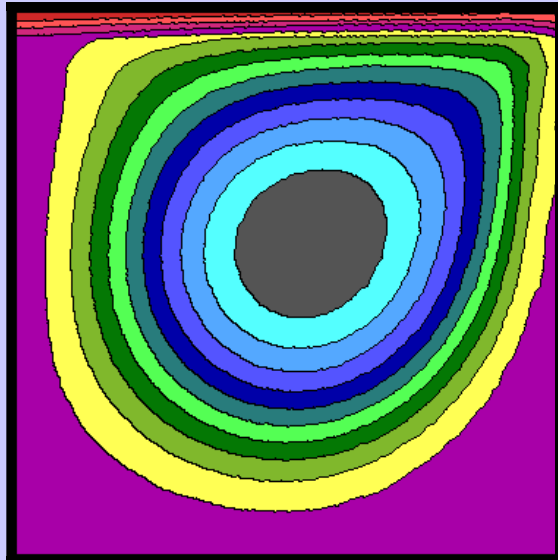


Metoda 4

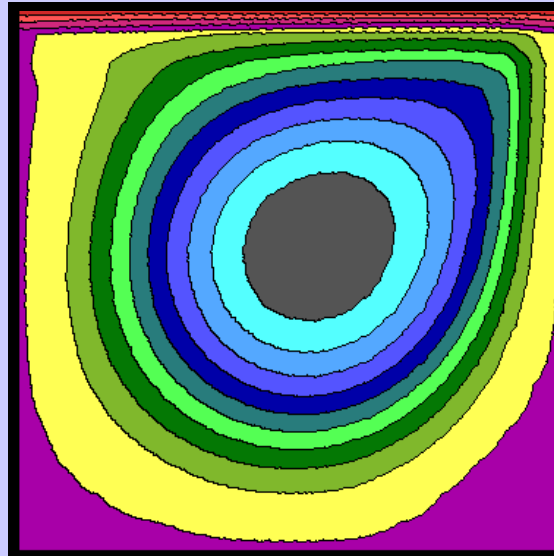


Strujnice u
pokretnoj šupljini
pri $R_e = 400$

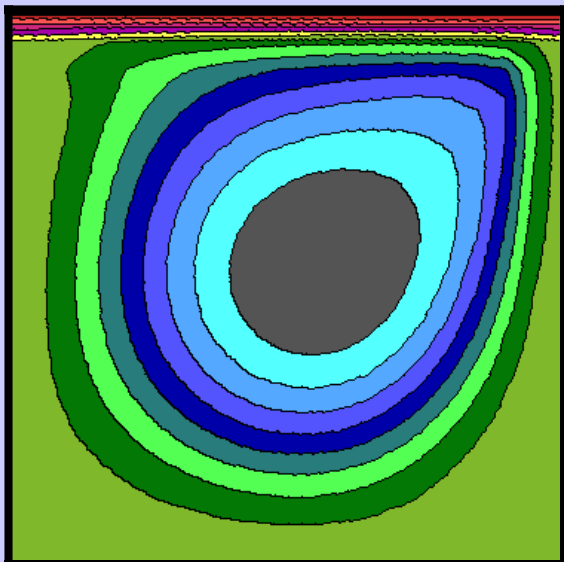
Metoda 1



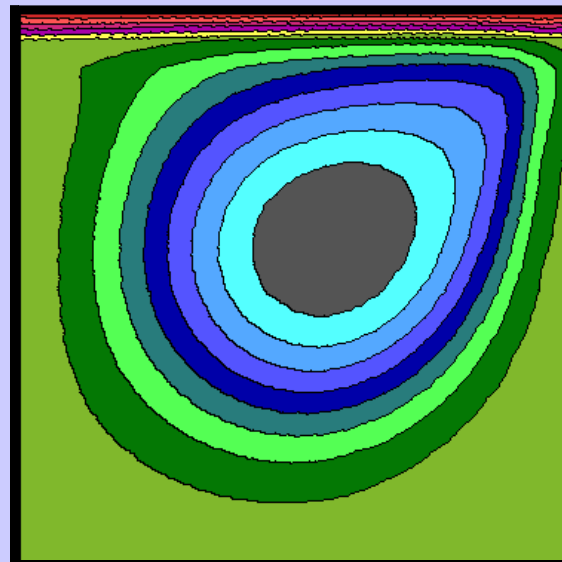
Metoda 2



Metoda 3

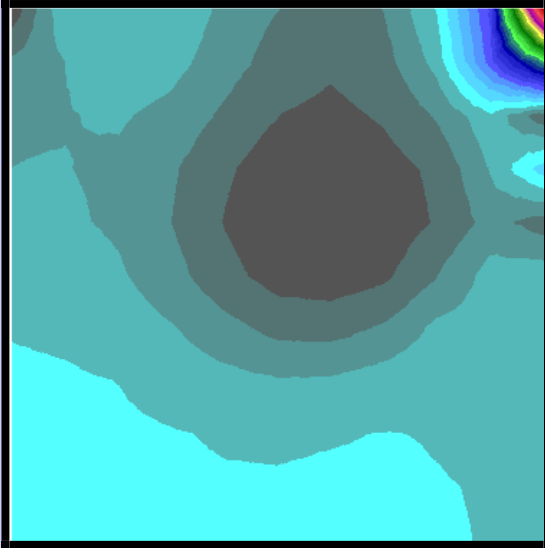


Metoda 4

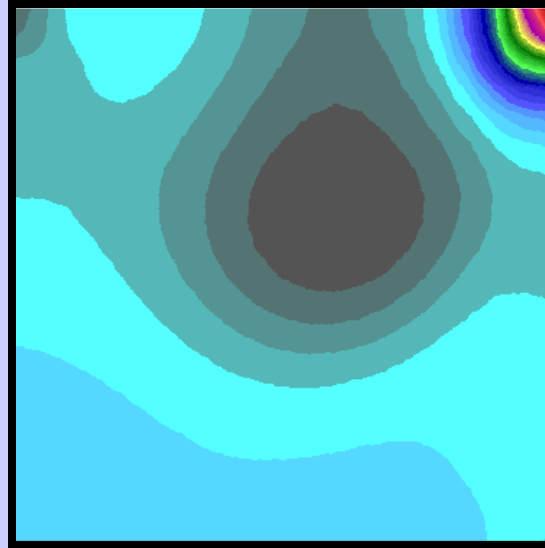


**Strujnice u
pokretnoj šupljini
pri $R_e=1000$**

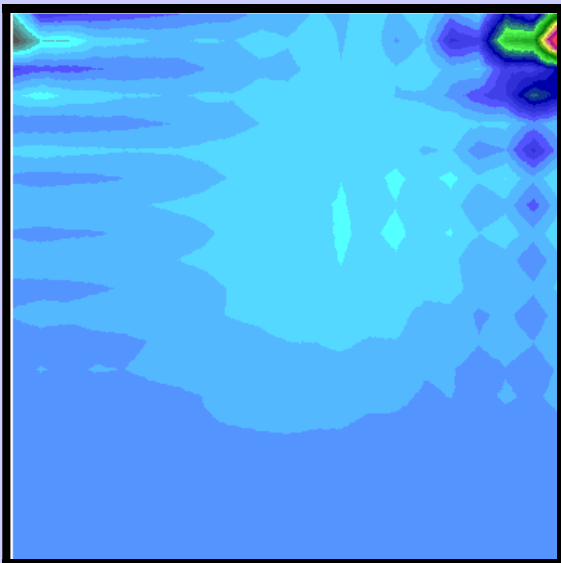
Metoda 1



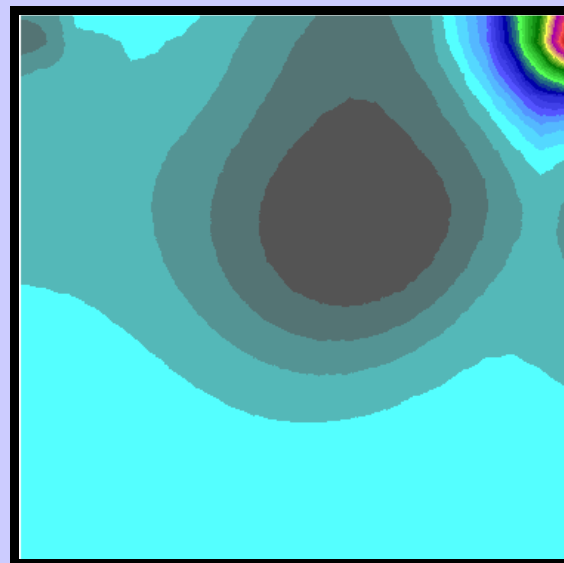
Metoda 2



Metoda 3

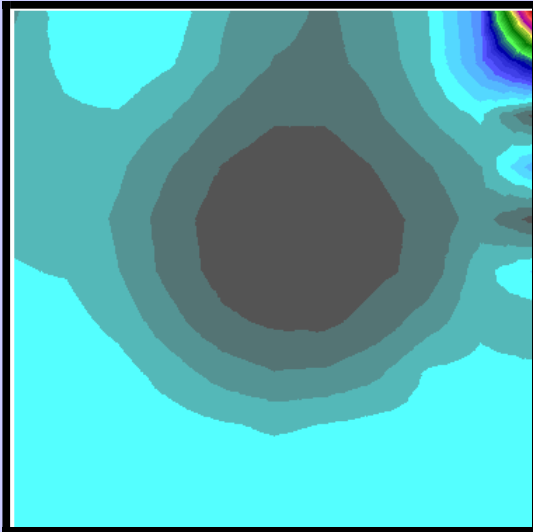


Metoda 4

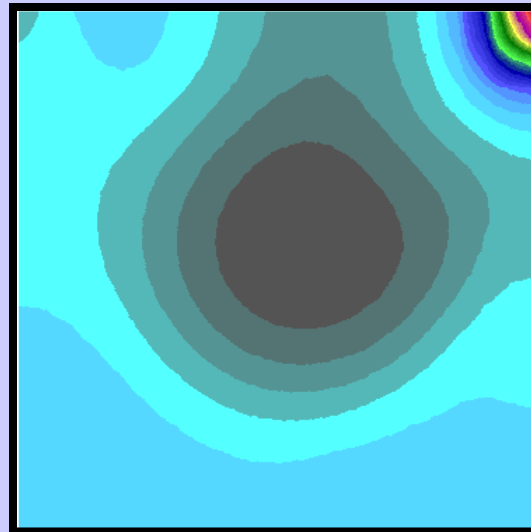


**Raspored pritiska u
pokretnoj šupljini
pri $R_e=400$**

Metoda 1



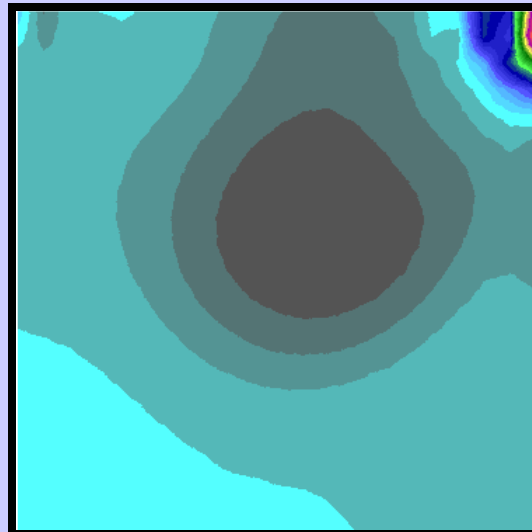
Metoda 2



Metoda 3

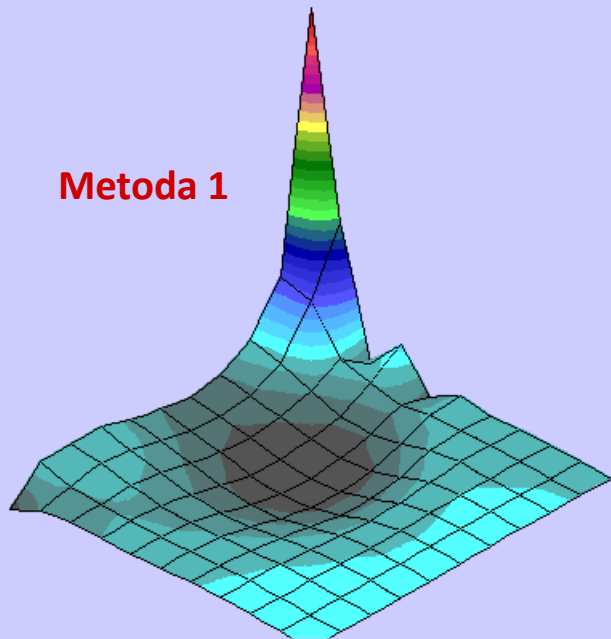


Metoda 4

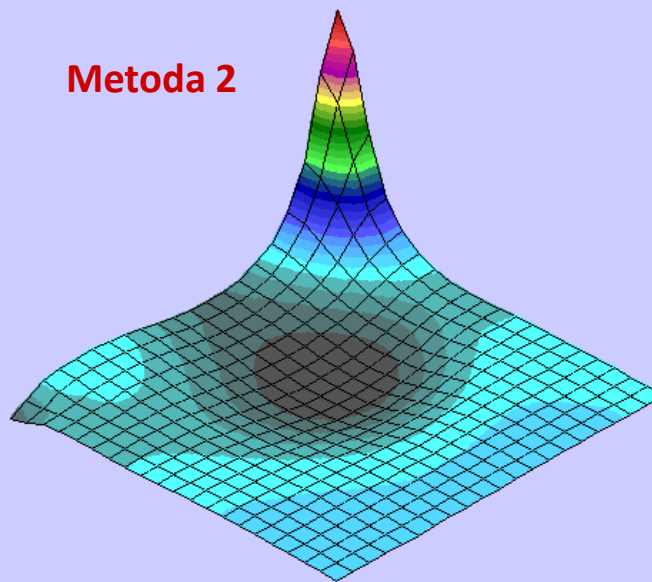


**Rapored pritiska u
pokretnoj šupljini
pri $R_e=1000$**

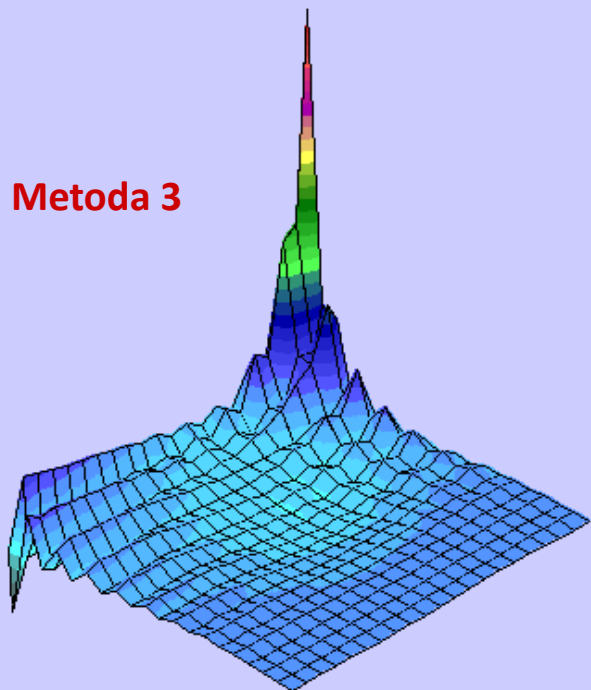
Metoda 1



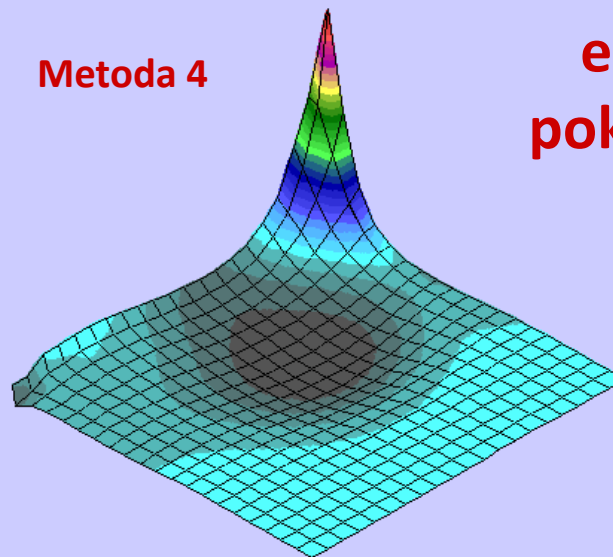
Metoda 2



Metoda 3



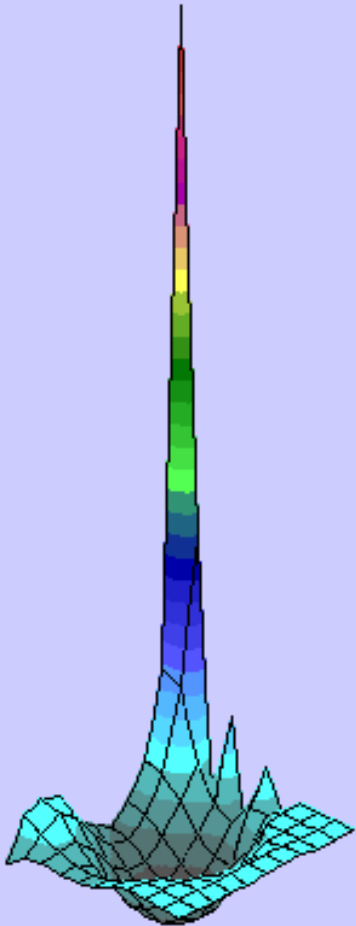
Metoda 4



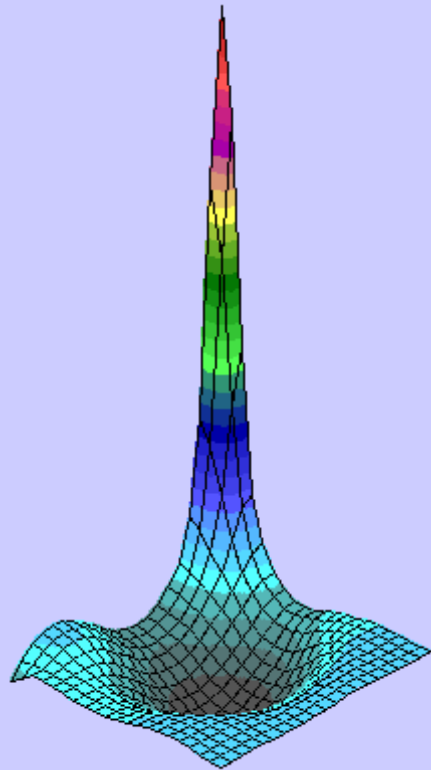
**Polja pritiska sa
elevacijama u
pokretnoj šupljini
pri $R_e=400$**

Polja pritiska sa elevacijama u pokretnoj šupljini pri $R_e=1000$

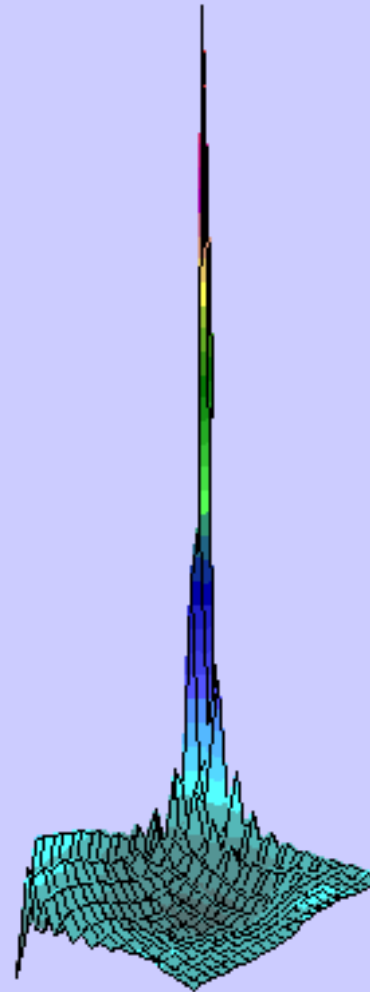
Metoda 1



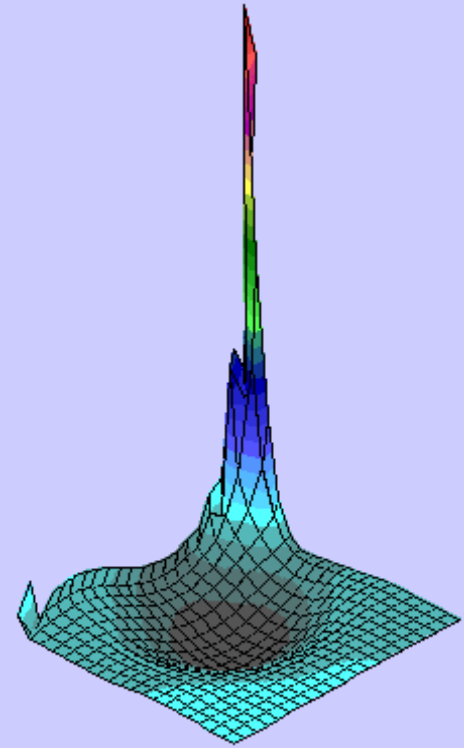
Metoda 2



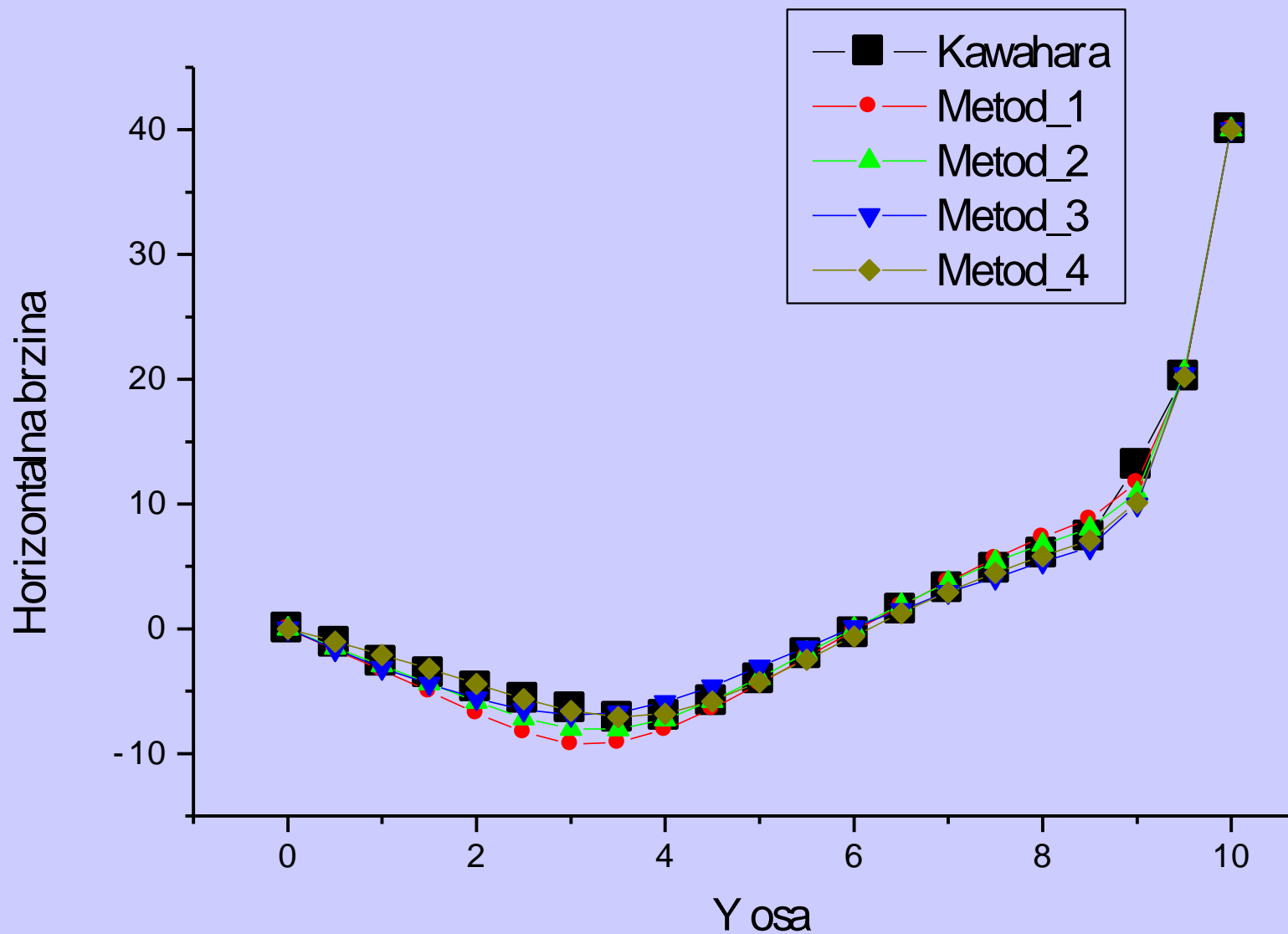
Metoda 3



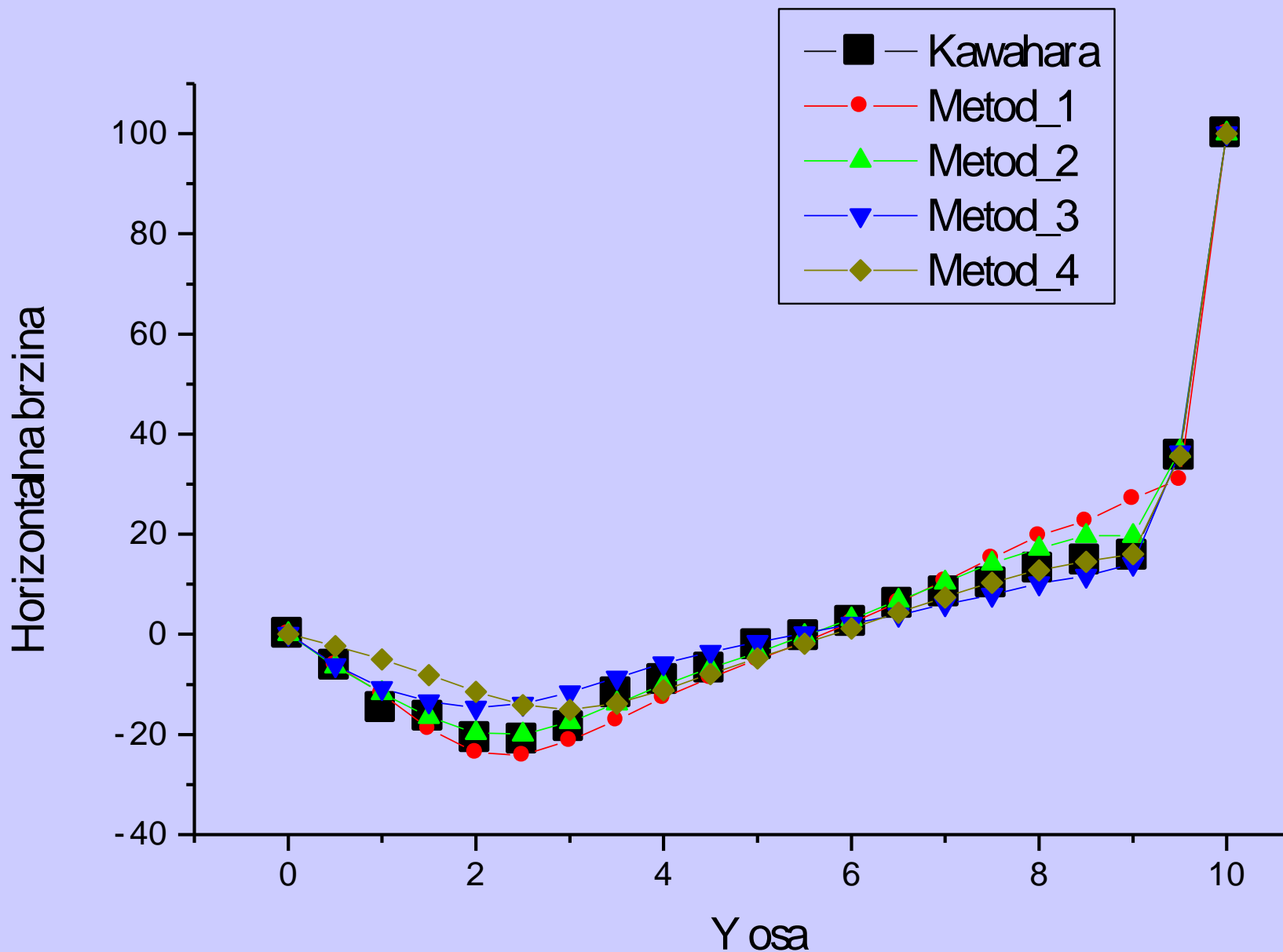
Metoda 4



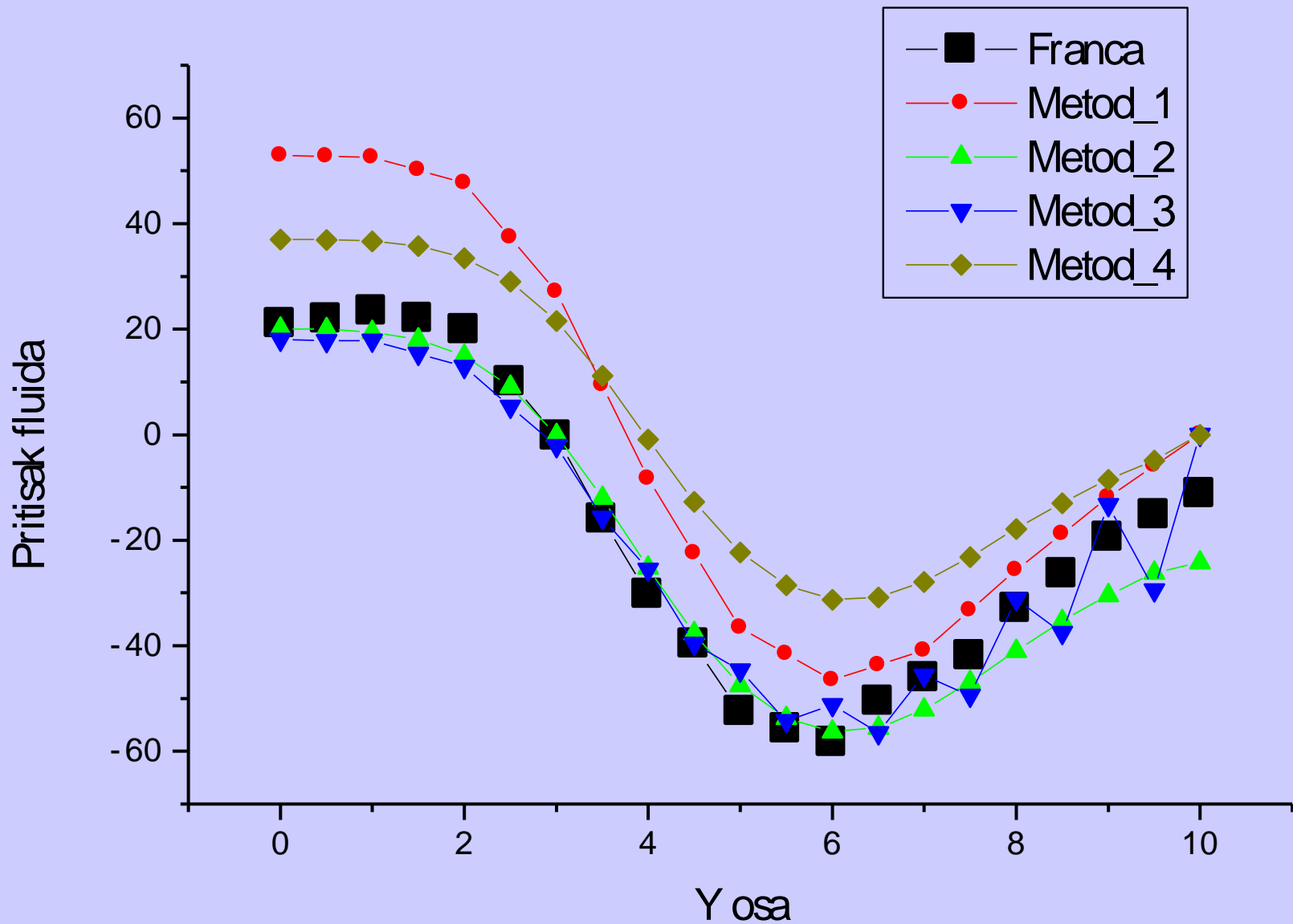
Dijagrami raspodele horizontalne brzine za $x=a/2$ pri $R_e=400$



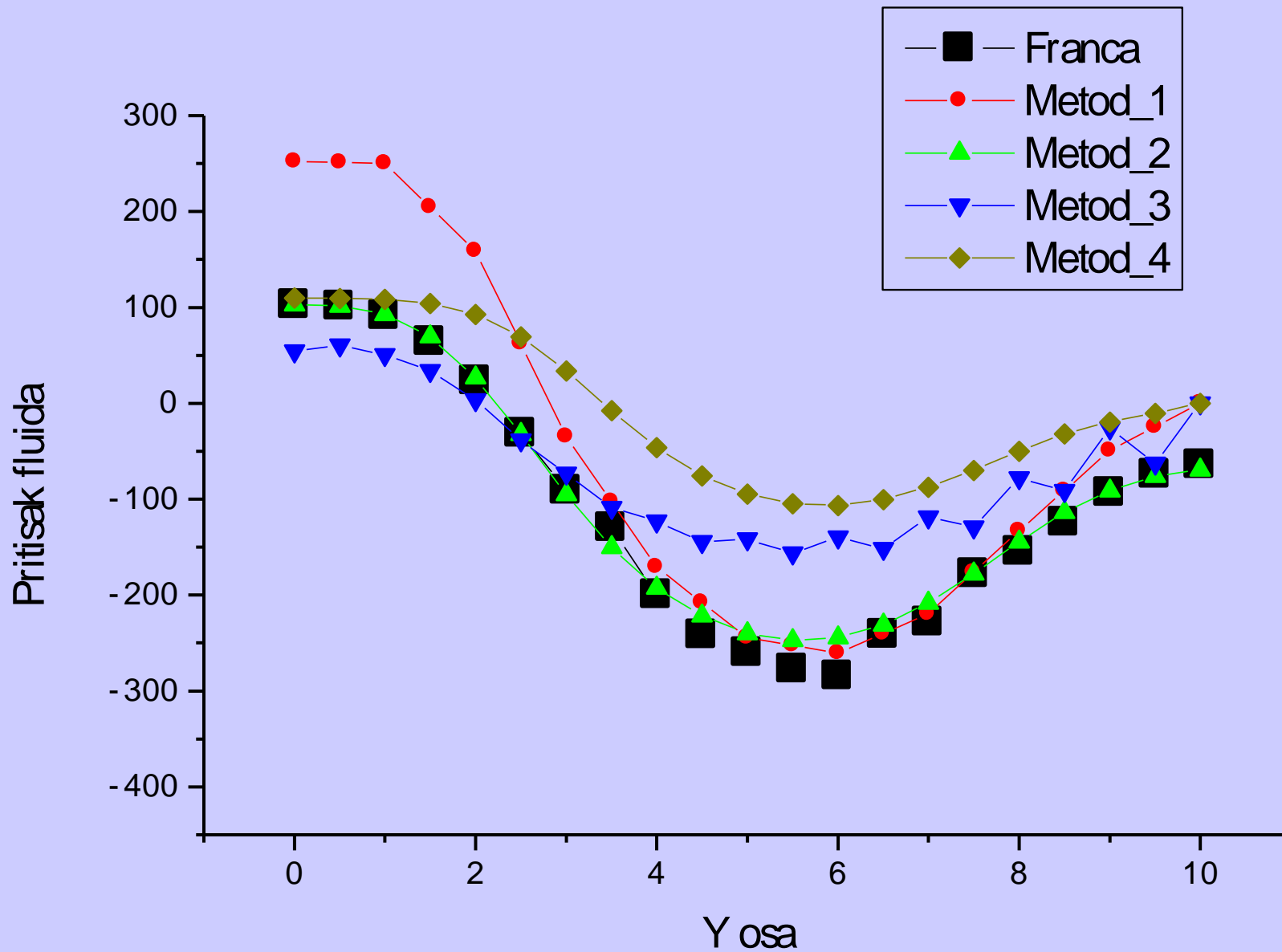
Dijagrami raspodele horizontalne brzine za $x=a/2$ pri $R_e=1000$



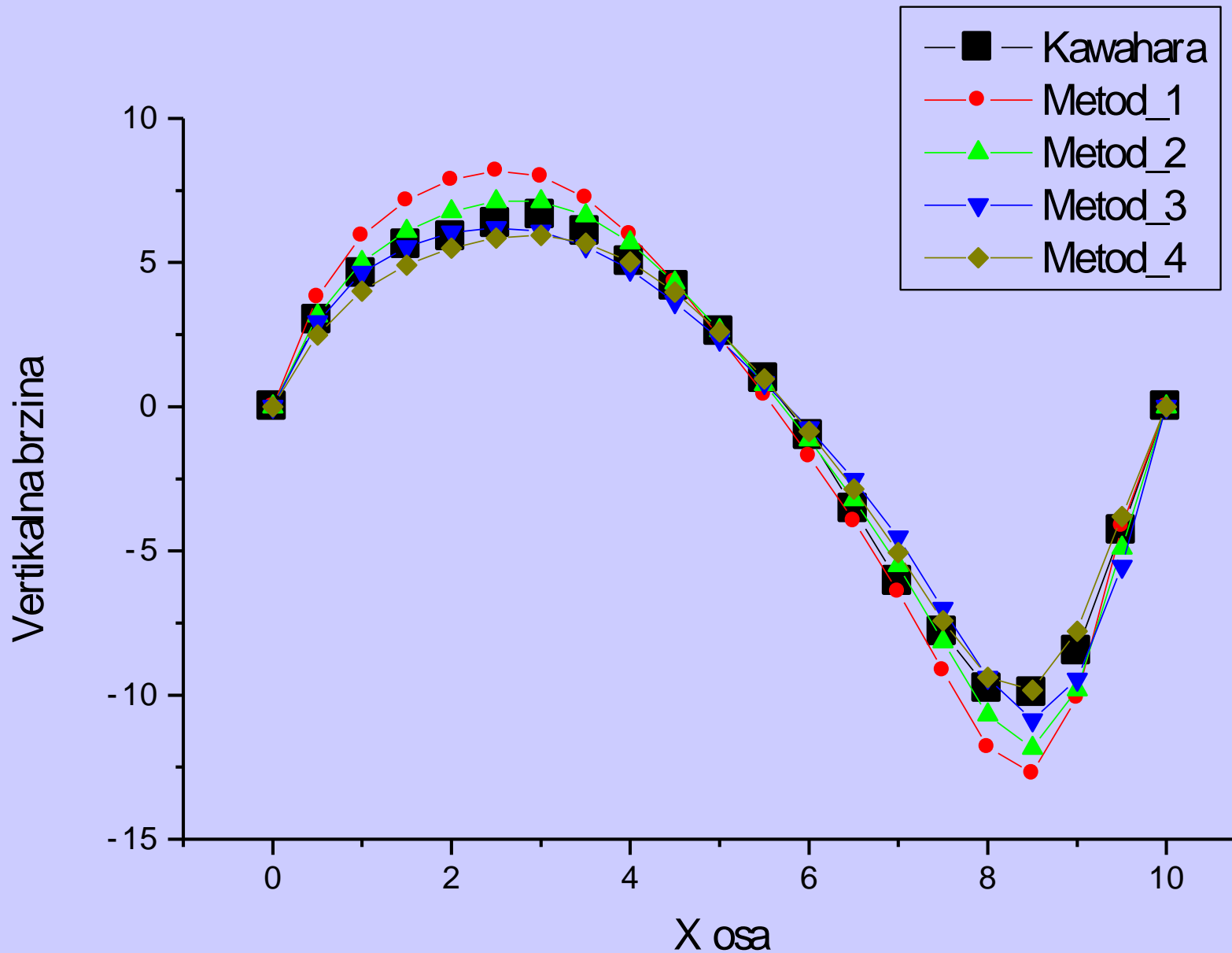
Dijagrami raspodele pritiska za $x=a/2$ pri $Re=400$



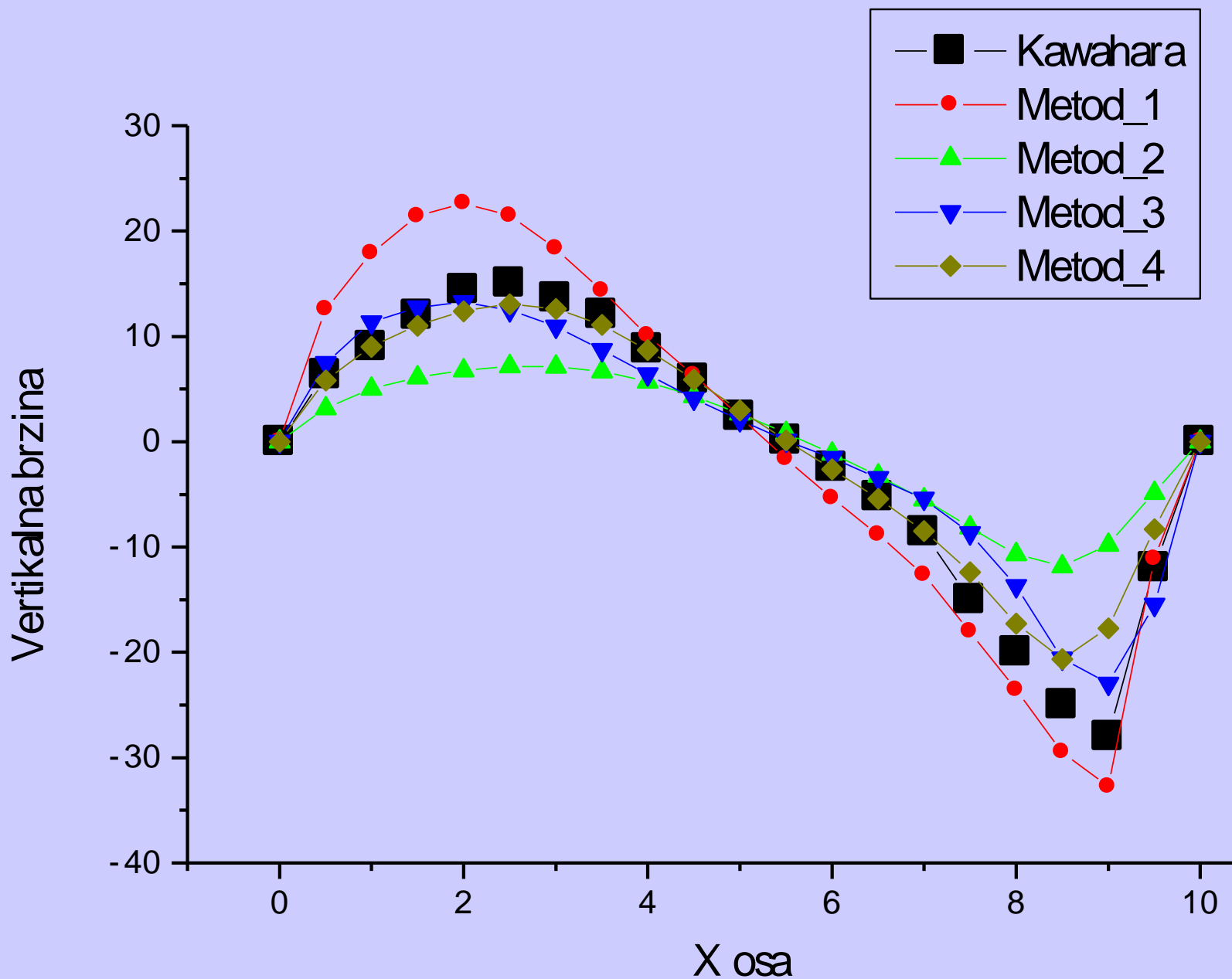
Dijagrami raspodele pritiska za $x=a/2$ pri $Re=1000$



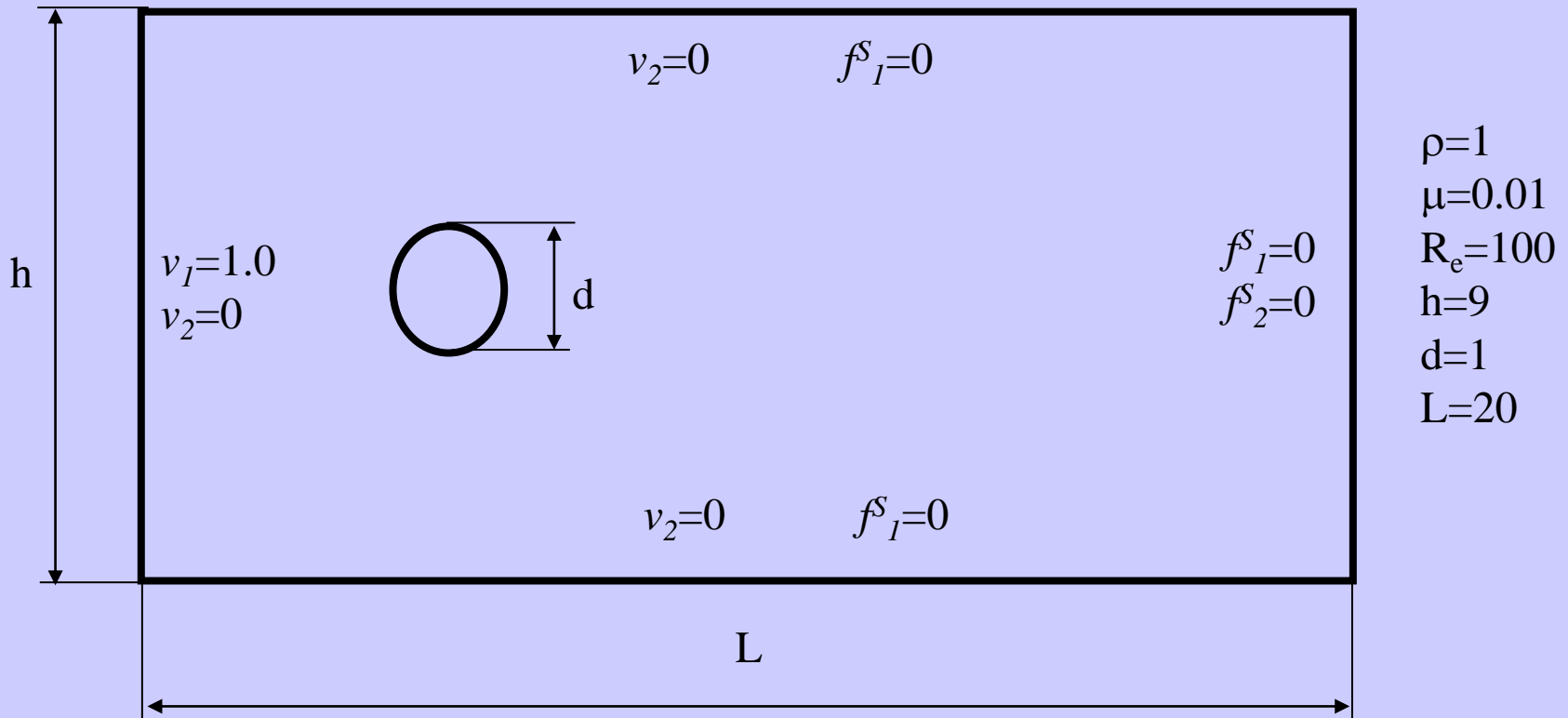
Dijagrami raspodele vertikalne brzine za $x=a/2$ pri $R_e=400$



Dijagrami raspodele vertikalne brzine za $x=a/2$ pri $R_e=1000$

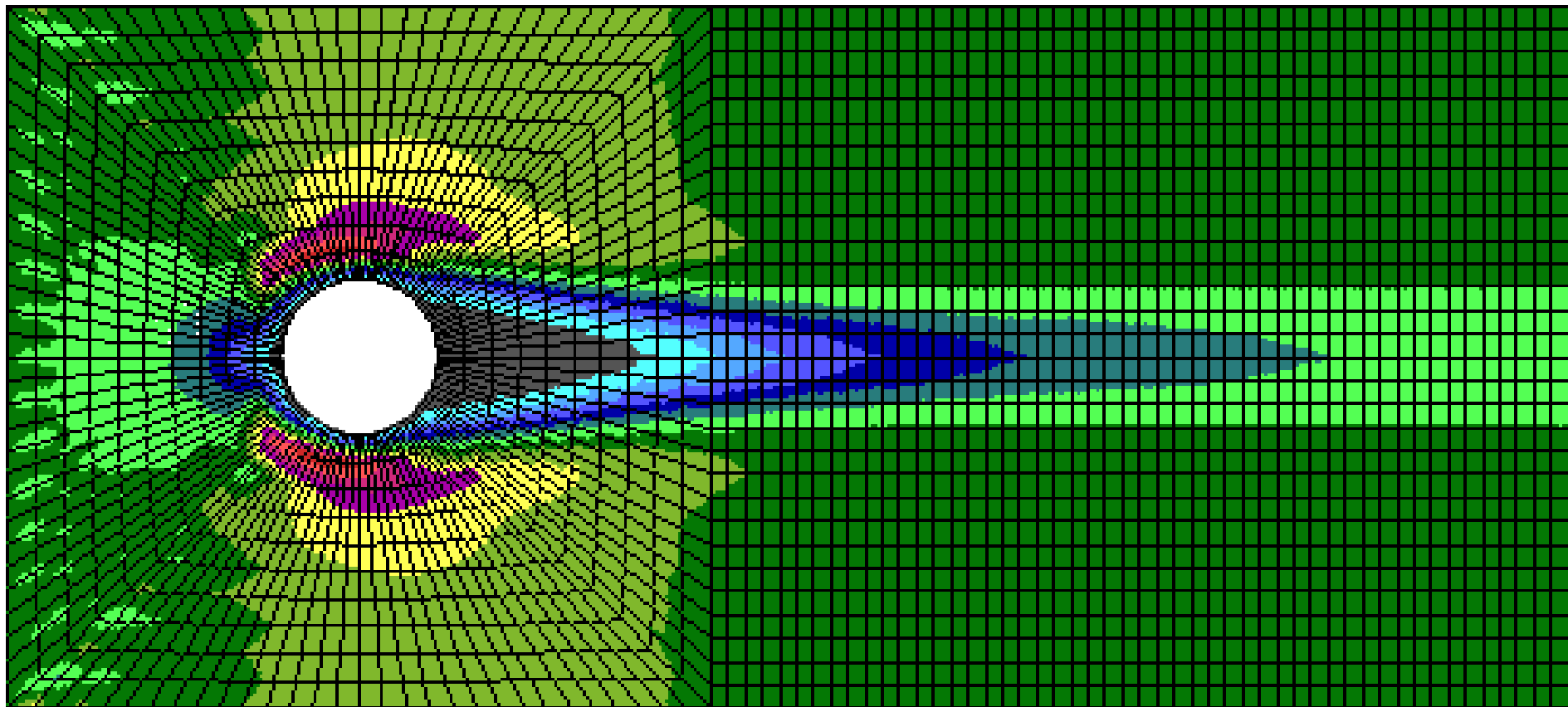


2.8.4 Opstrujavanje cilindra

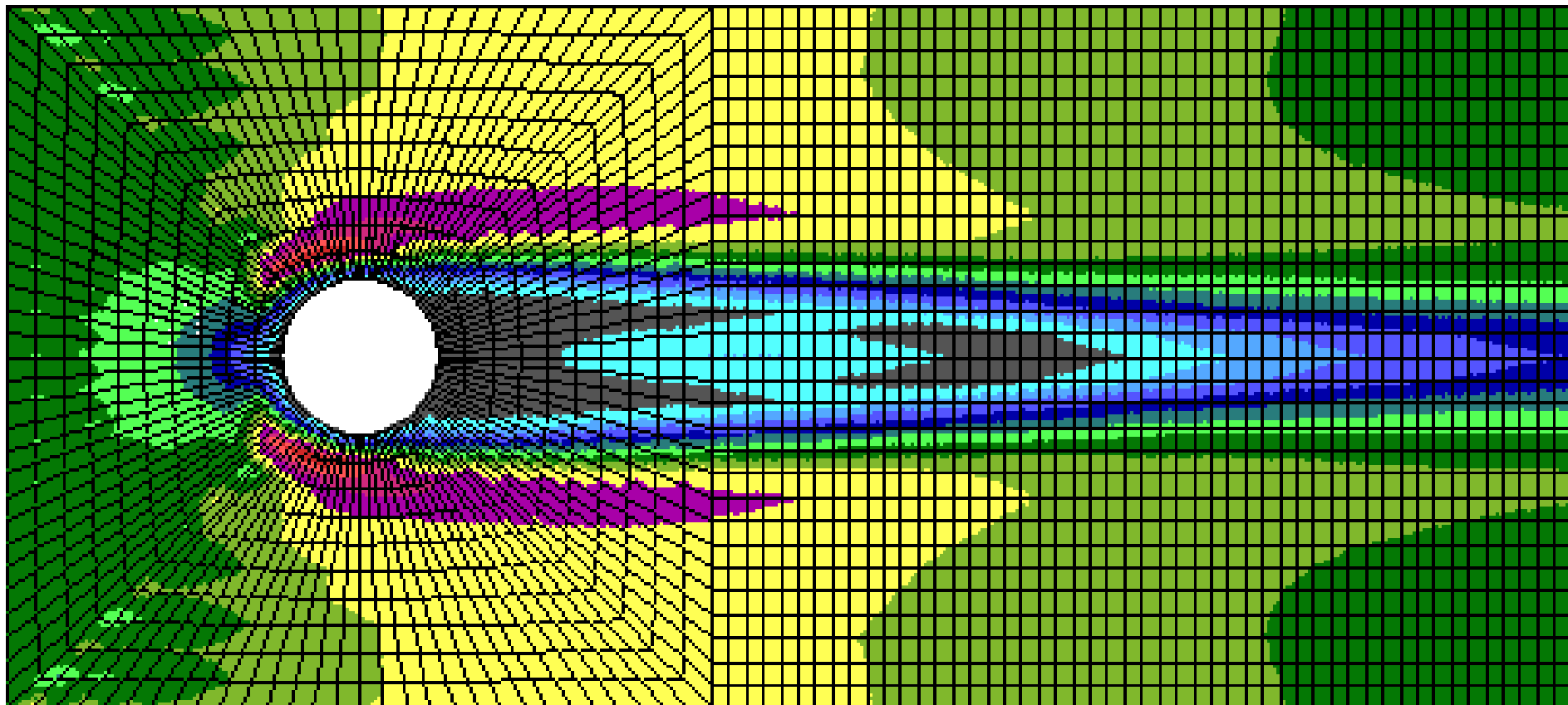


- 'Karman vortex street' vrtlozi
- PENALTI metoda sa UPWIND stabilizacionom tehnikom

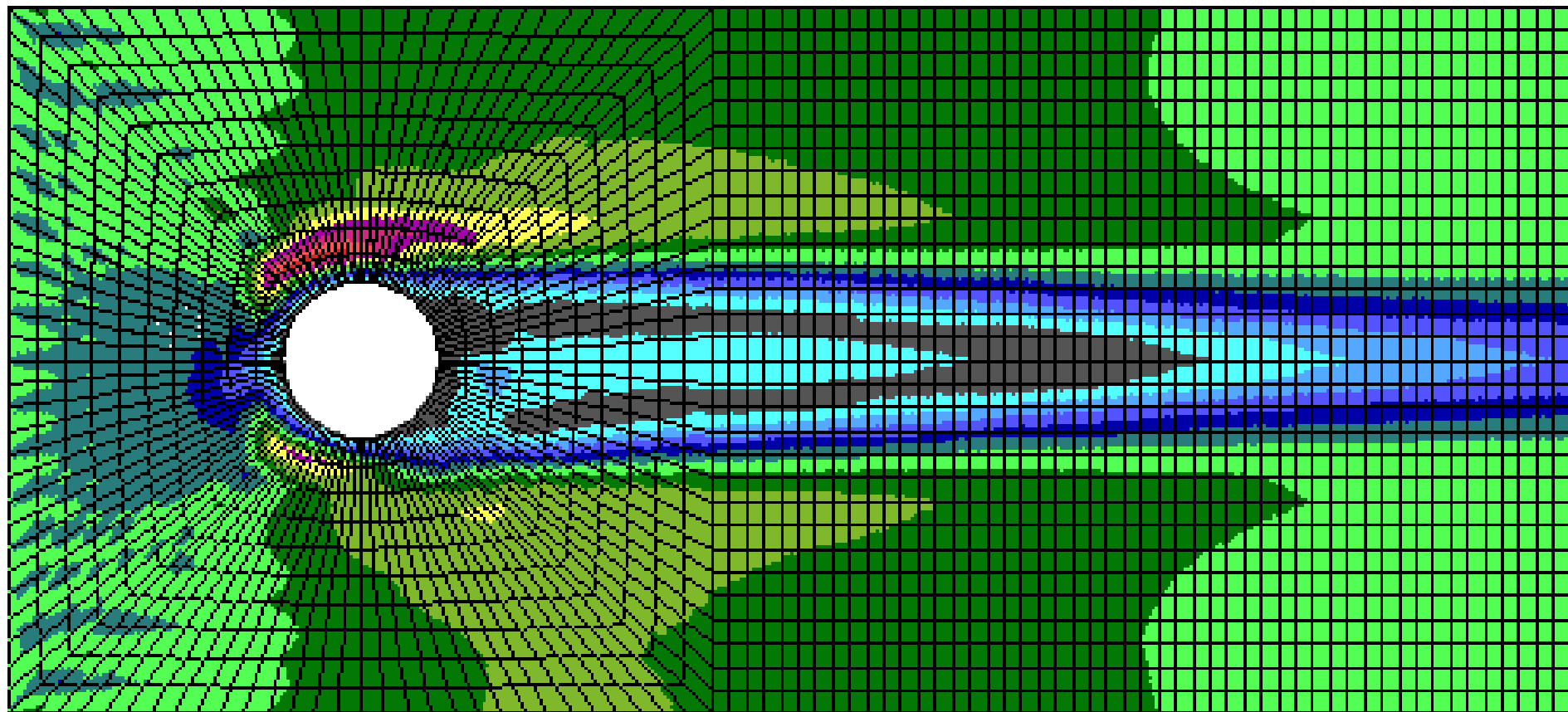
Polje brzine fluida pri opstrujavanju cilindra za $t=12$ s



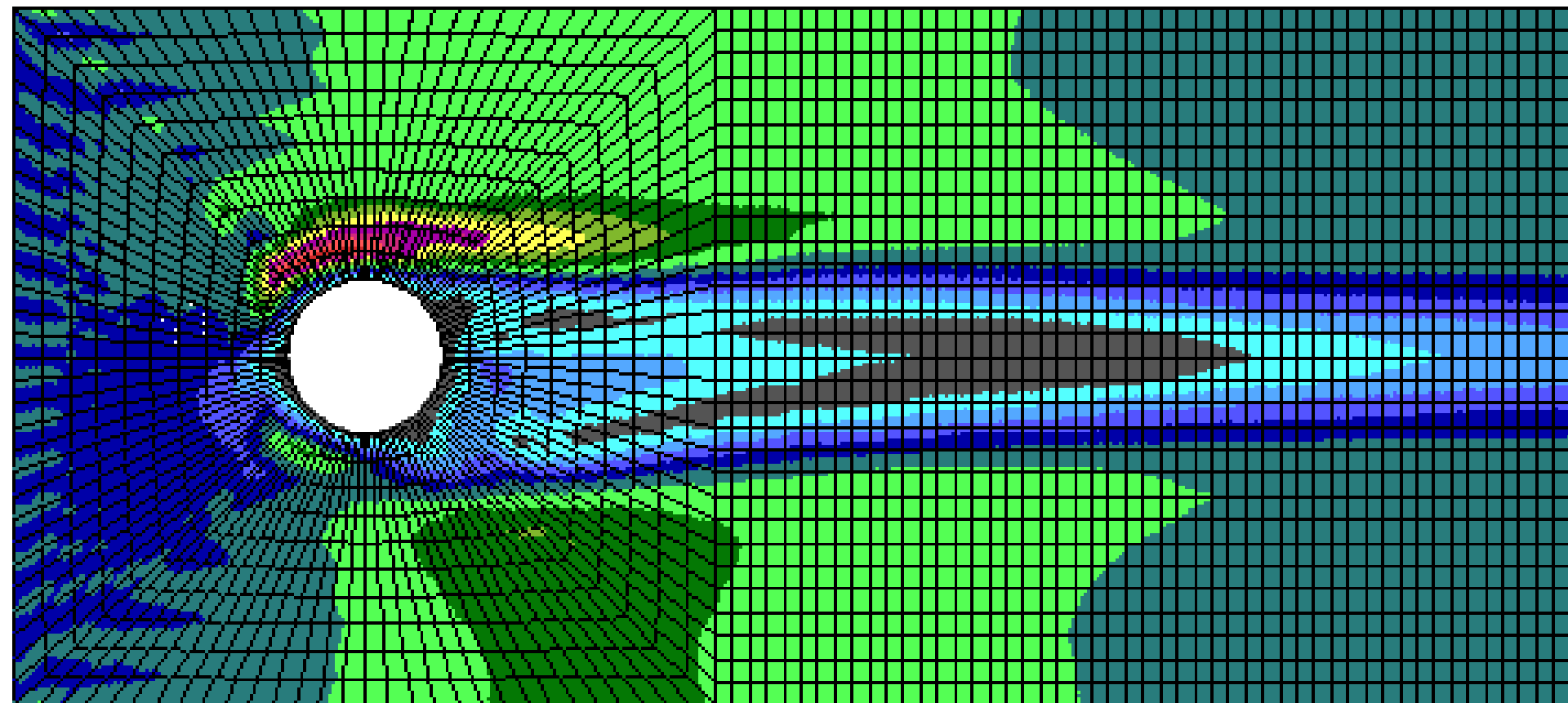
Polje brzine fluida pri opstrujavanju cilindra za $t=48$ s



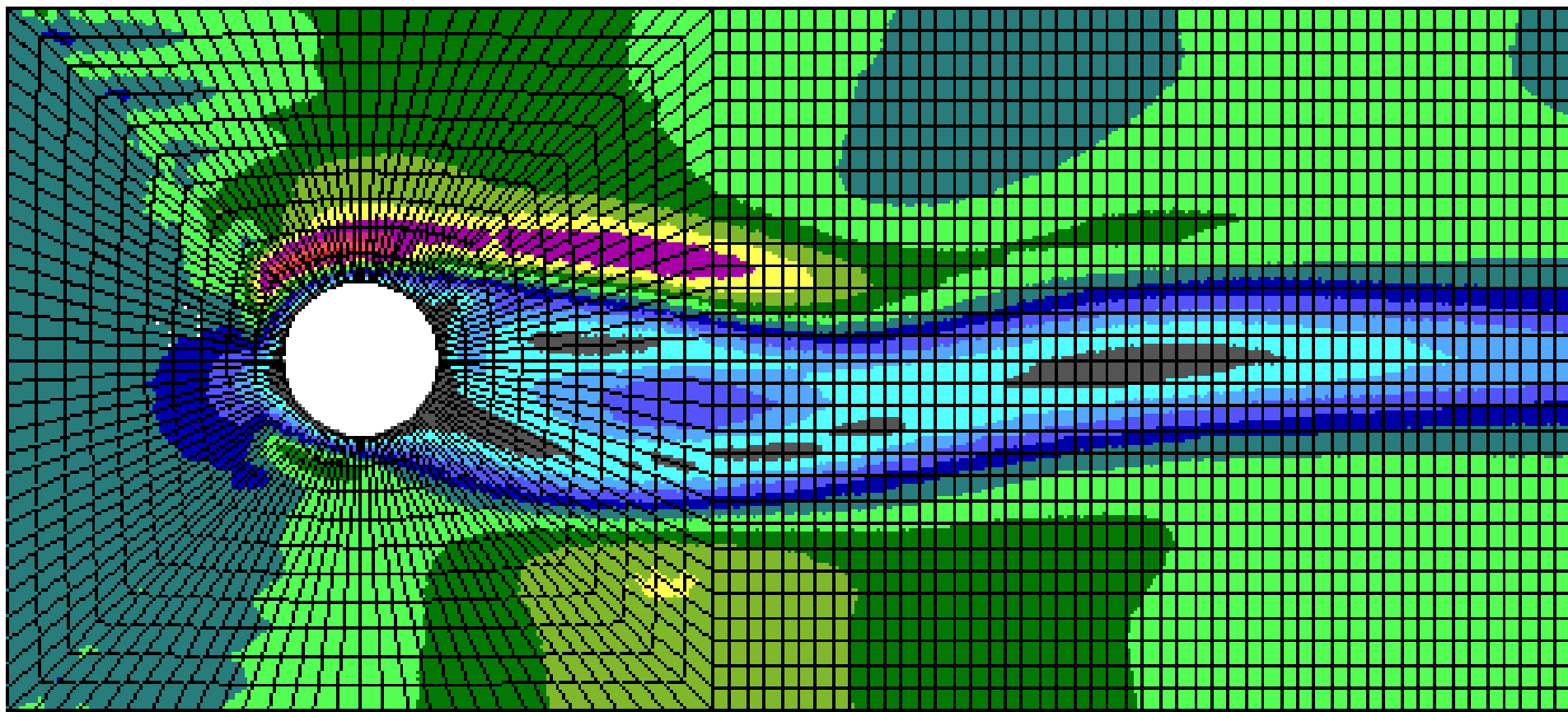
Polje brzine fluida pri opstrujavanju cilindra za $t=96$ s



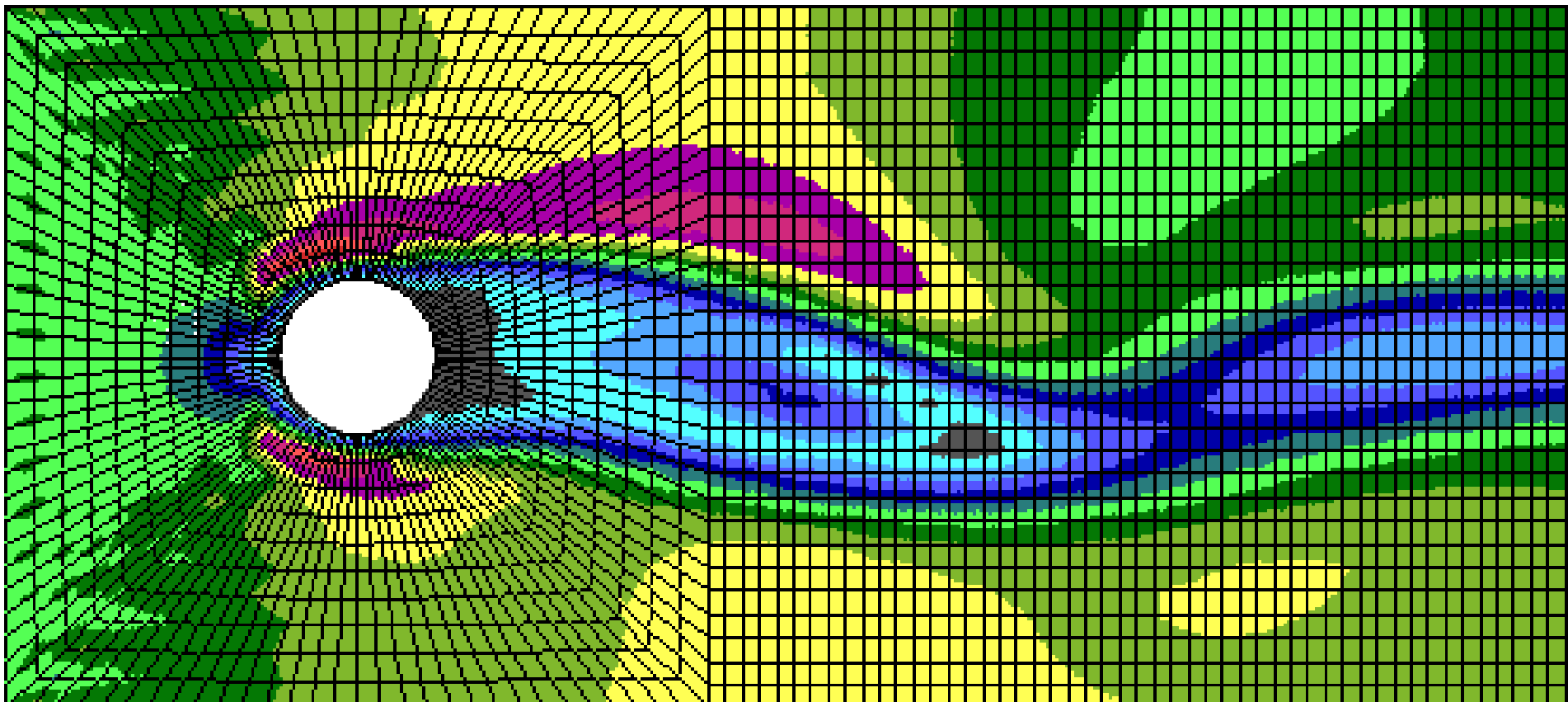
Polje brzine fluida pri opstrujavanju cilindra za $t=98$ s



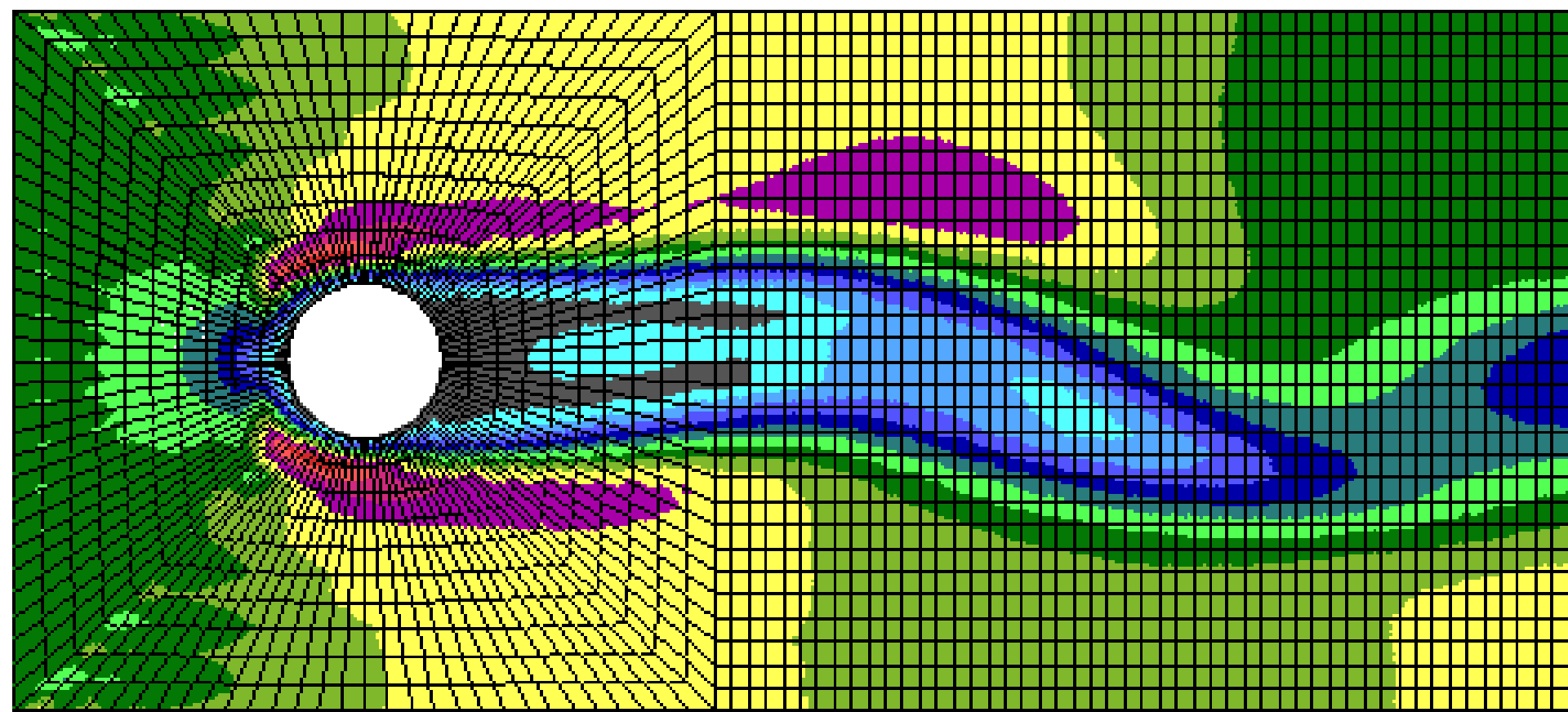
Polje brzine fluida pri opstrujavanju cilindra za $t=102$ s



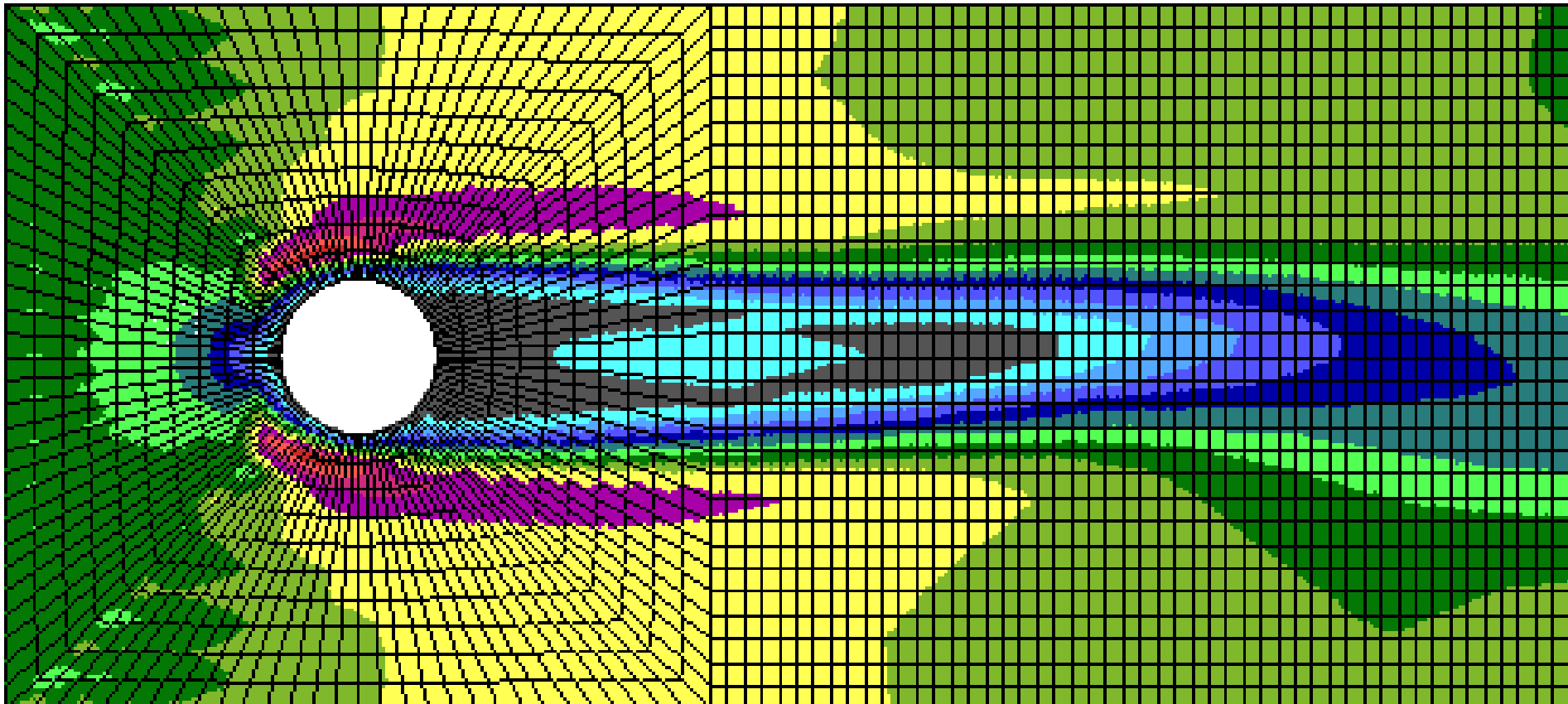
Polje brzine fluida pri opstrujavanju cilindra za $t=104$ s



Polje brzine fluida pri opstrujavanju cilindra za $t=106$ s



Polje brzine fluida pri opstrujavanju cilindra za $t=132$ s



SOLID-FLUID INTERAKCIJA

4.2 OSNOVNE JEDNAČINE SPREZANJA

Inkrementalno-iterativni oblik diferencijalne jednačine kretanja nelinearne strukture

$$\mathbf{M}^{t+\Delta t} \ddot{\mathbf{U}}^{(i)} + \mathbf{C} \Delta \dot{\mathbf{U}}^{(i-1)} + {}^{t+\Delta t} \mathbf{K}^{(i-1)} \Delta \mathbf{U}^{(i)} = {}^{t+\Delta t} \mathbf{F}_s - \mathbf{C}^{t+\Delta t} \dot{\mathbf{U}}^{(i-1)} - {}^{t+\Delta t} \mathbf{F}^{(i-1)} \quad (4.2.2)$$

Definisanje ukupnog vektora brzina i ukupnog pomeranja

$${}^{t+\Delta t} \dot{\mathbf{U}}^{(i)} = {}^t \dot{\mathbf{U}} + {}^t \Delta \dot{\mathbf{U}}^{(i-1)} + \Delta \dot{\mathbf{U}}^{(i)} = {}^{t+\Delta t} \dot{\mathbf{U}}^{(i-1)} + \Delta \dot{\mathbf{U}}^{(i)} \quad (4.2.3)$$

$${}^{t+\Delta t} \mathbf{U}^{(i)} = {}^{t+\Delta t} \mathbf{U}^{(i-1)} + \Delta \mathbf{U}^{(i)}$$

Jednačina solida po nepoznatim brzinama

$${}^{t+\Delta t} \hat{\mathbf{C}}^{(i-1)} \Delta \dot{\mathbf{U}}^{(i)} = {}^{t+\Delta t} \hat{\mathbf{F}}_s^{(i-1)} \quad (4.2.9)$$

$${}^{t+\Delta t} \hat{\mathbf{C}}^{(i-1)} = b_0 \mathbf{M} + \mathbf{C} + b_1 {}^{t+\Delta t} \mathbf{K}^{(i-1)} \quad (4.2.10)$$

$${}^{t+\Delta t} \hat{\mathbf{F}}_s^{(i-1)} = {}^{t+\Delta t} \mathbf{F}_s - \mathbf{M} {}^{t+\Delta t} \ddot{\mathbf{U}}^{(i-1)} - \mathbf{C} {}^{t+\Delta t} \dot{\mathbf{U}}^{(i-1)} - {}^{t+\Delta t} \mathbf{K}^{(i-1)} {}^{t+\Delta t} \mathbf{U}^{(i-1)} - {}^{t+\Delta t} \mathbf{F}^{(i-1)} \quad (4.2.11)$$

$${}^{t+\Delta t} \hat{\mathbf{U}}^{(i-1)} = b_0 \left({}^{t+\Delta t} \dot{\mathbf{U}}^{(i-1)} - {}^t \dot{\mathbf{U}} \right) + b_2 {}^t \ddot{\mathbf{U}} \quad (4.2.12)$$

$${}^{t+\Delta t} \mathbf{U}^{(i-1)} = {}^t \mathbf{U} + b_3 {}^t \dot{\mathbf{U}} + b_4 {}^t \ddot{\mathbf{U}} + b_5 {}^{t+\Delta t} \dot{\mathbf{U}}^{(i-1)} \quad (4.2.13)$$

Posle postizanja konvergencije ukupni vektori ubrzanja i pomeranja se računaju prema jednačinama

$${}^{t+\Delta t}\ddot{\mathbf{U}}^{(i)} = b_0 \left({}^{t+\Delta t}\dot{\mathbf{U}}^{(i)} - {}^t\dot{\mathbf{U}} \right) + b_2 {}^t\ddot{\mathbf{U}} \quad (4.2.14)$$

$${}^{t+\Delta t}\mathbf{U}^{(i)} = {}^t\mathbf{U} + b_6 {}^t\dot{\mathbf{U}} + b_7 {}^t\ddot{\mathbf{U}} + b_8 {}^{t+\Delta t}\ddot{\mathbf{U}}^{(i)} \quad (4.2.15)$$

Sistem jednačina za solid

$$\begin{bmatrix} \mathbf{K}_{vff}^s & \mathbf{K}_{vfs}^s \\ \mathbf{K}_{vsf}^s & \mathbf{K}_{vss}^s \end{bmatrix} \begin{pmatrix} \Delta \mathbf{v}_{sf} \\ \Delta \mathbf{v}_{ss} \end{pmatrix} = \begin{pmatrix} \mathbf{f}_{sf} \\ \mathbf{f}_{ss} \end{pmatrix} + \begin{pmatrix} \tilde{\mathbf{f}}_{fs} \\ \mathbf{0} \end{pmatrix} \quad (4.2.19)$$

Sistem jednačina za fluid

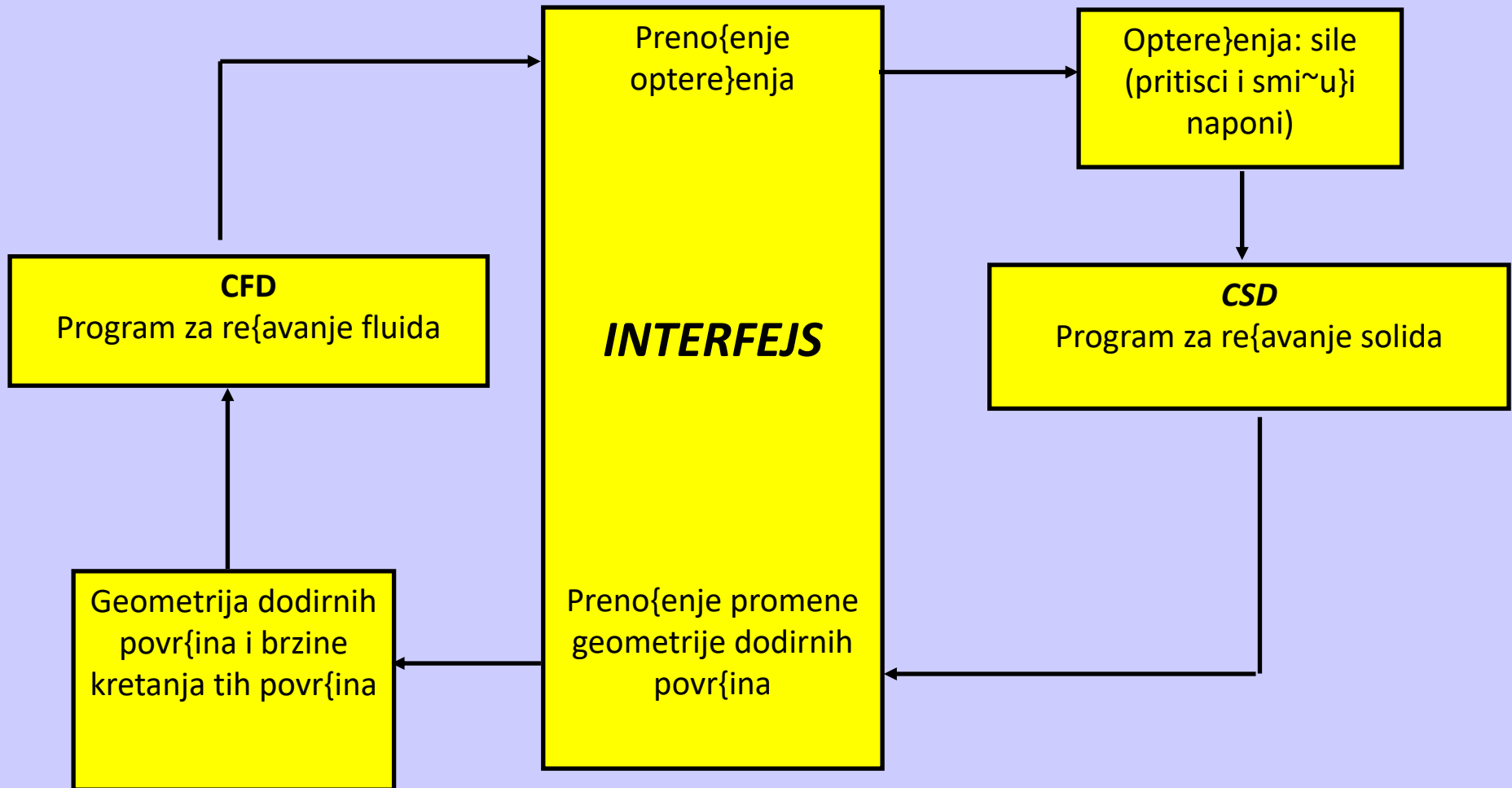
$$\begin{bmatrix} \mathbf{K}_{vs-s}^f & \mathbf{K}_{vs-f}^f & \mathbf{K}_{ps-p}^f \\ \mathbf{K}_{vff}^f & \mathbf{K}_{vff}^f & \mathbf{K}_{pfp}^f \\ \mathbf{K}_{ps-p}^{\text{T}f} & \mathbf{K}_{pfp}^{\text{T}f} & \mathbf{0} \end{bmatrix} \begin{pmatrix} \Delta \mathbf{v}_{fs} \\ \Delta \mathbf{v}_{ff} \\ \Delta p \end{pmatrix} = \begin{pmatrix} \mathbf{f}_{v_{fs}} \\ \mathbf{f}_{v_{ff}} \\ \mathbf{f}_p \end{pmatrix} \quad (4.2.20)$$

Spregnuti sistem jednačina

$$\begin{bmatrix} \mathbf{K}_{vs-s}^f + \mathbf{K}_{vff}^s & \mathbf{K}_{vs-f}^f & \mathbf{K}_{ps-p}^f & \mathbf{K}_{vfs}^s \\ \mathbf{K}_{vff}^f & \mathbf{K}_{vff}^f & \mathbf{K}_{pfp}^f & \mathbf{0} \\ \mathbf{K}_{ps-p}^{\text{T}f} & \mathbf{K}_{pfp}^{\text{T}f} & \mathbf{0} & \mathbf{0} \\ \mathbf{K}_{vs-f}^s & \mathbf{0} & \mathbf{0} & \mathbf{K}_{vss}^f \end{bmatrix} \begin{pmatrix} \Delta \mathbf{v}_{fs} \\ \Delta \mathbf{v}_{ff} \\ \Delta p \\ \Delta \mathbf{v}_s \end{pmatrix} = \begin{pmatrix} \mathbf{f}_{v_{fs}} + \mathbf{f}_{sf} \\ \mathbf{f}_{v_{ff}} \\ \mathbf{f}_p \\ \mathbf{f}_{ss} \end{pmatrix} + \begin{pmatrix} \mathbf{0} \\ \tilde{\mathbf{f}}_{fs} \\ \mathbf{0} \\ \mathbf{0} \end{pmatrix}$$

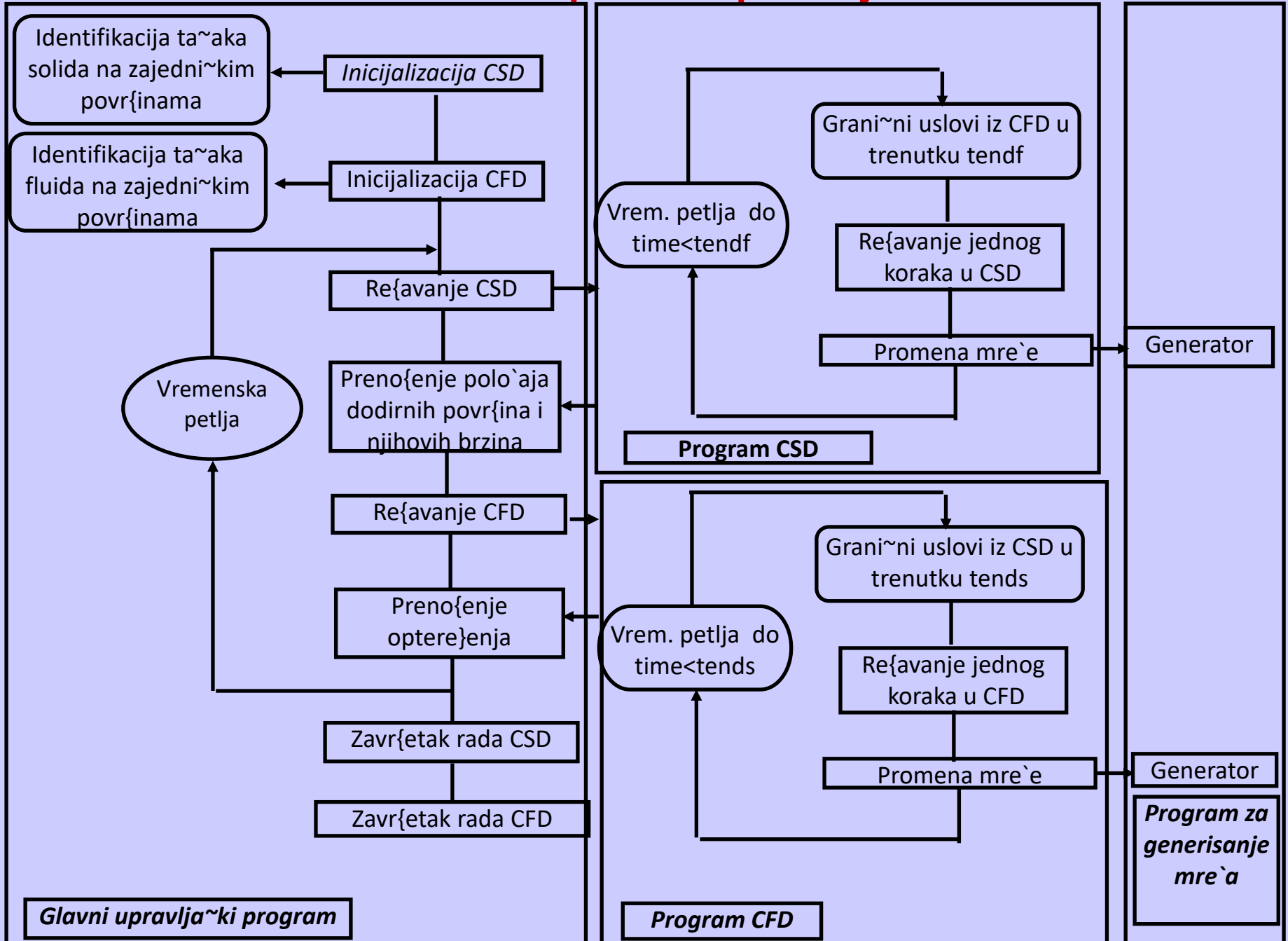
(4.2.21)

4.4 SLABO SPREZANJE



Razmena informacija za re{avanje problema solid-fluid interakcije

4.4.1 Eksplicitno sprezanje



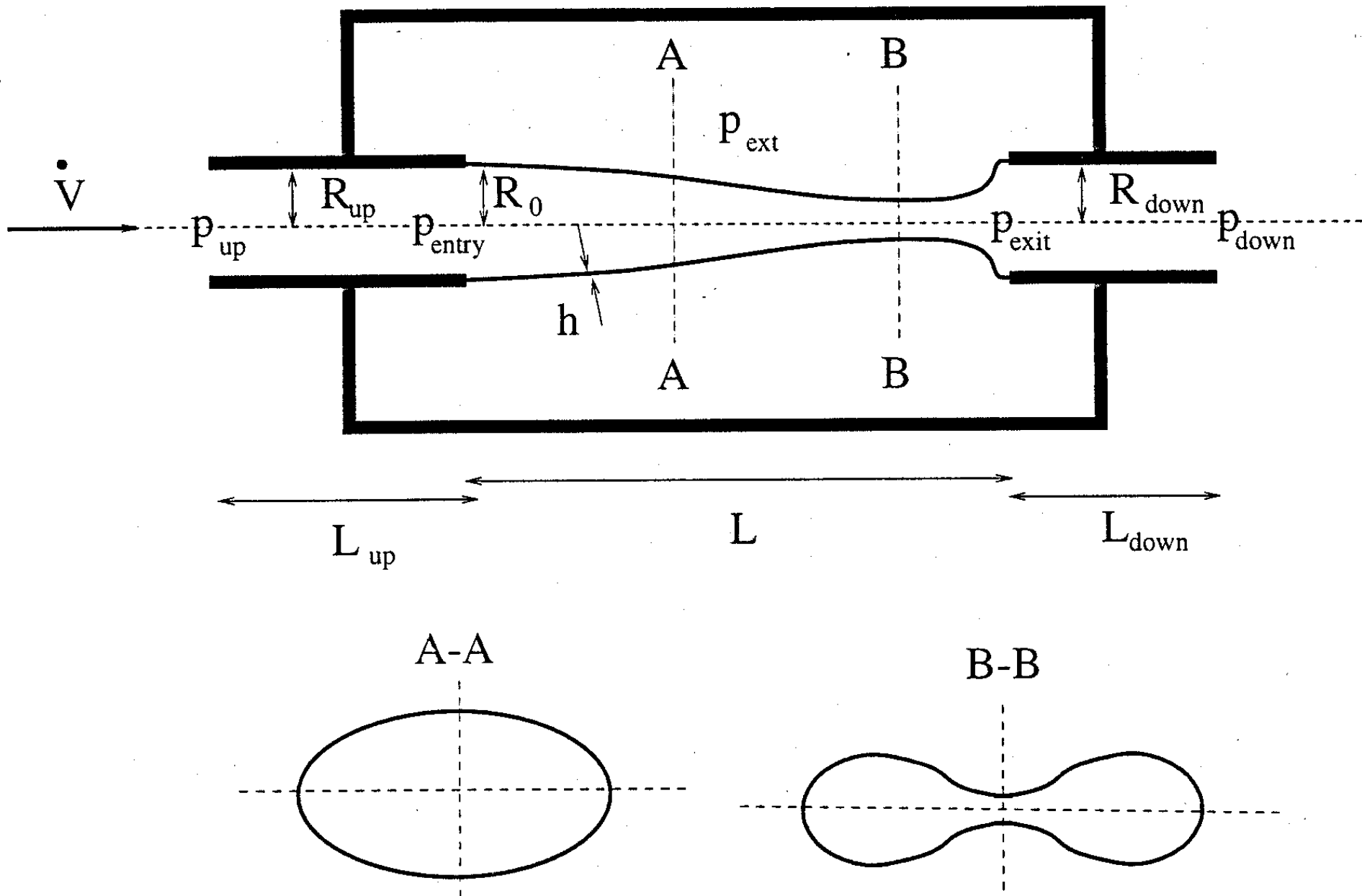
4.4.2 Implicitno sprezanje

1. Inicijalizuju se rešenja za CFD i CSD
2. Startuje se globalna vremenska petlja
3. Inicijalizuju se nepoznate veličine za vreme $n+1$: $\mathbf{x}_0^{n+1} = \mathbf{x}^n$, $\mathbf{v}_0^{n+1} = \mathbf{v}^n$ i $p^{n+1} = p^n$
4. $i = i + 1$
5. CSD prediktor: $\tilde{\mathbf{x}}_i^{n+1}, \tilde{\mathbf{v}}_i^{n+1} = f(p_{i-1}^n)$
6. Prenesu se pretpostavljeni položaji i brzine tačka na zajedničkim površinama
7. CFD prediktor: $\tilde{p}_i^{n+1} = f(\tilde{\mathbf{x}}_i^{n+1}, \tilde{\mathbf{v}}_i^{n+1})$
8. Prenesu se pretpostavljena opterećenja od fluida
9. CSD korektor: $\mathbf{x}_i^{n+1}, \mathbf{v}_i^{n+1} = f(\tilde{p}_i^{n+1})$
10. Prenesu se korigovani položaji i brzine tačka na zajedničkim površinama
11. CFD korektor: $p_i^{n+1} = f(\mathbf{x}_i^{n+1}, \mathbf{v}_i^{n+1})$
12. Prenesu se opterećenja od fluida
13. Ako rešenje nije konvergiralo, vratiti se na korak 4 (na sledeću iteraciju)
14. Kraj globalne petlje: vratiti se na korak 2 (na sledeći vremenski korak)

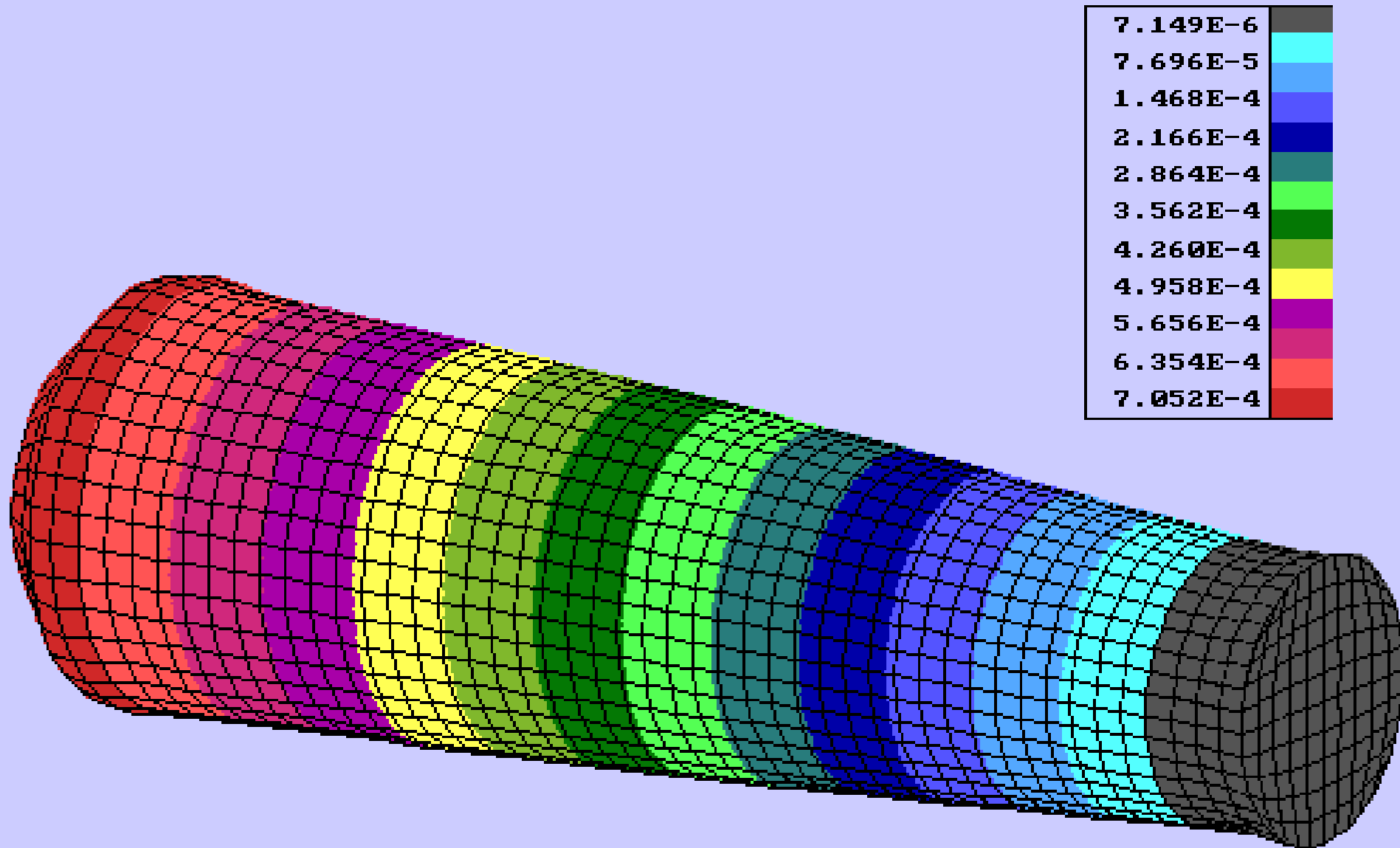
Kriterijum konvergencije

$$\|\mathbf{x}_i^{n+1} - \mathbf{x}_{i-1}^{n+1}\| < \varepsilon \text{ AND } \|\mathbf{v}_i^{n+1} - \mathbf{v}_{i-1}^{n+1}\| < \varepsilon \text{ AND } \|p_i^{n+1} - p_{i-1}^{n+1}\| < \varepsilon$$

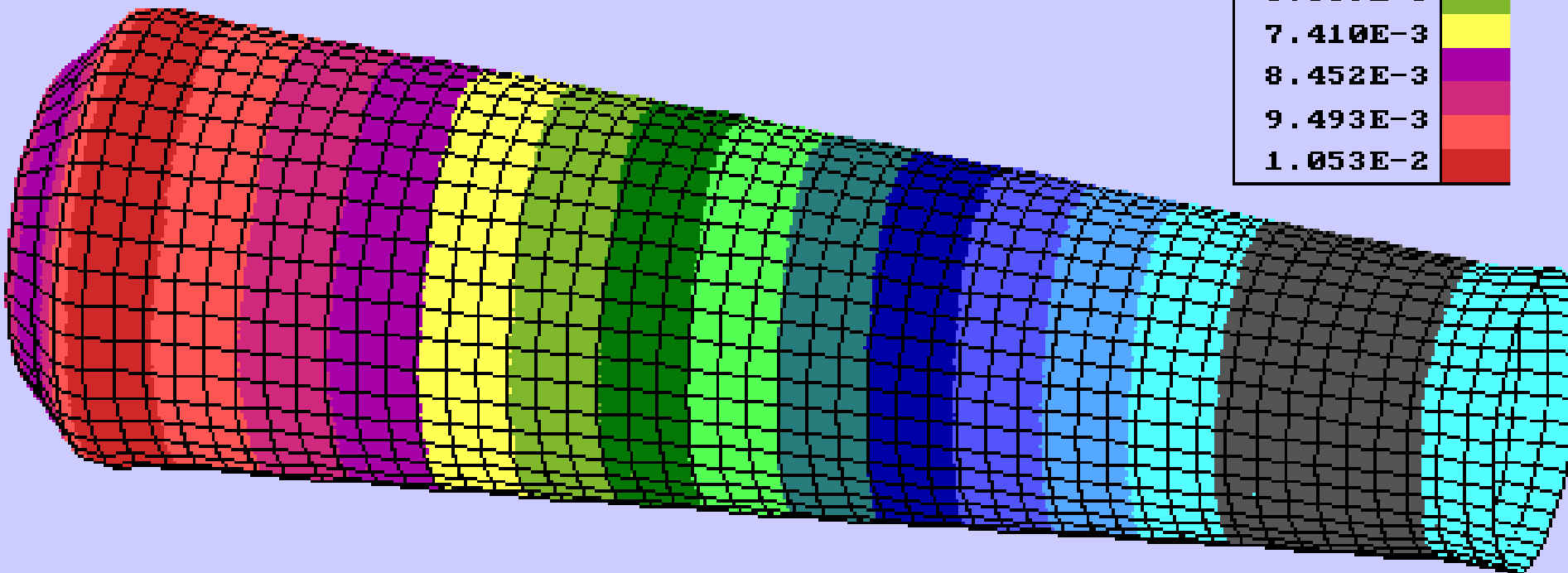
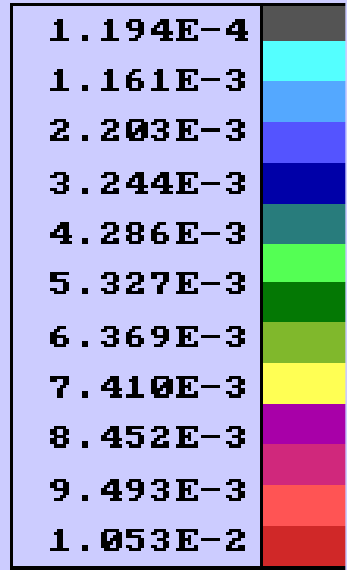
4.5.1 Strujanje fluida u kolapsibilnim cevima



Pritisci fluida u deformisanoj cevi za vreme dejstva pozitivnog transmuralnog pritiska



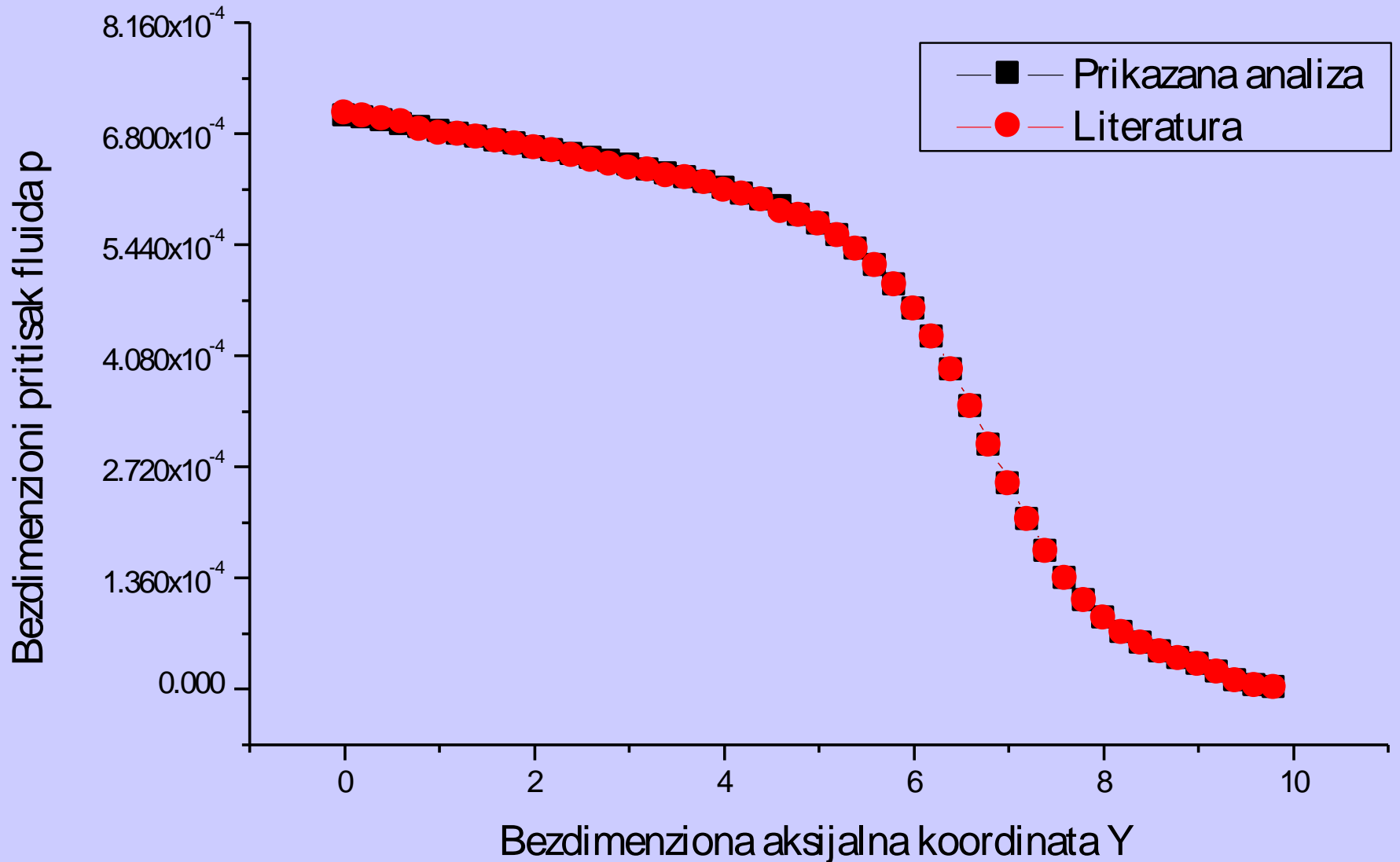
Polje efektivnog napona na zidovima cevi za vreme dejstva pozitivnog transmuralnog pritiska



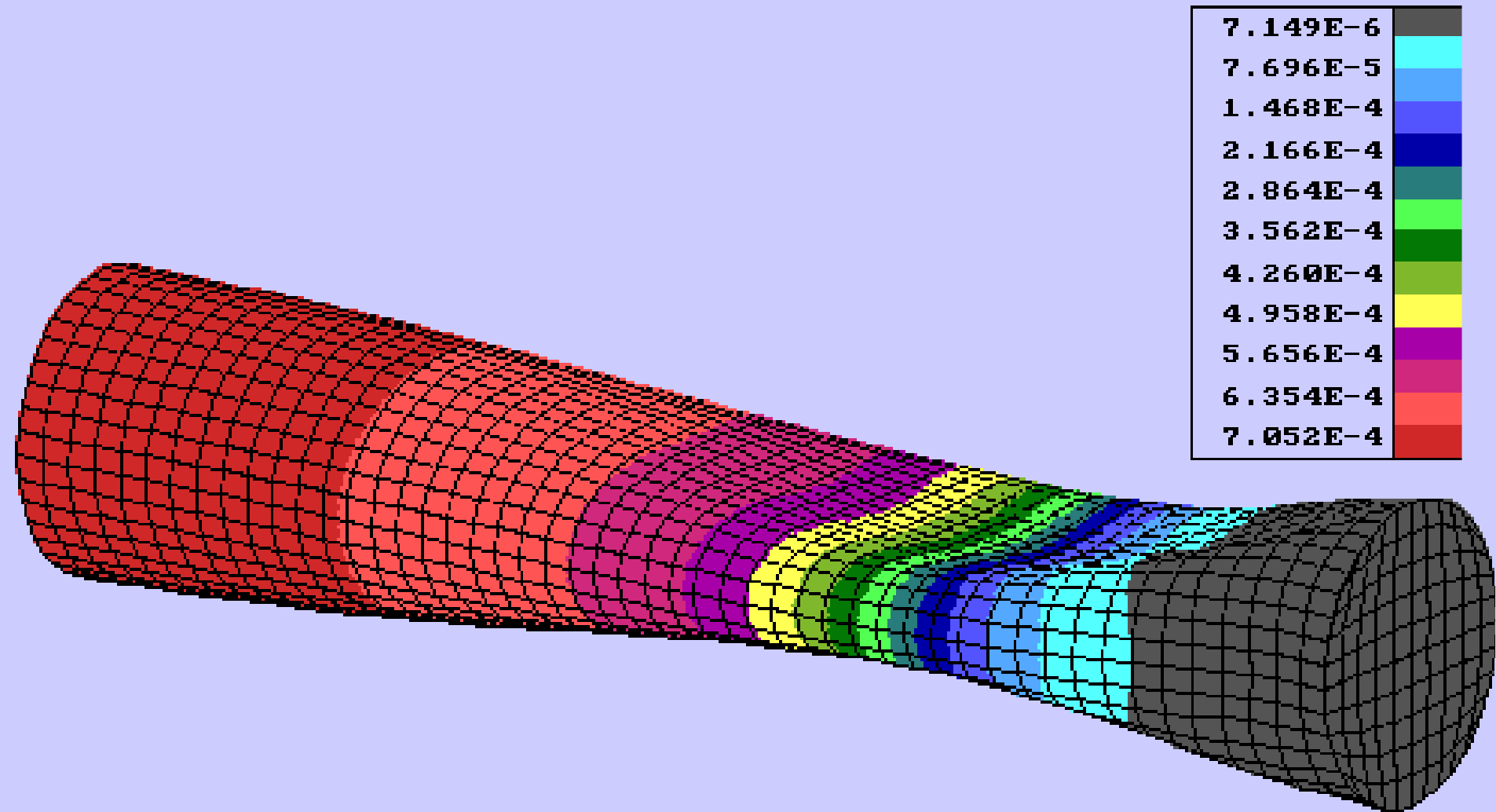


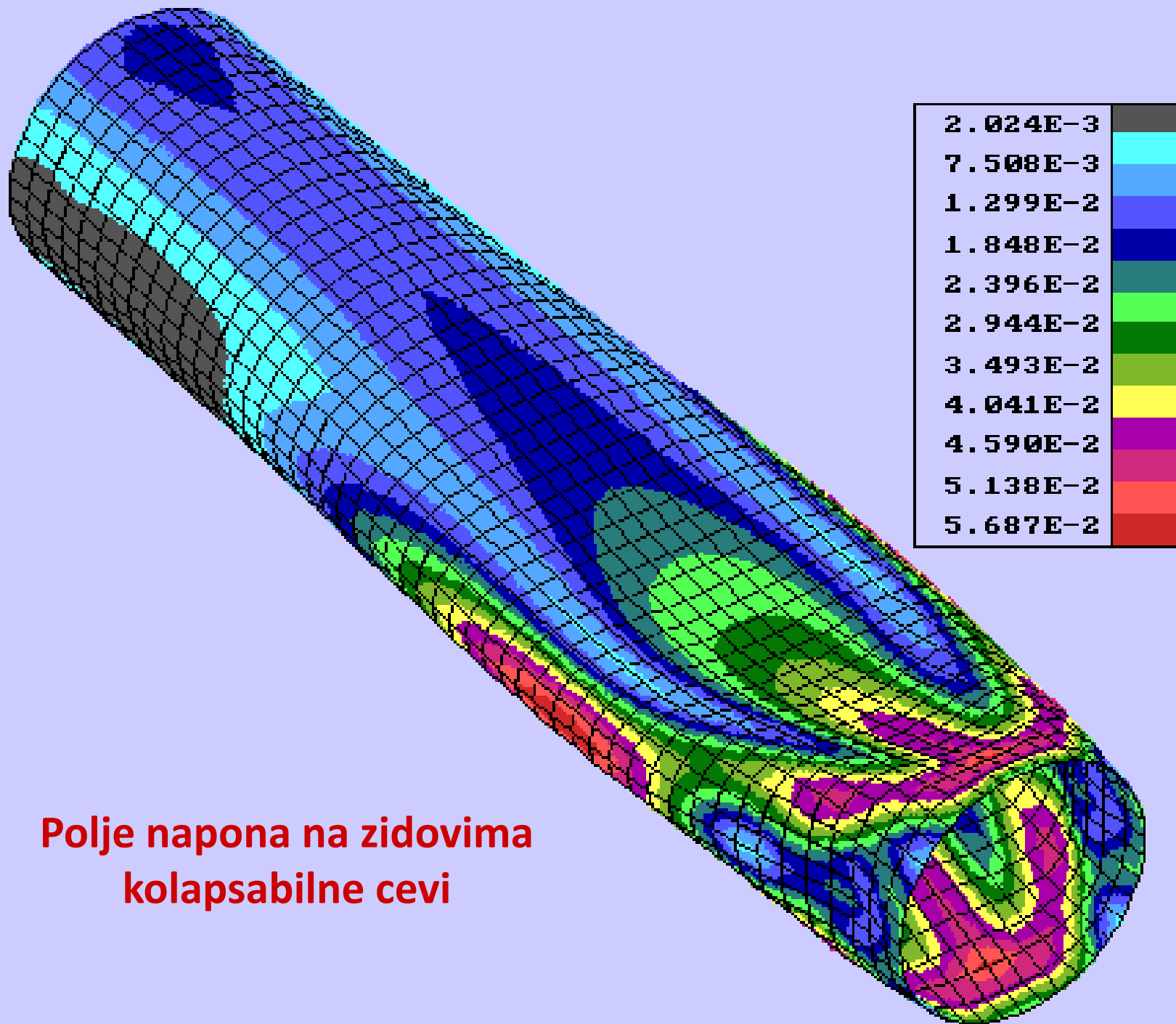
**Deformisana cev na kraju
procesa propadanja**

Dijagram pritiska duž aksijalne ose kolapsibilne cevi

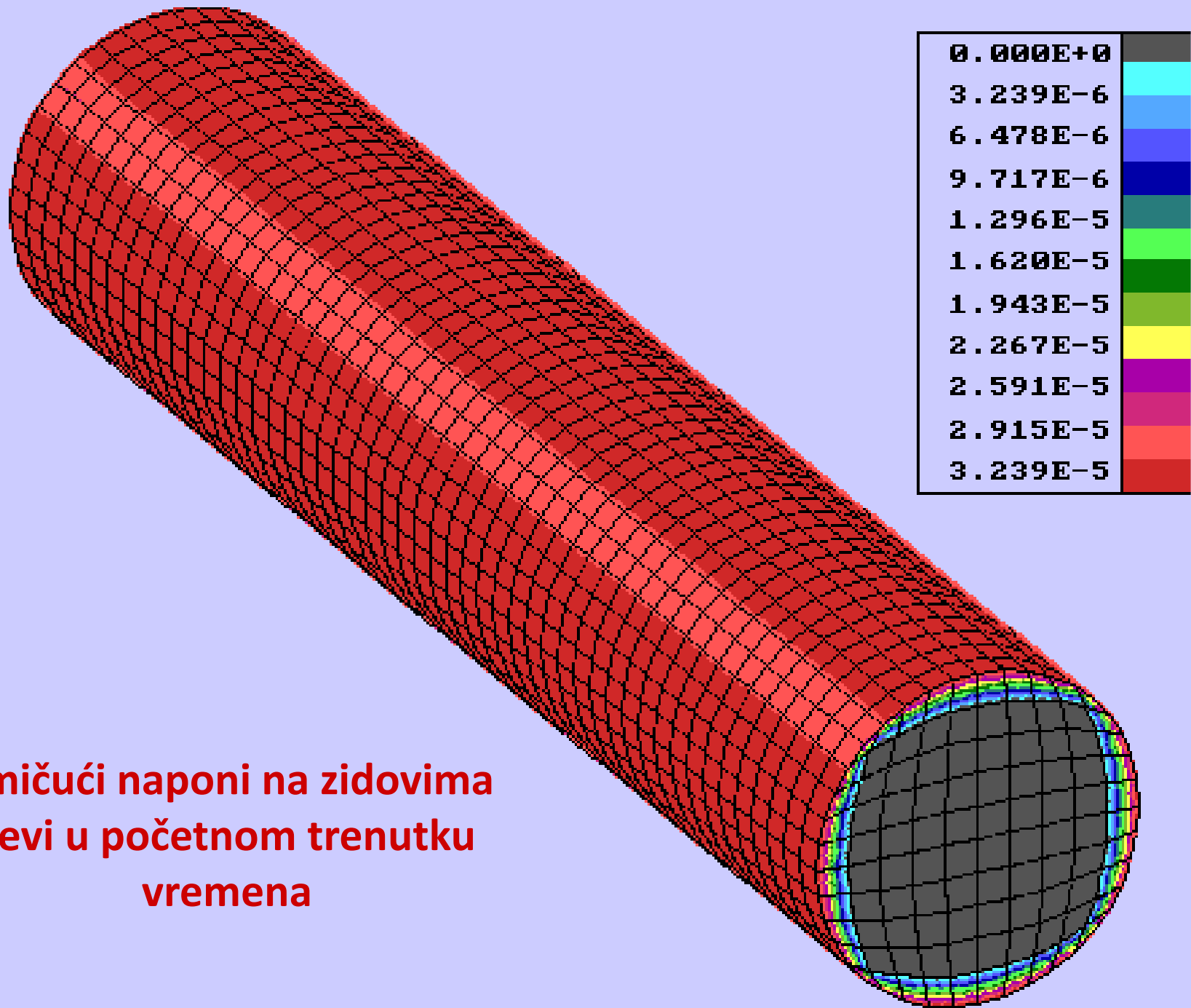


Polje pritisaka fluida u kolapsibilnoj cev

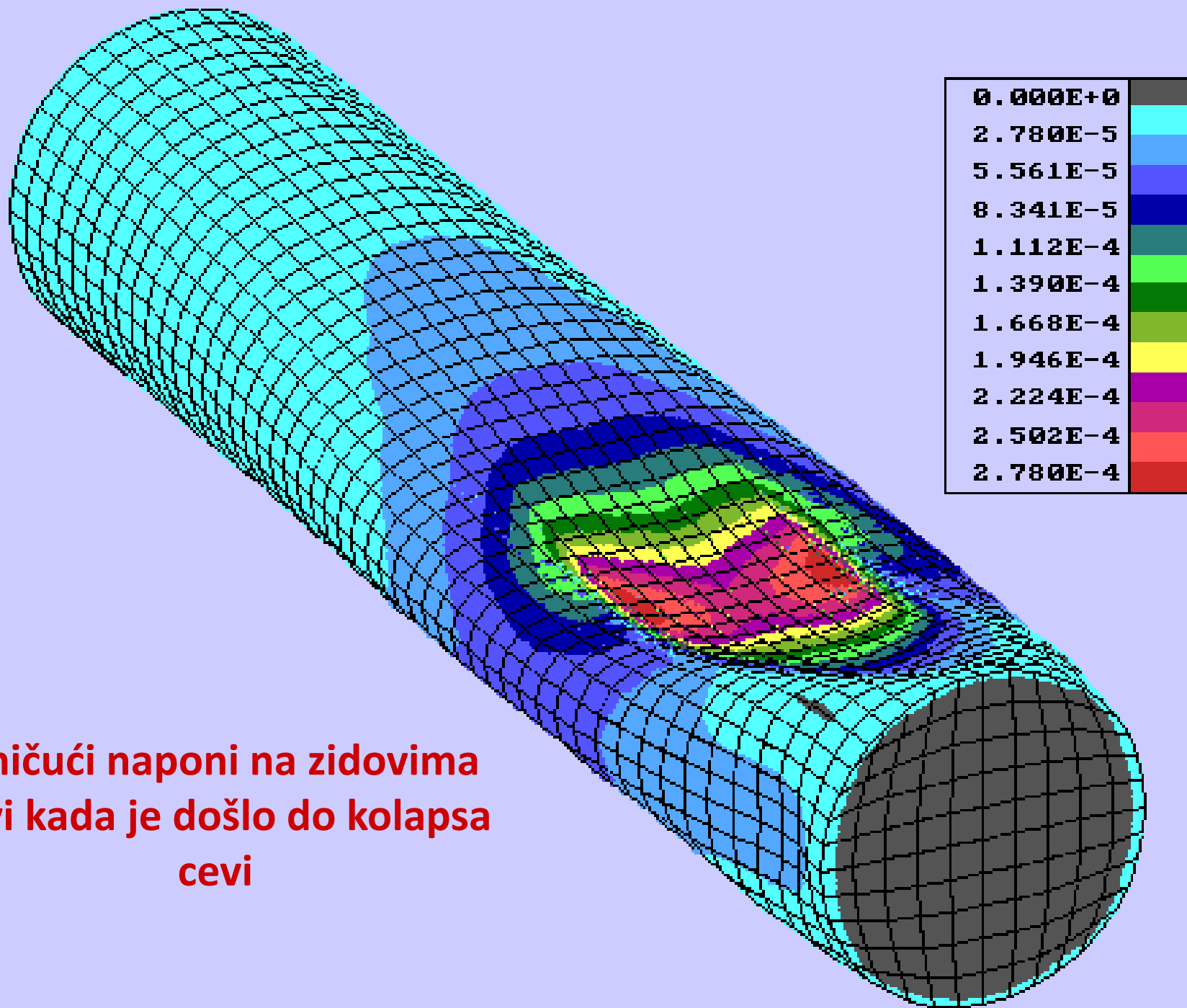




**Polje napona na zidovima
kolapsabilne cevi**

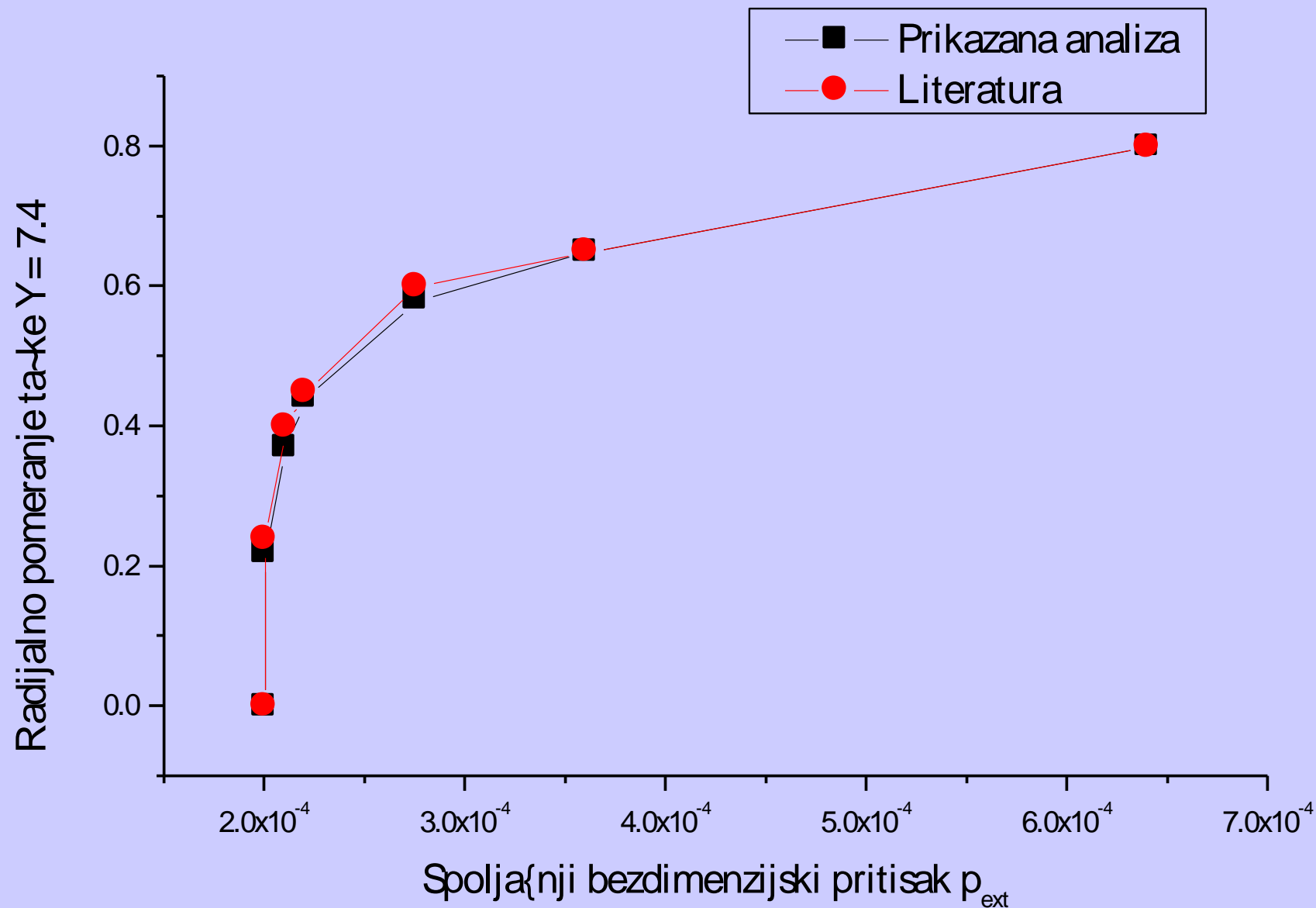


**Smičući naponi na zidovima
cevi u početnom trenutku
vremena**



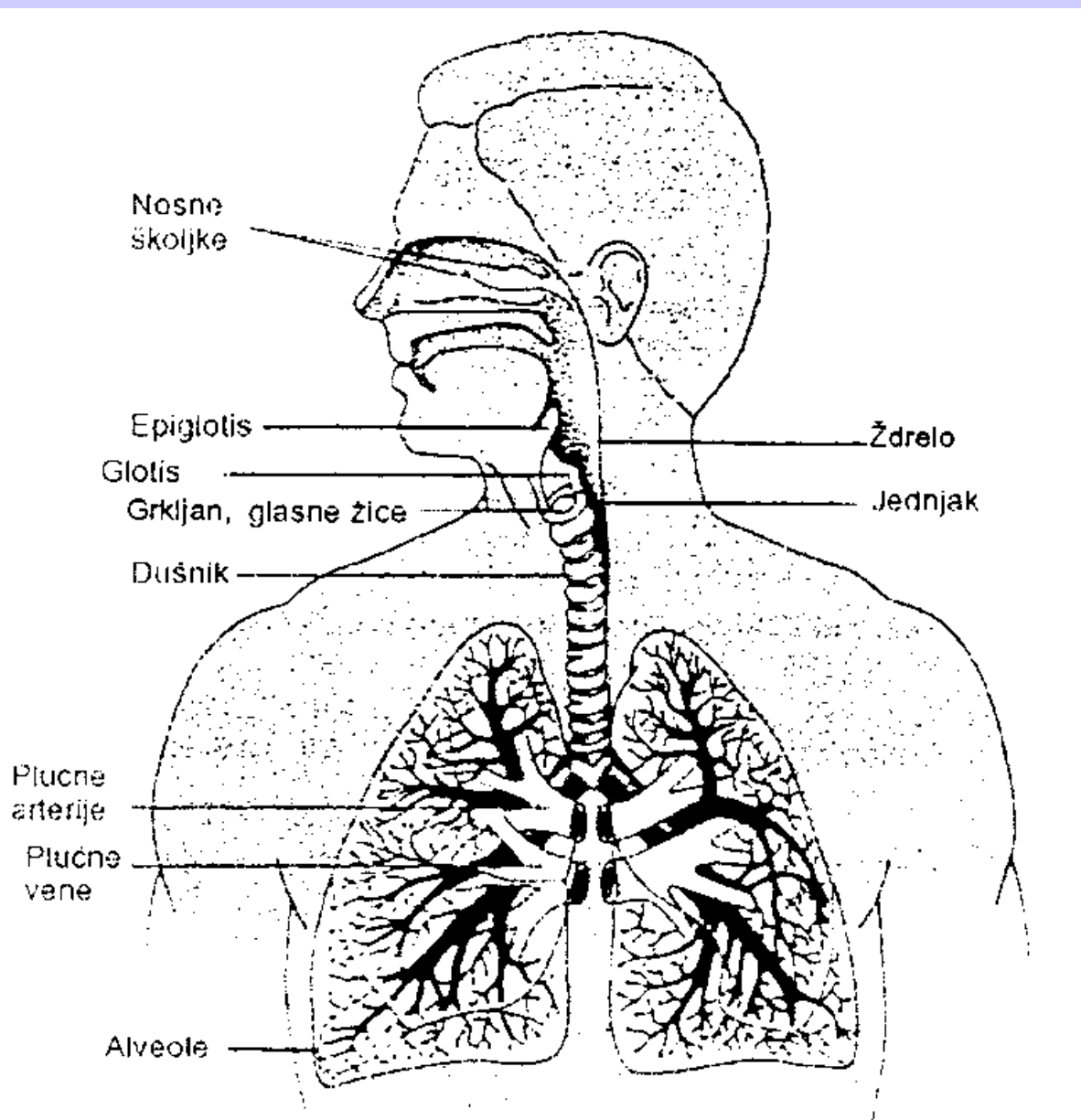
**Smičući naponi na zidovima
cevi kada je došlo do kolapsa
cevi**

Radijalno pomeranje tačke na bezdimenzijskom aksijalnom rastojanju $Y=7.4$ u funkciji spoljašnjeg pritiska p_{ext}

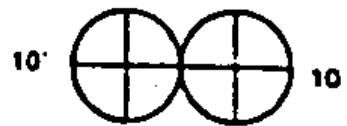
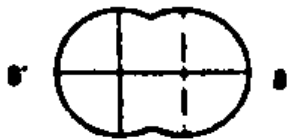
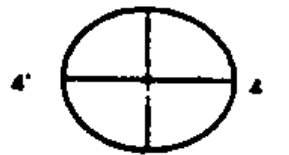
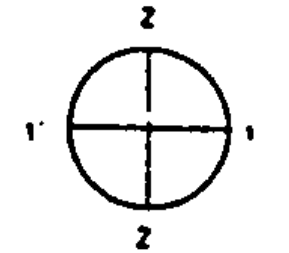
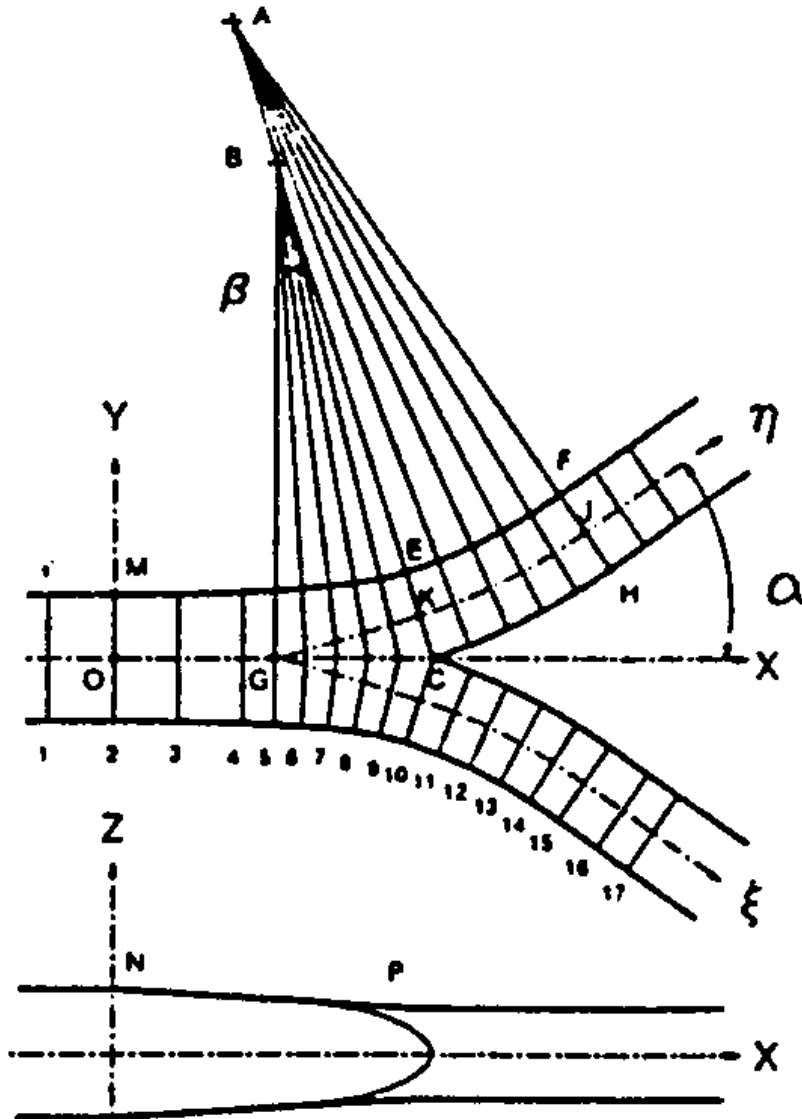


6. FIZIOLO[KA STRUJANJA U RESPIRATORNOM SISTEMU

Šematski prikaz respiratornog sistema

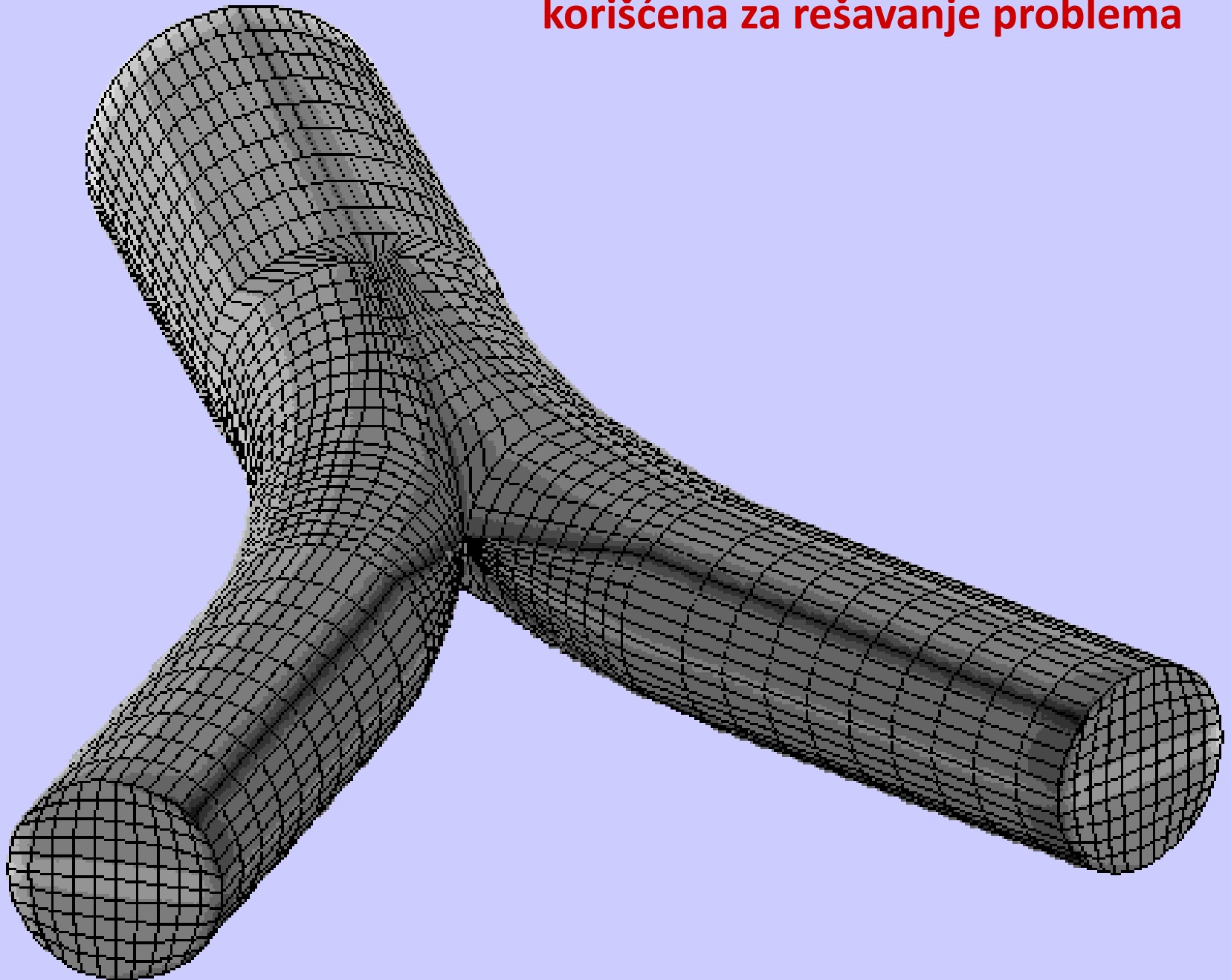


6.3.1 Inspirativno i ekspirativno strujanje u modelu bifurkacije respiratornog sistema

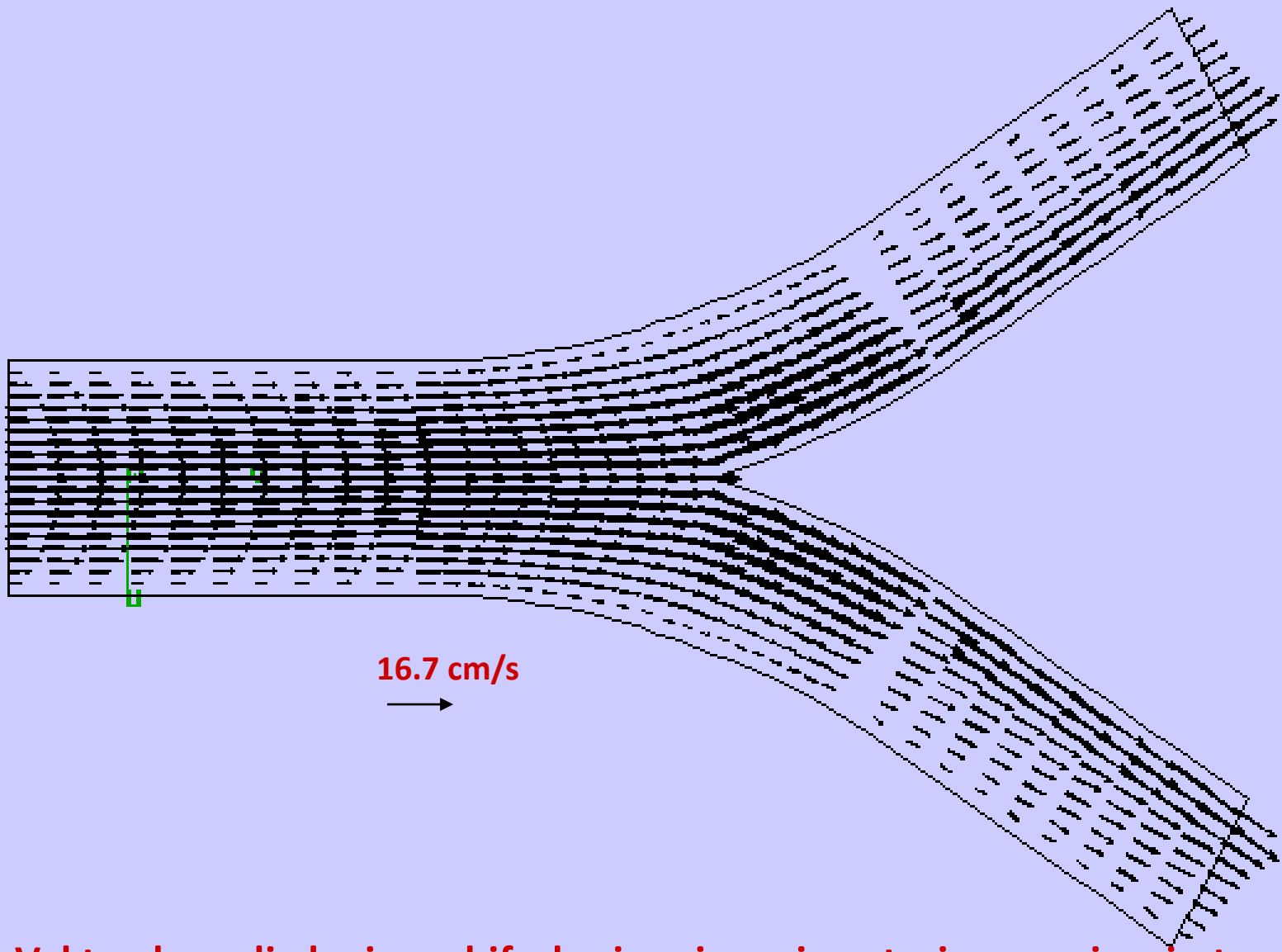


$D=3.81 \text{ cm}$
 $L=2.5D$
 $2d^2/D^2=1$
 $R=7d$
 $\alpha=35^\circ$
 $\beta=18^\circ$

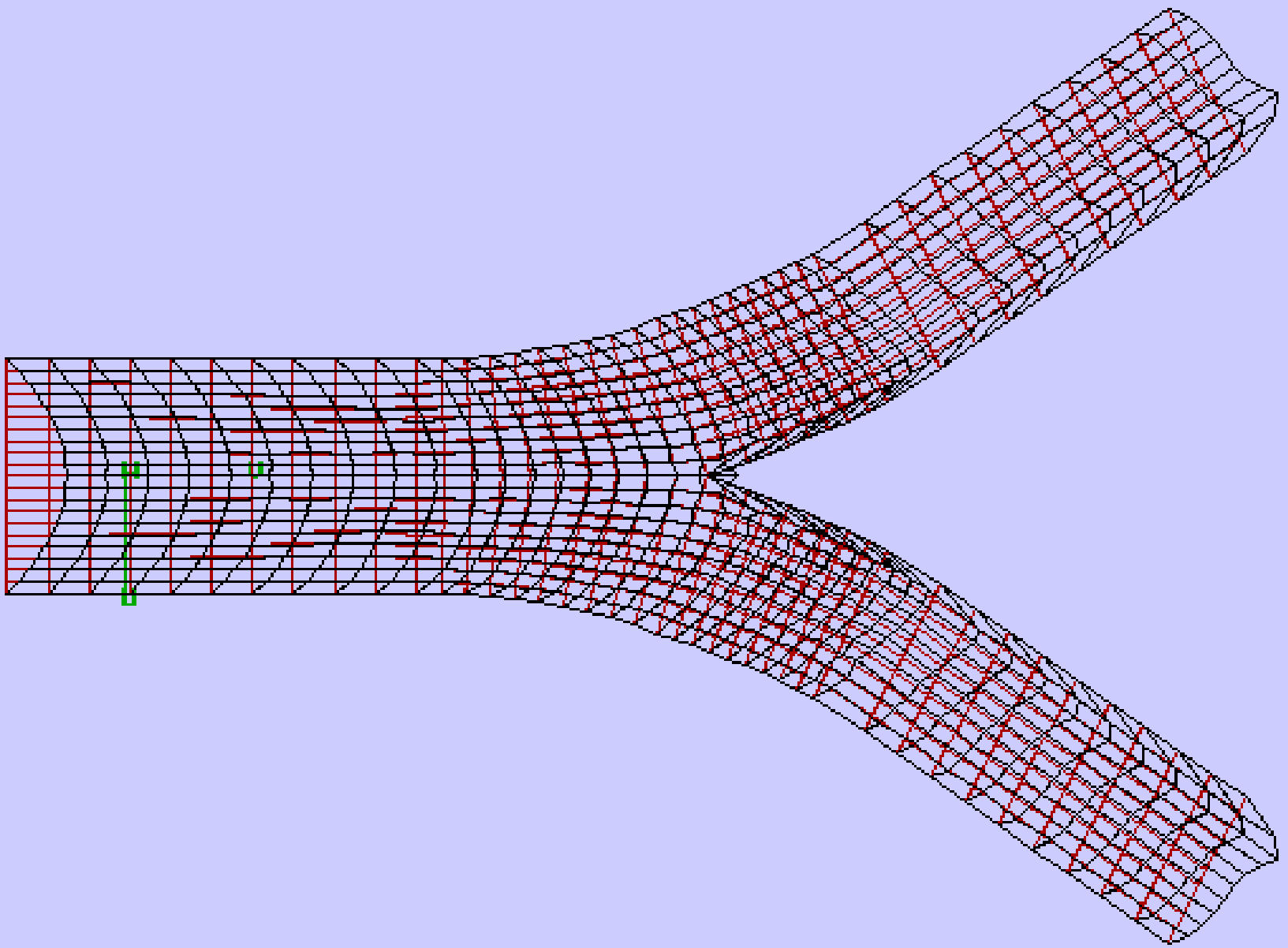
**Mreža konačnih elemenata
korišćena za rešavanje problema**



6.3.1a Inspirativno strujanje

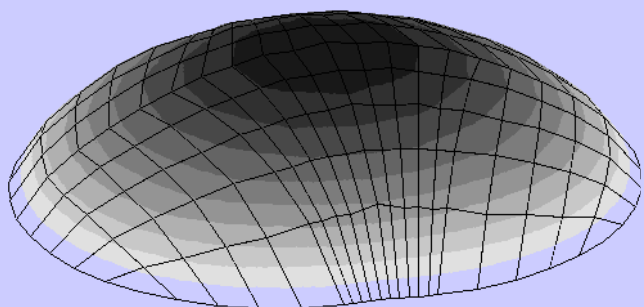


Vektorsko polje brzina u bifurkacionoj ravni za stacionarno inspiratorno strujanje skalirano u odnosu na maksimalnu brzinu od 16.7 cm/s

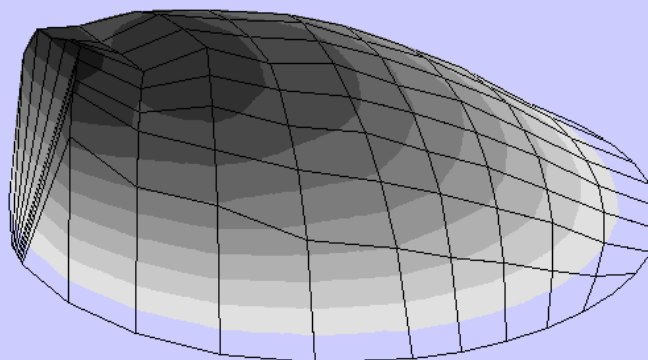


Profili aksijalne brzine u bifurkacionoj ravni za stacionarno inspiratorno strujanje

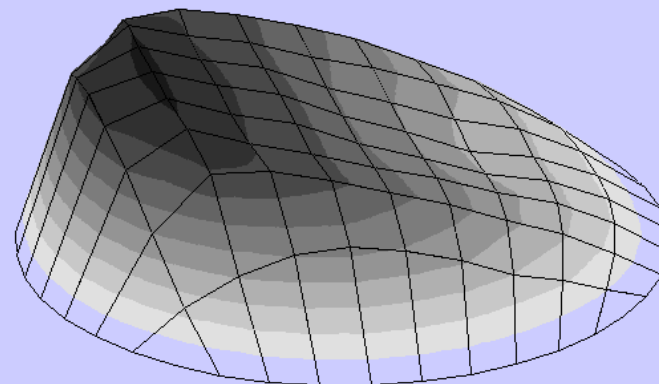
3-D prikaz aksijalne brzine u bifurkacionoj ravni za stacionarno inspiratorno strujanje



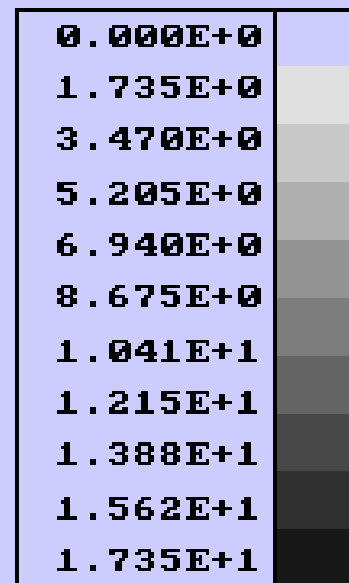
Presek 5



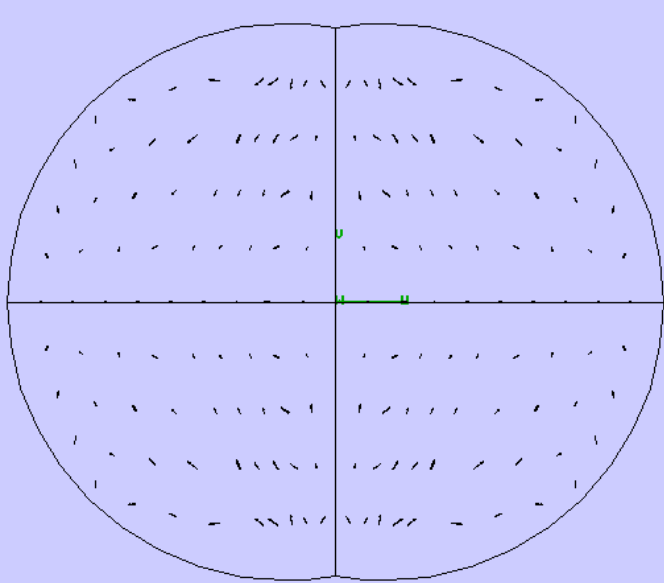
Presek 10



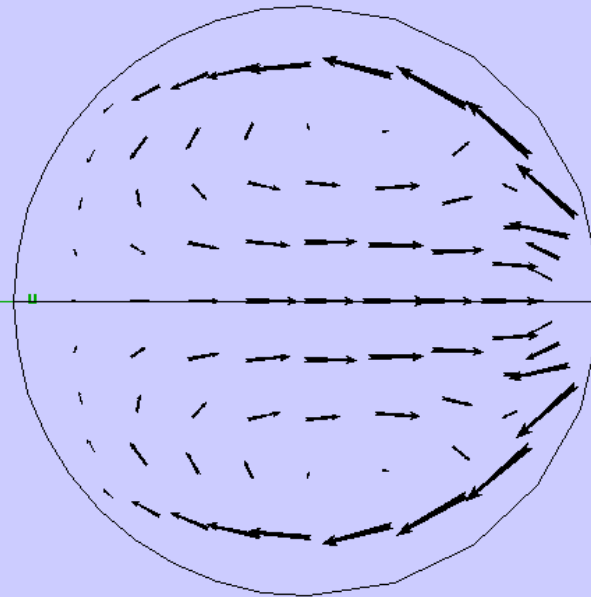
Presek 15



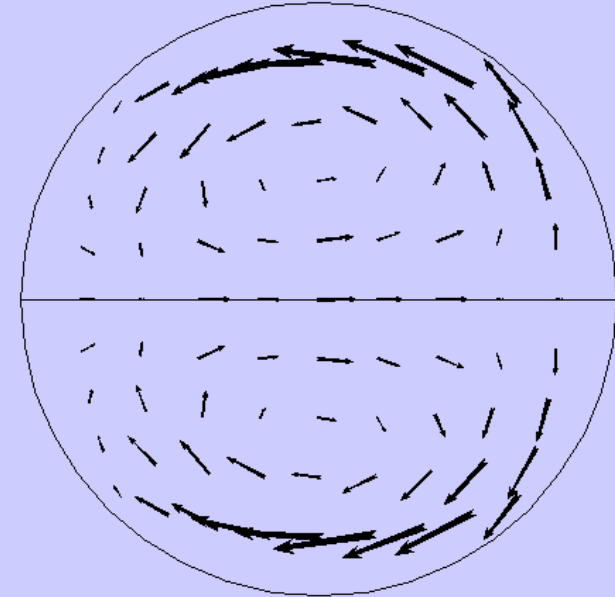
Vektorski prikaz polja radijalne brzine u bifurkacionoj ravni za stacionarno inspiratorno strujanje; skalirano u odnosu na maksimalnu brzinu 3.17 cm/s



Presek 5

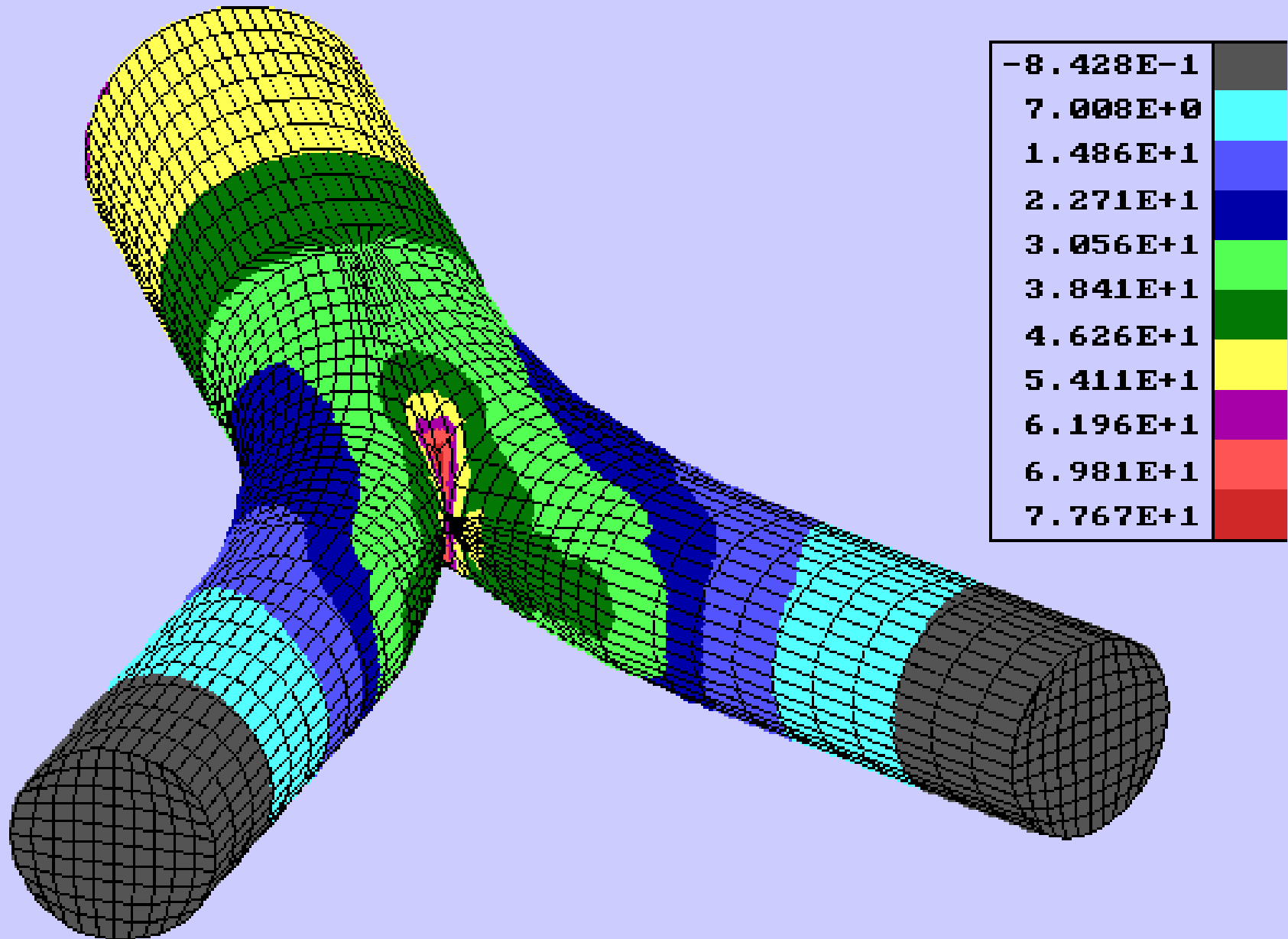


Presek 10

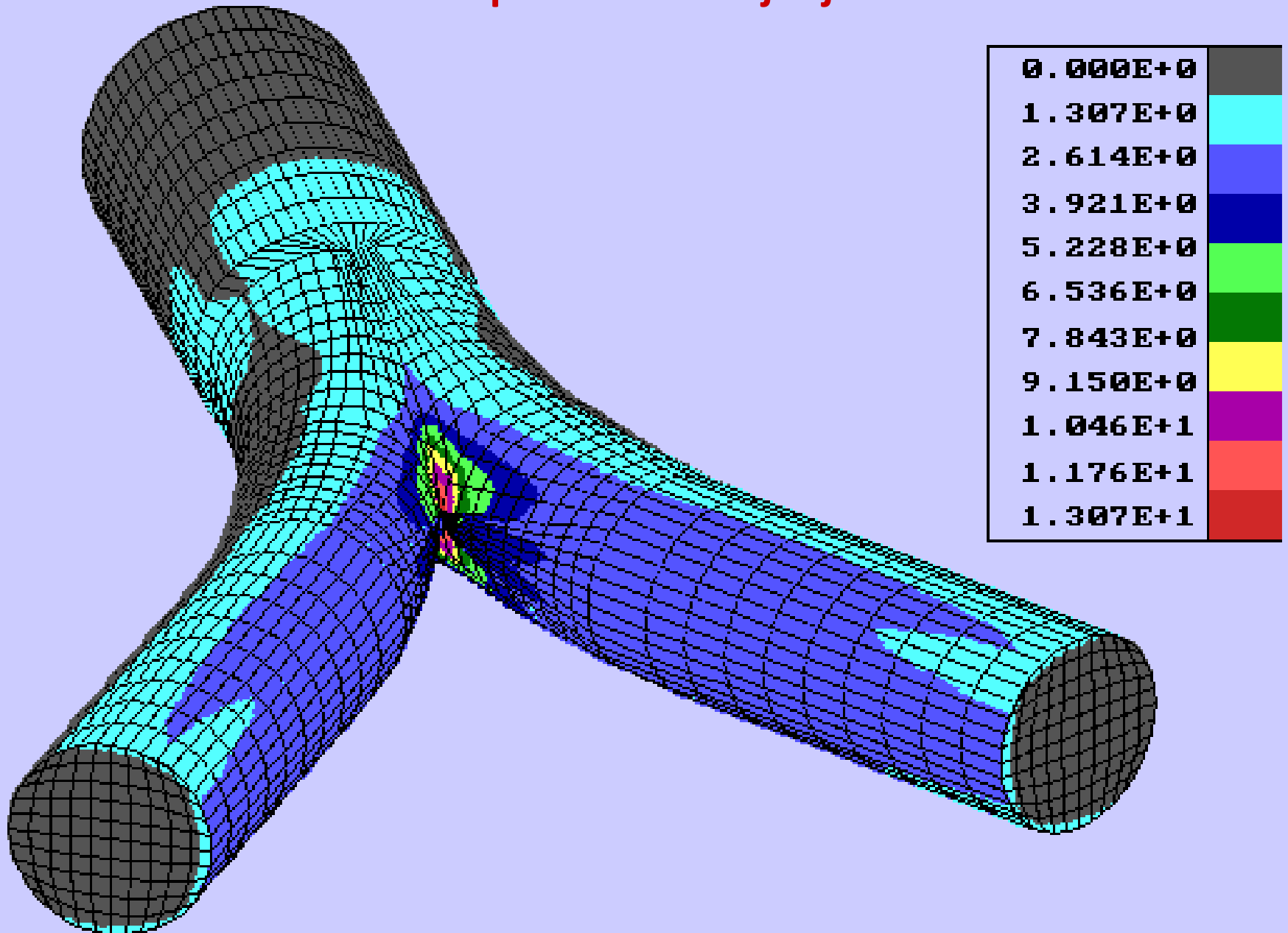


Presek 15

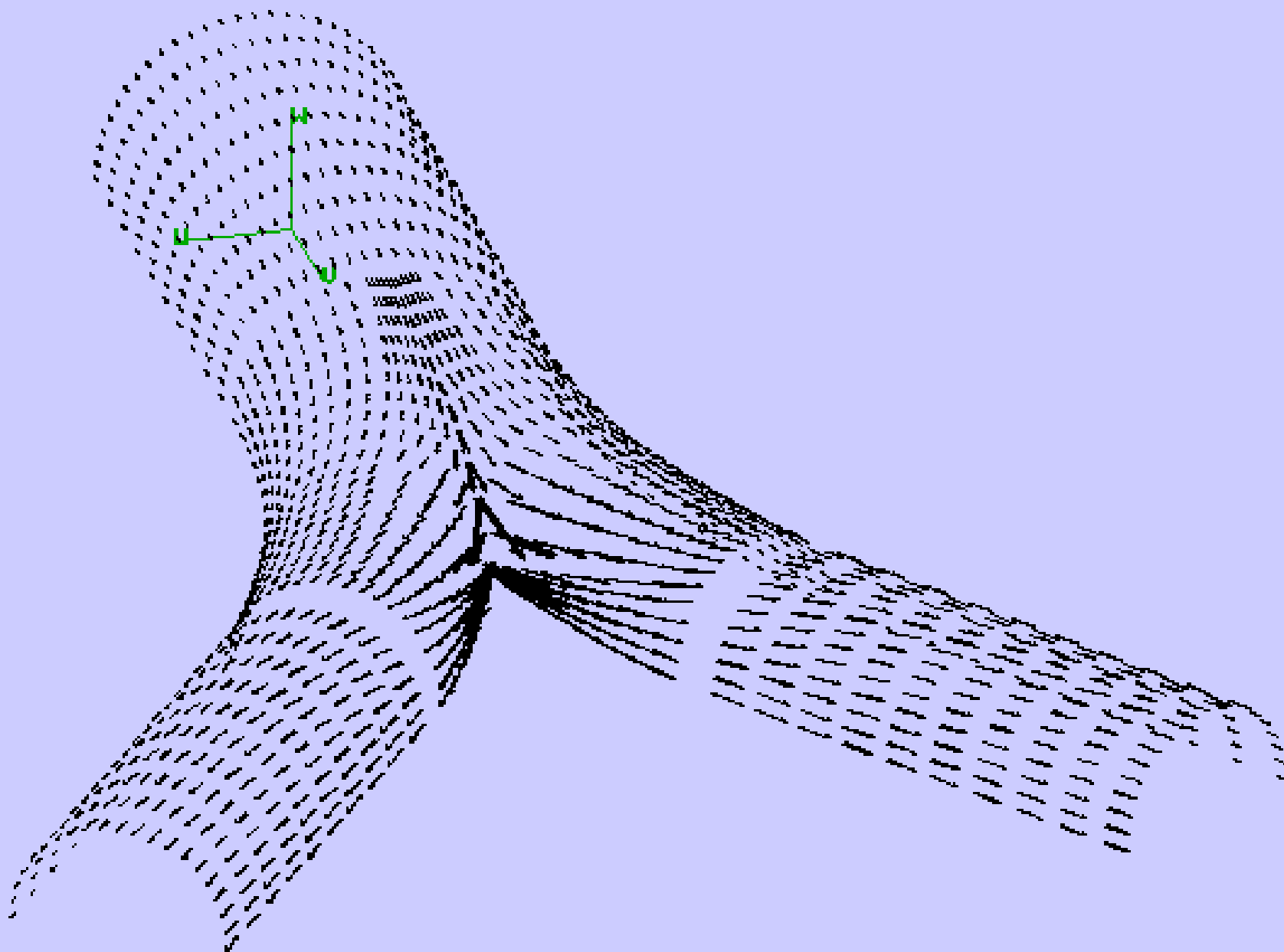
Polje pritisaka u 3-D modelu bifurkacije za stacionarno inspiratorno strujanje



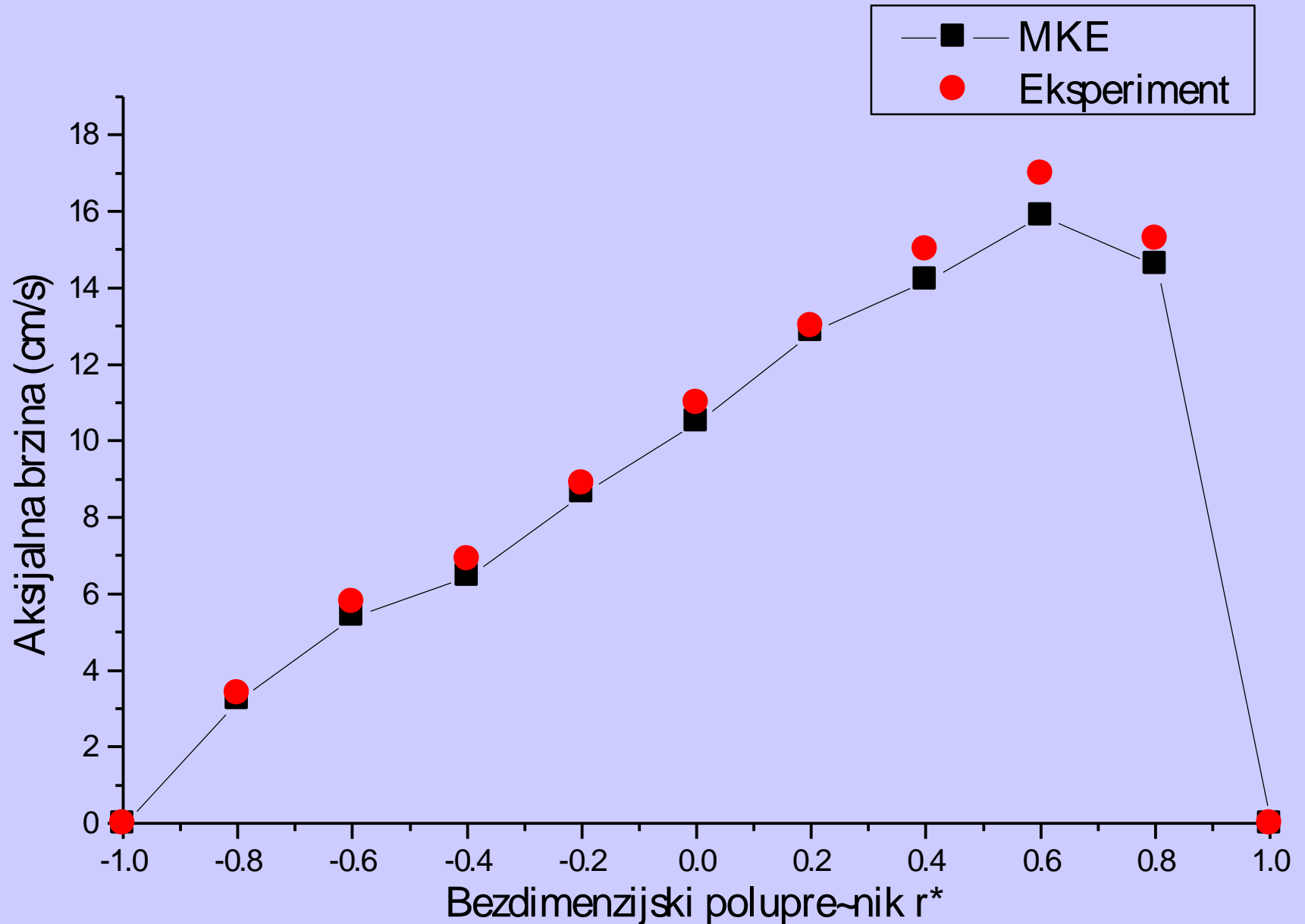
Polje smičućih napona u 3-D modelu bifurkacije za stacionarno inspiratorno strujanje



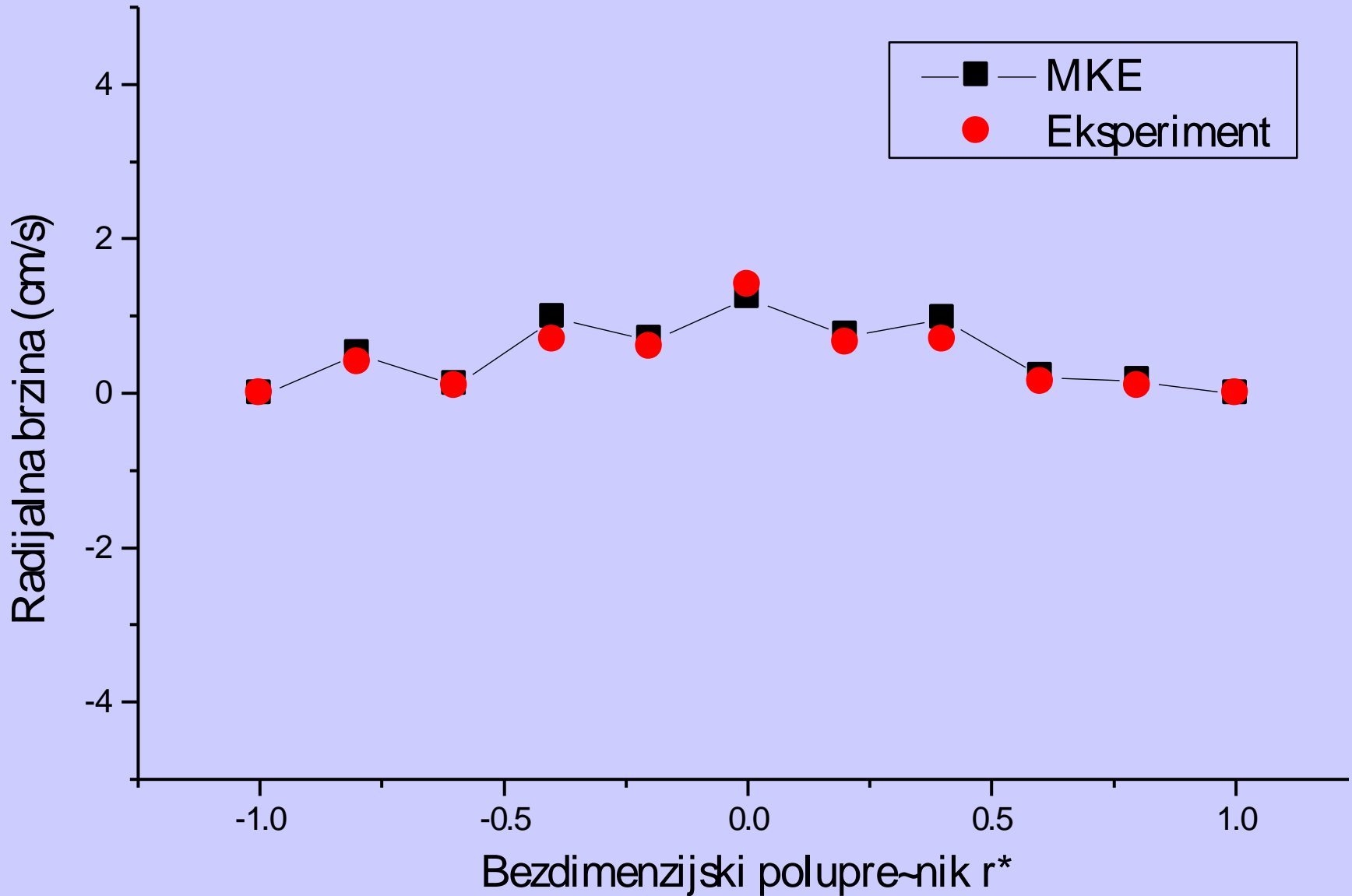
Vektorsko polje smičućih napona u 3-D modelu bifurkacije za stacionarno inspiratorno strujanje



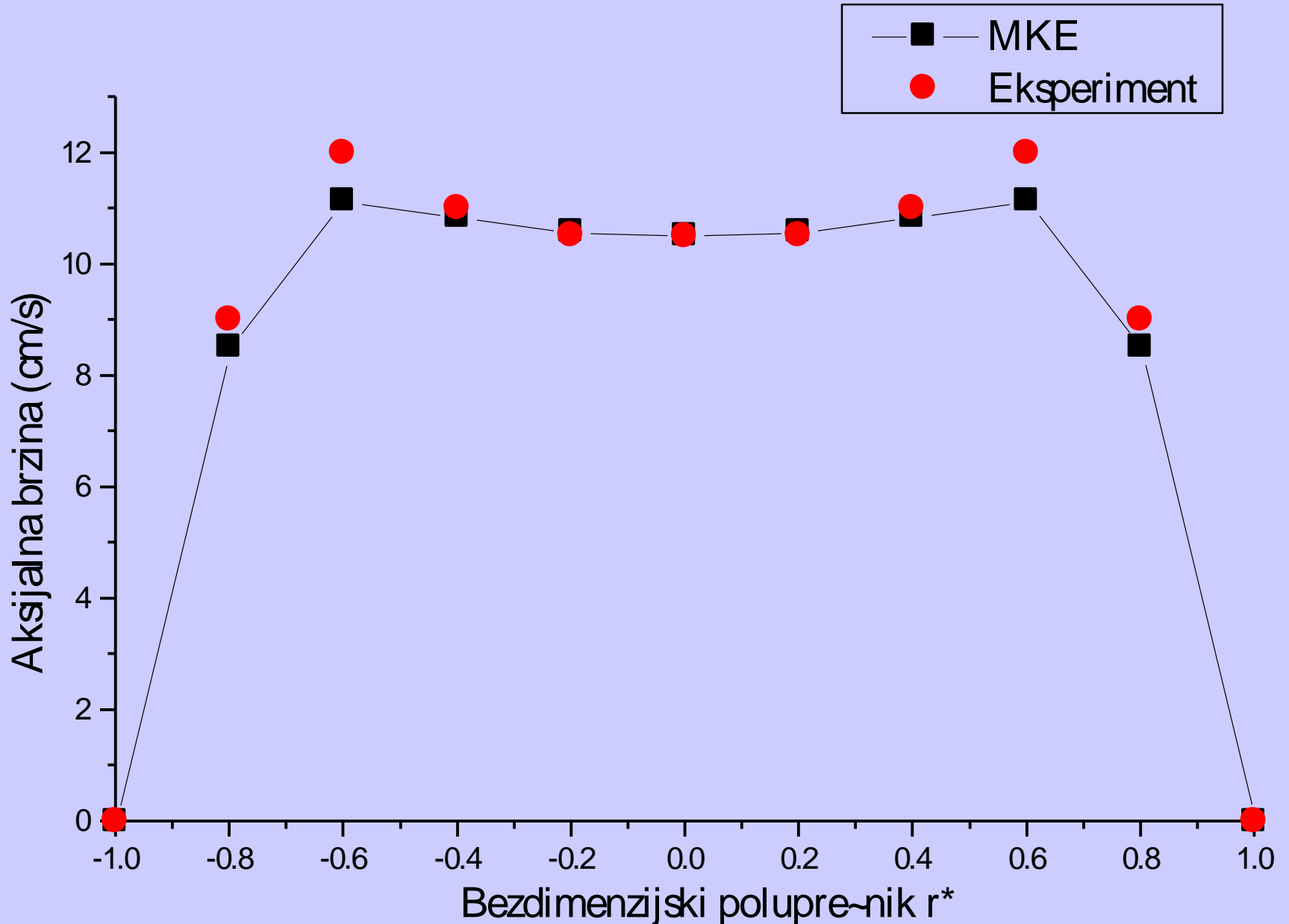
Numerički i eksperimentalni rezultati za aksijalnu brzinu u preseku 15 u bifurkacionoj ravni za stacionarno inspiratorno strujanje



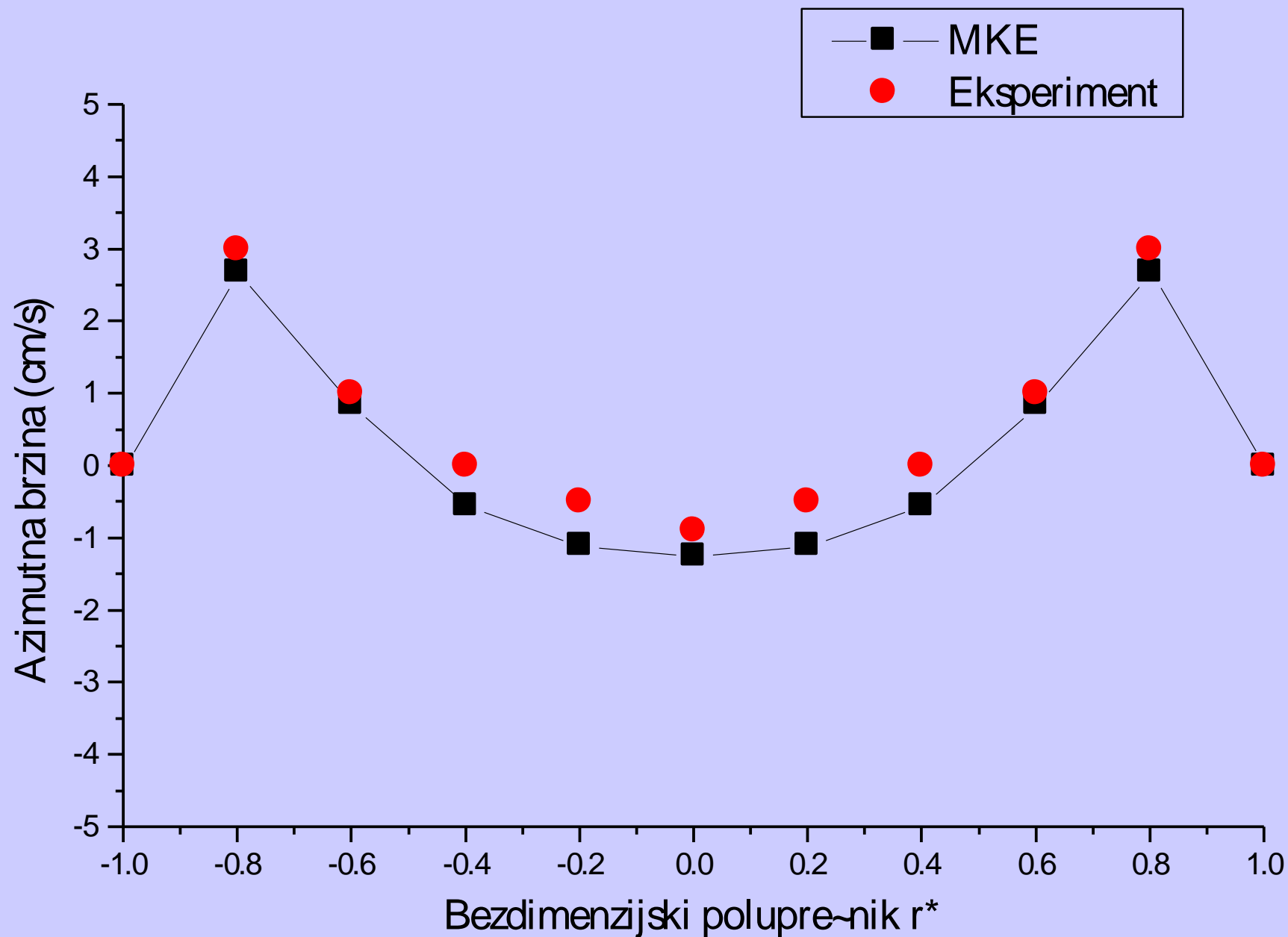
Numerički i eksperimentalni rezultati za radijalnu brzinu u preseku 15 u bifurkacionoj ravni za stacionarno inspiratorno strujanje



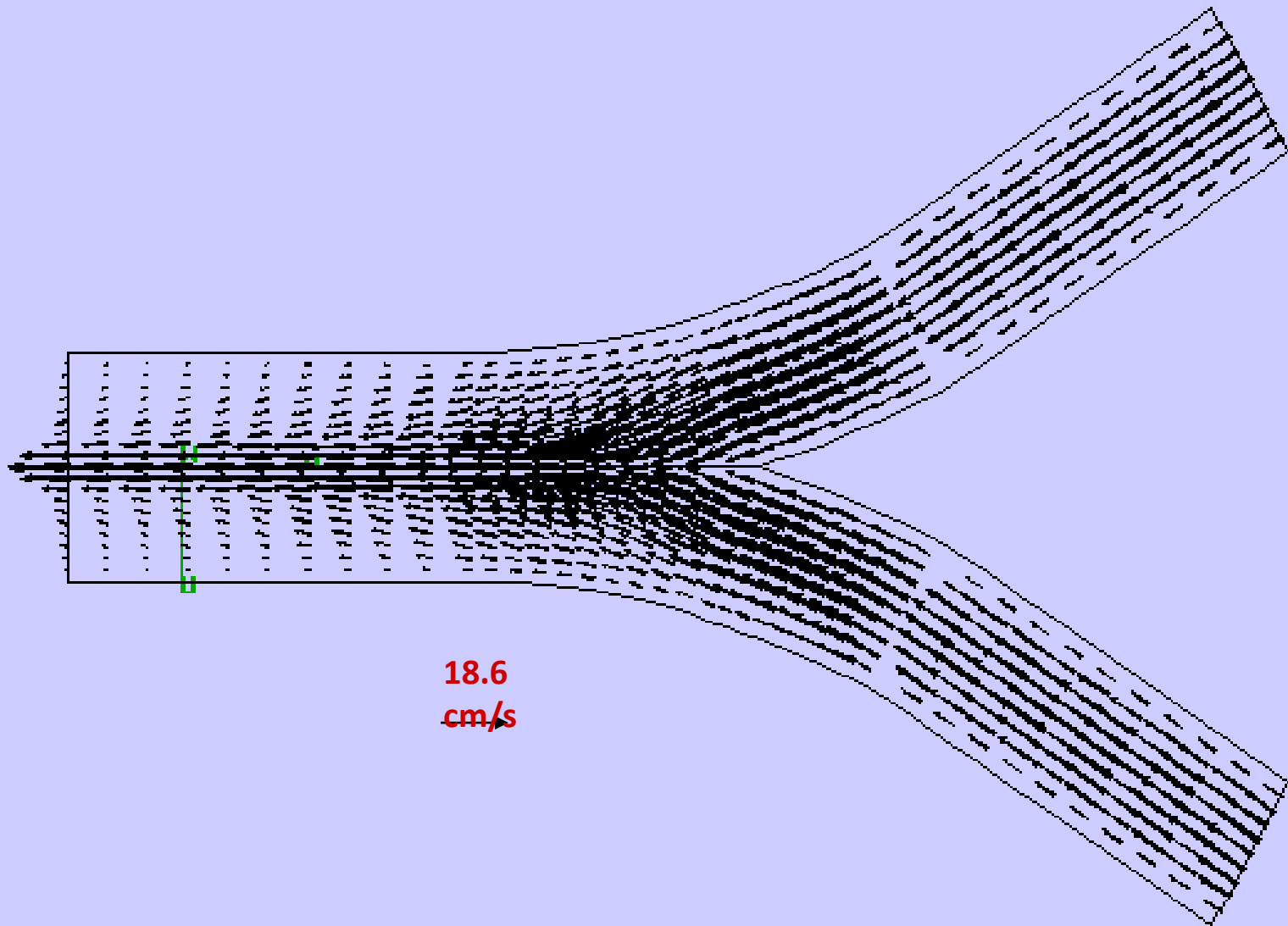
Numerički i eksperimentalni rezultati za radijalnu brzinu u preseku 15 u vertikalnoj ravni za stacionarno inspiratorno strujanje



Numeričkih i eksperimentalni rezultati za azimutnu brzinu u preseku 15 u vertikalnoj ravni za stacionarno inspiratorno strujanje

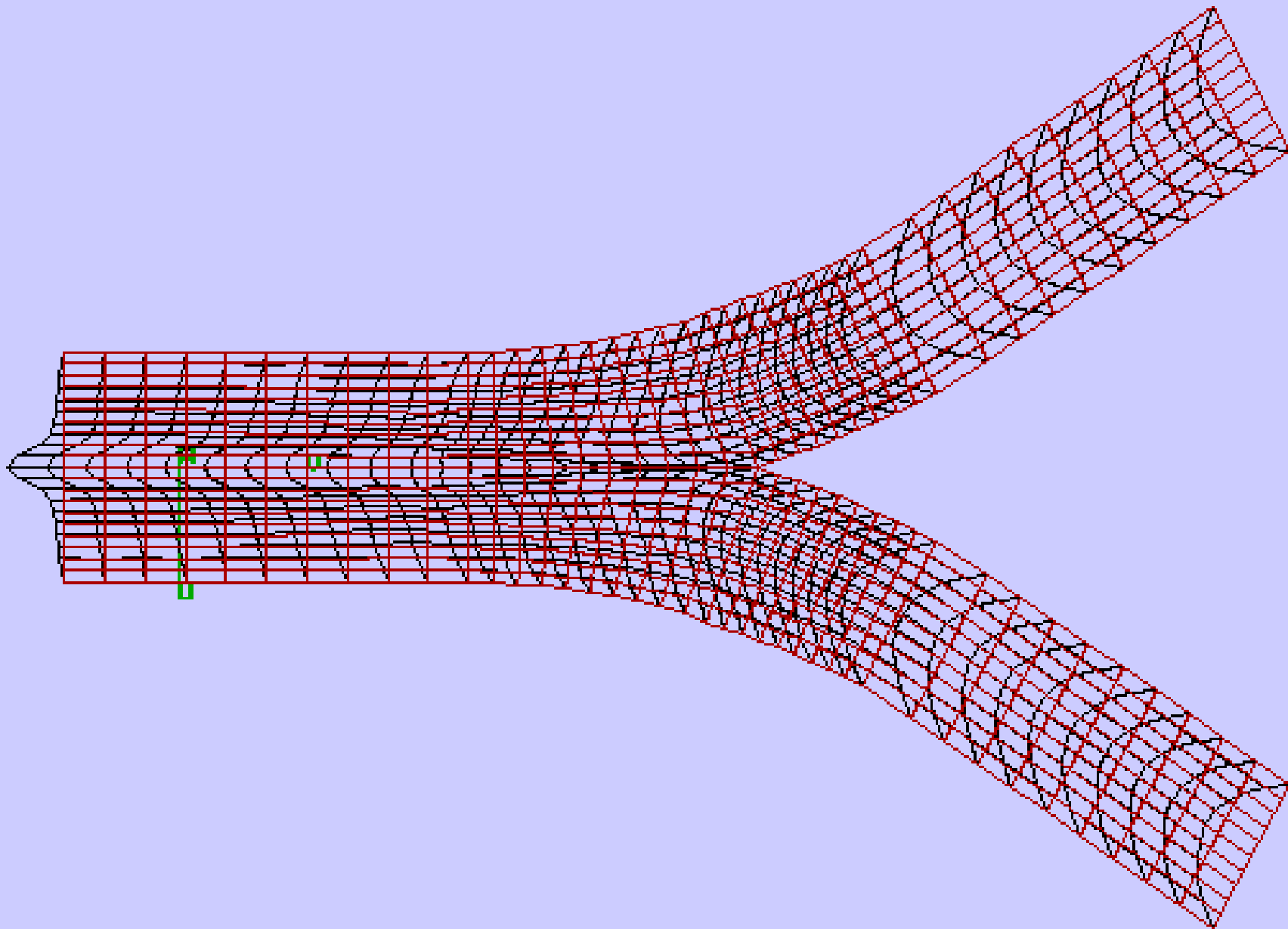


6.3.1.b Ekspiratorno strujanje

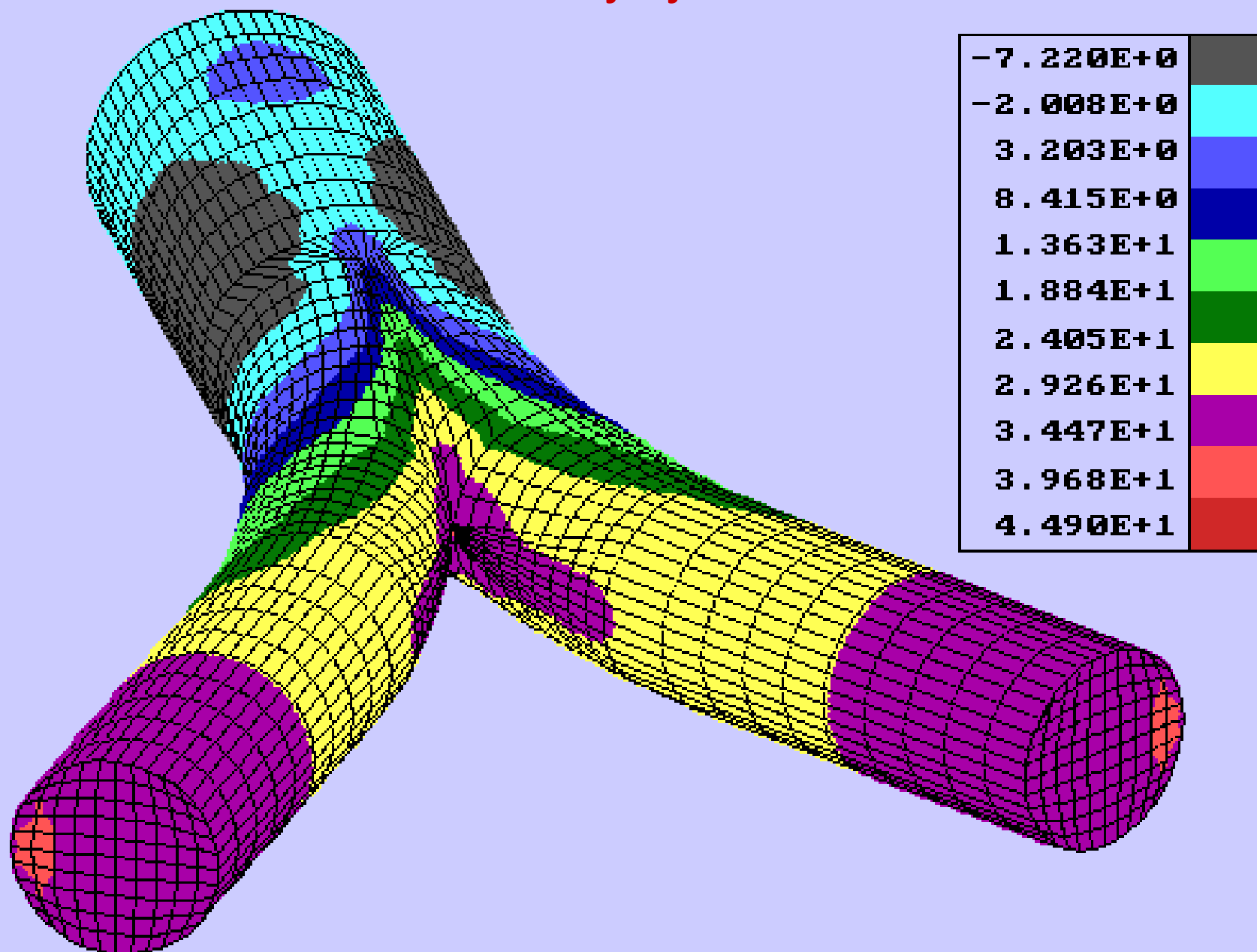


Vektorsko polje brzine u bifurkacionoj ravni za stacionarno ekspiratorno strujanje

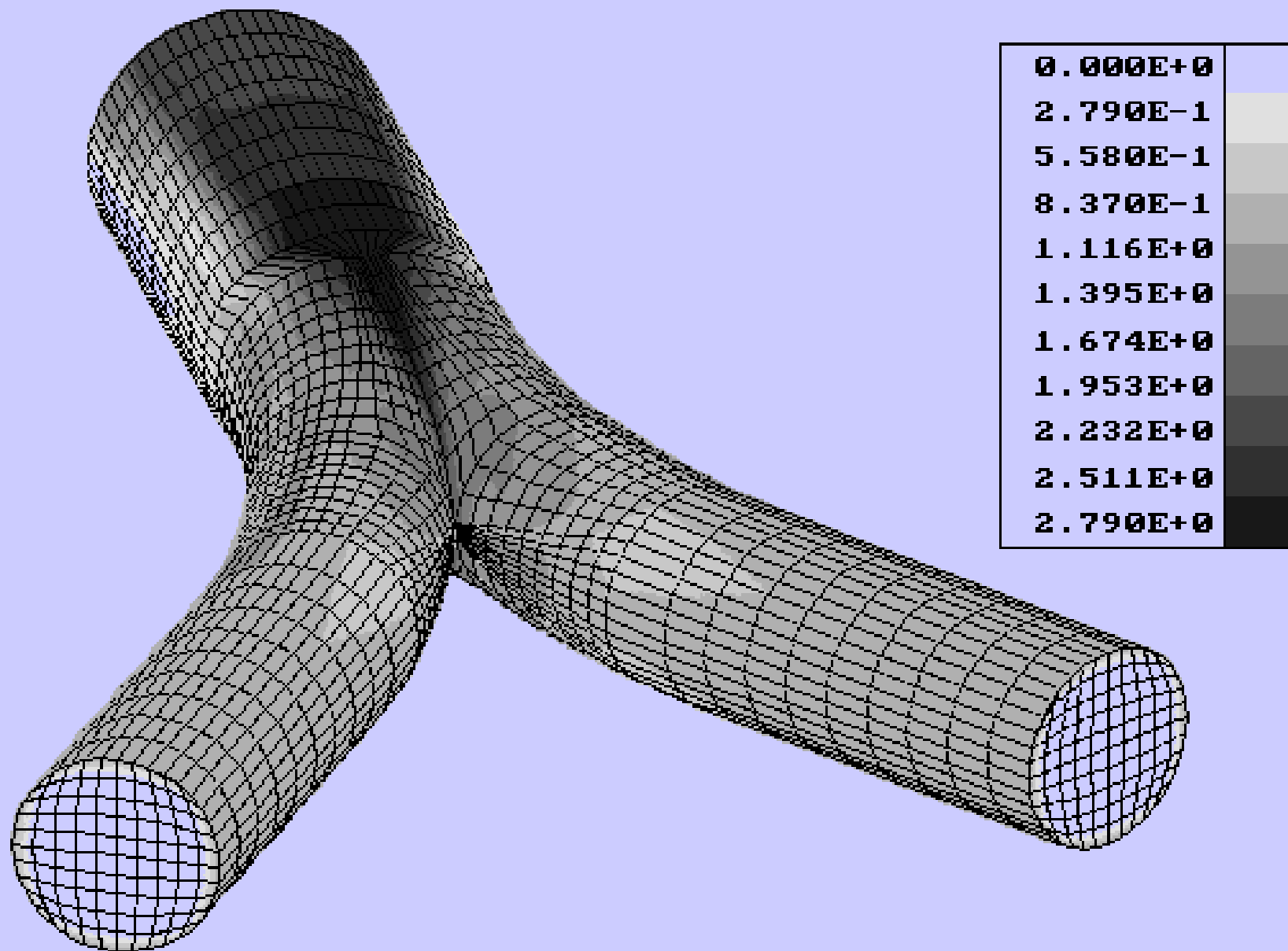
Profili polja brzine u bifurkacionoj ravni za stacionarno ekspiratorno strujanje



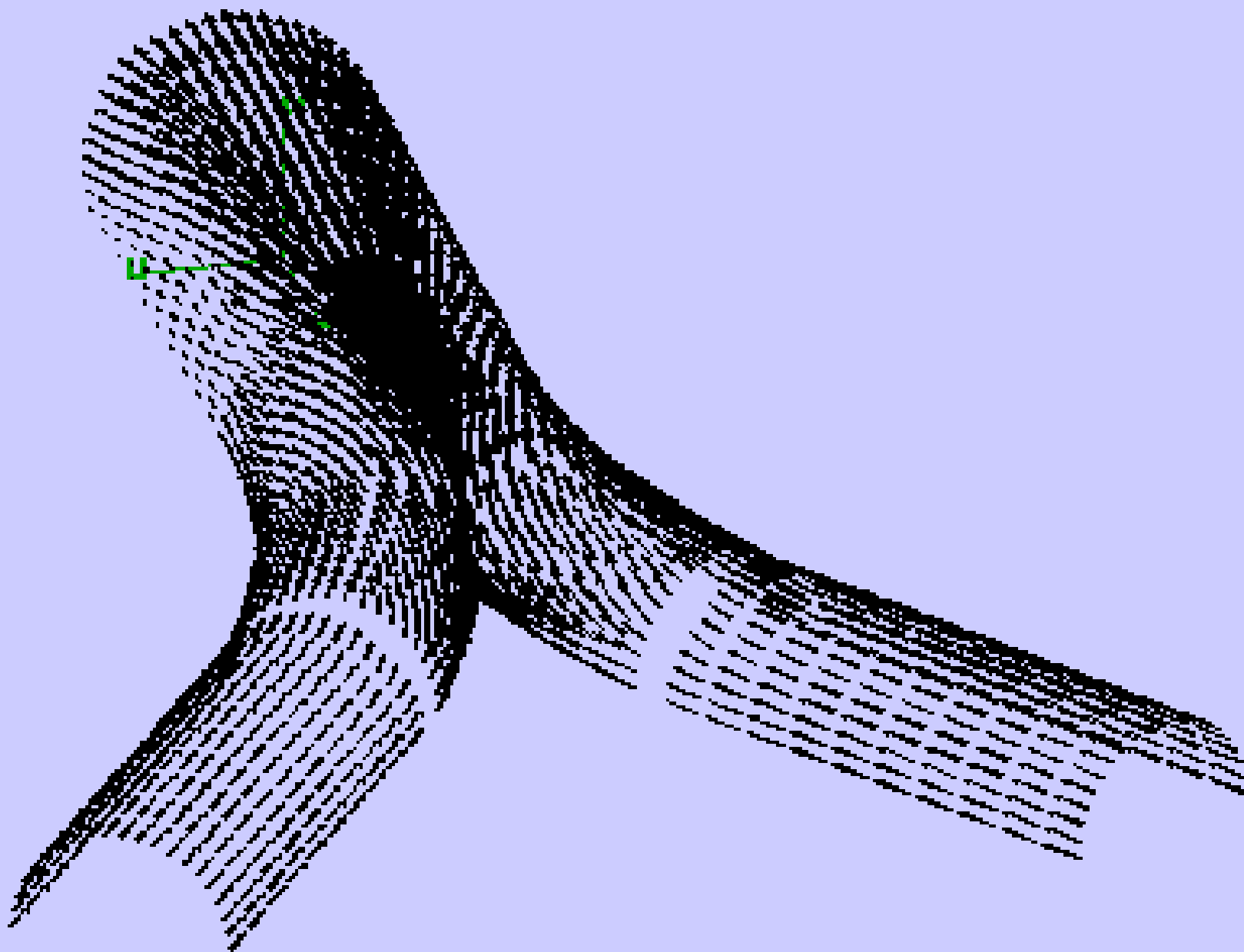
Polje pritiska u 3-D modelu bifurkacije za stacionarno ekspiratorno strujanje



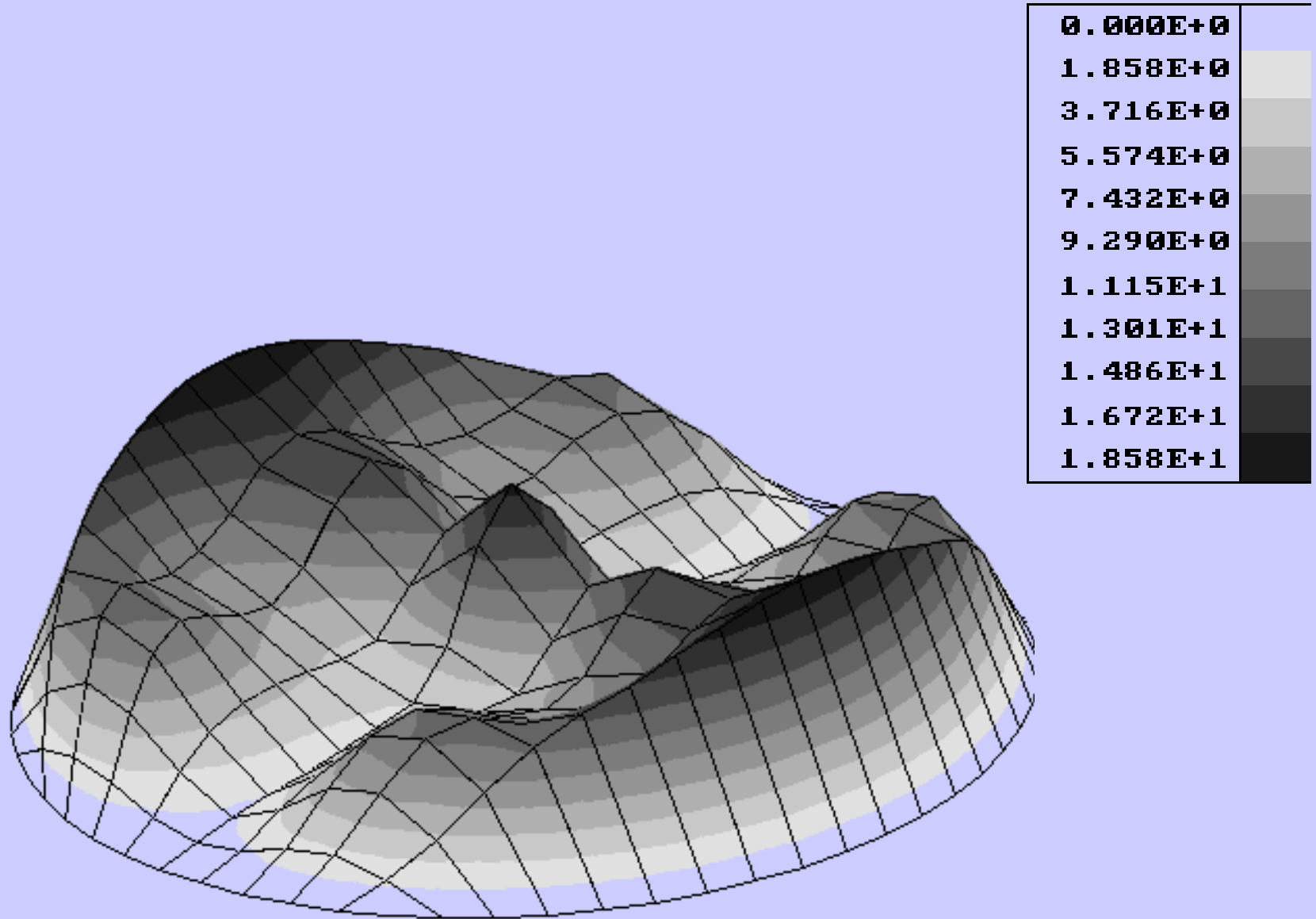
Polje smičućih napona na 3-D modelu bifurkacije za stacionarno ekspiratorno strujanje



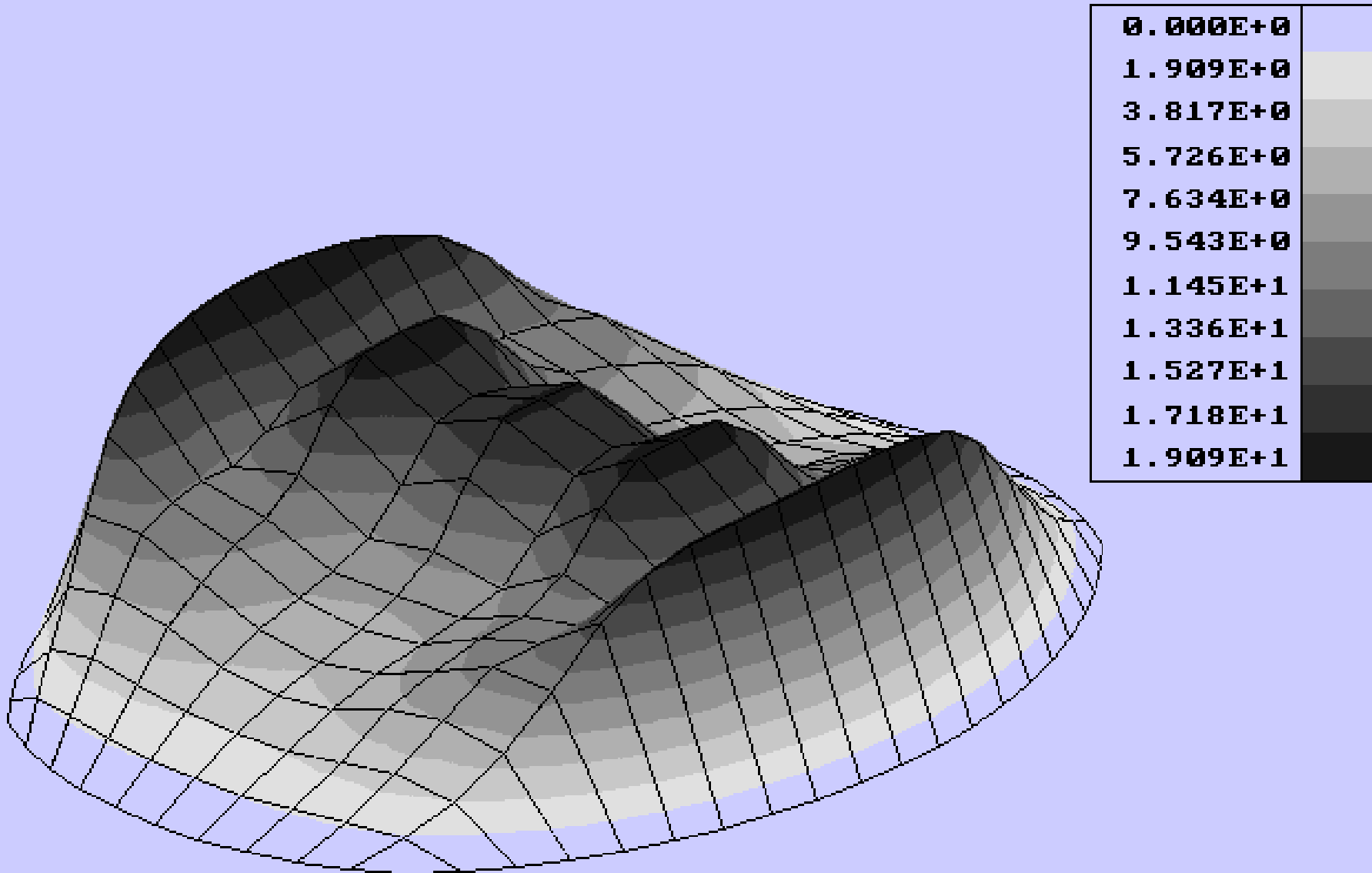
Vektorsko polje smičućih napona na 3-D modelu bifurkacije za stacionarno ekspiratorno strujanje



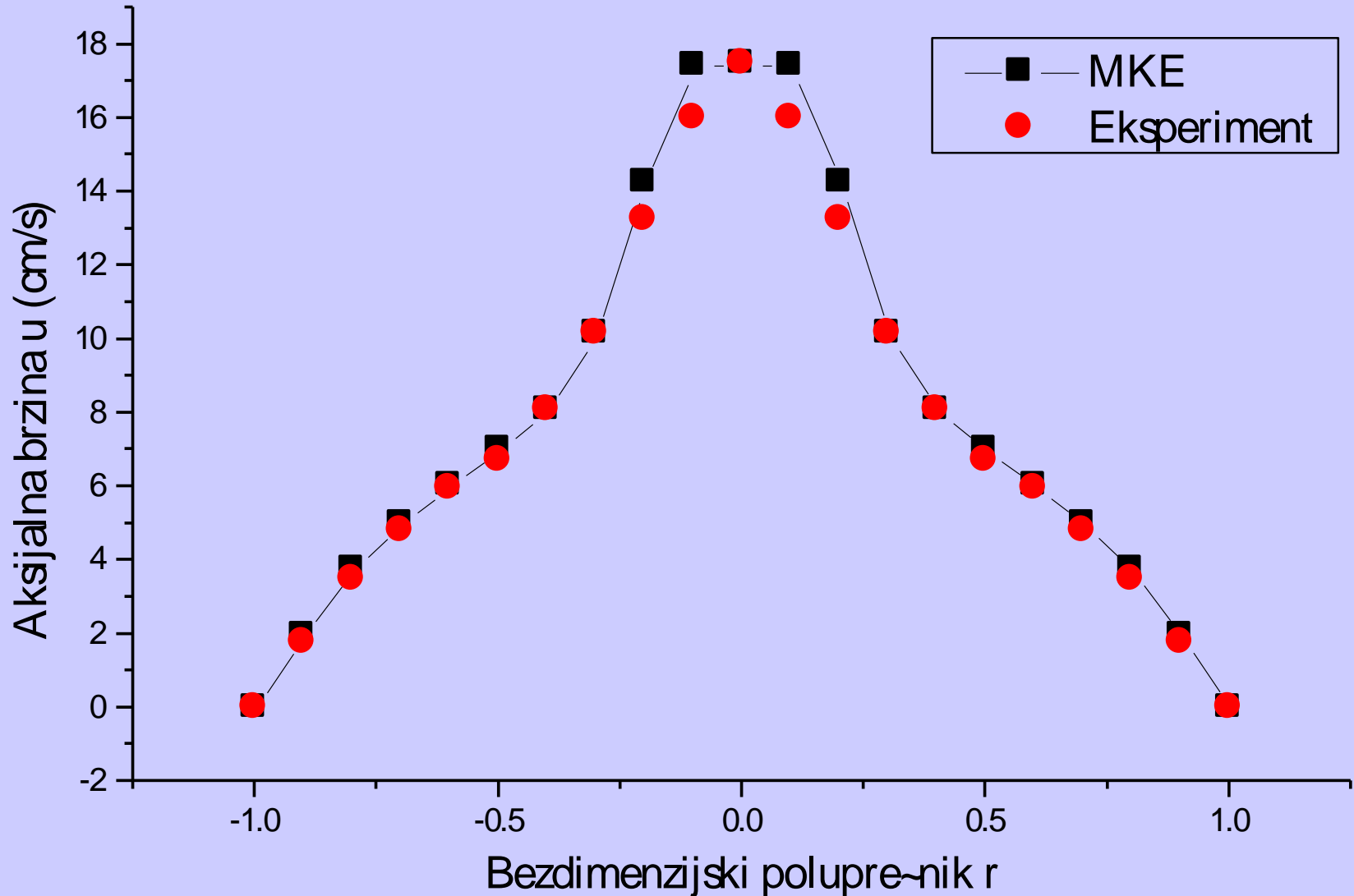
3-D prikaz aksijalne brzine za stacionarno ekspiratorno strujanje u preseku 1



3-D prikaz aksijalne brzine za stacionarno ekspiratorno strujanje u preseku 5



Numerički i eksperimentalni rezultati za aksijalnu brzinu u bifurkacionoj ravni u preseku 5, za stacionarno ekspiratorno strujanje



Numerički i eksperimentalni rezultati za radialnu brzinu u bifurkacionoj ravni u preseku 5, za stacionarno ekspiratorno strujanje

